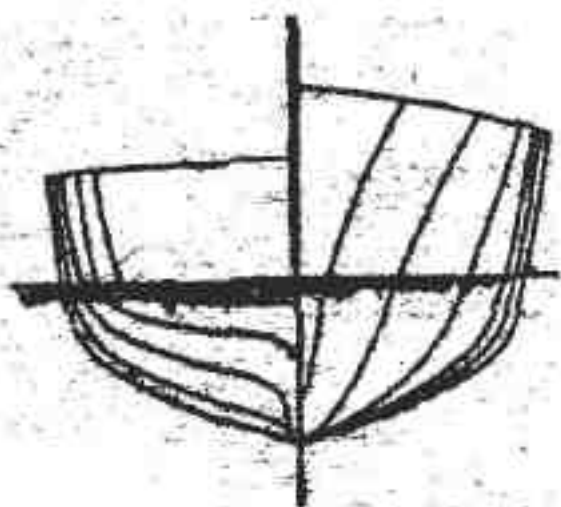


Мытник Н.А.

Проектирование
ТЕОРЕТИЧЕСКОГО ЧЕРТЕЖА
КОРПУСА СУДНА



КОМСОМОЛЬСК-НА-АМУРЕ
1992 г.

УДК 629

Магнин Н.И. Планирование, теоретического чертежа корабля
судна: Учеб. пособие. - Комсомольск-на-Амуре: Комсомольский на-
муре политехн. ин-т, 1992. - 86 с
ISBN 5-230-21409-0

Рассматриваются вопросы проектирования теоретического чер-
тежа корабля судна, касающиеся классификации и анализа форм об-
разов корабля судна, выбора форм оконечностей и подготовитель-
ных работ.

Приведен особенности проектирования теоретического черте-
жа корабля с различными обводами.
Ил 39, табл. 6, схемы 1-12 на эл

Рецензенты: кафедра теории и проектирования корабля Дальневосточ-
ного политехнического института, зав. каф. Восковщук Н.И., доц.

© Комсомольский-на-Амуре
политехнический институт, 1992

ВВЕДЕНИЕ

Настоящее учебное пособие является развитием и дополнением методического материала для курсового и дипломного проектирования надводных судов по разра^{тке} геометрического чертежа (ТЧ).

От формы корпуса судна зависят многие его мореходные и эксплуатационные качества: ходкость, остойчивость, мореходность, управляемость, вместимость, прочность, которые, в конечном счете, оказывают определенное влияние на эксплуатационную экономичность судна. Кроме того, форма корпуса в некоторых случаях может значительно влиять и на строительную стоимость судна.

Теоретический чертеж является основой для выполнения многих корабельных расчетов. По нему определяются элементы ТЧ судна, проверяется остойчивость и посадка, производятся расчеты ходкости, непотопляемости и вместимости. Выбор формы корпуса и неразрывно связанное с ним проектирование ТЧ являются очень сложным процессом, требующим от проектанта большого опыта. Данное учебное пособие содержит обобщенный материал по проектированию теоретического чертежа судна и способно облегчить выбор формы корпуса, а также процедуру определения основных параметров, необходимых для построения ТЧ.

Как известно, непосредственными исходными данными для построения ТЧ корпуса судна являются:

- 1) водоизмещение весовое (D) или объемное (V);
- 2) главные размерения: длина между перпендикулярами (L), ширина по грузовой ватерлинии (ГВЛ) (B), осадка (T) и высота борта (H) на миделе;
- 3) коэффициенты формы корпуса (δ , φ , λ , β) и абсцисса центра величины (X_C).

Построению теоретического чертежа корпуса судна должен предшествовать определенный объем проектных работ, проводимых в соответствии с заданной проектной концепцией судна (основными технико-эксплуатационными идеями, заложенными в проект).

Наиболее важным результатом таких работ является проработка чертежа общего расположения на основе выработанного

архитектурно-конструктивного типа (АКТ) судна, отраженного полностью или частично в его проектной концепции, и полученных главных размерений и элементов судна. Описание АКТ судна должно содержать следующую информацию по его надводной и подводной частях, необходимую для проектирования теоретического чертежа корпуса:

- расположение и габариты надстроек;
- форму палуб корпуса в плане;
- тип, расположение и количество двигателей;
- форму корпуса, включающую формы его мидель-шпангоута и оконечностей.

Таким образом, форма корпуса судна во многом будет определяться его подводной частью, содержащей судовые помещения, двигатели и рулевые устройства судна.

В соответствии с общей методикой проектирования судна настоящее пособие разбито на две части. В первой части (разделы 1, 2) рассмотрены вопросы выбора формы корпуса винтовых судов – обводов, оконечностей и штевней. Вторая часть (разделы 3, 4) посвящена собственно проектированию теоретического чертежа корпуса судна. В ней рассмотрены вопросы проектирования ТЧ корпусов судов, имеющих как традиционные заструненные обводы, так и новые типы обводов, достаточно часто используемых на морских судах в последнее время, таких как цилиндрические в носу и заструнно-усеченные или санеобразные в корме:

Несредственно проектирование ТЧ принято разбивать на два этапа: проведение подготовительных работ для построения ТЧ и построение самого теоретического чертежа.

Первому этапу следует уделять очень серьезное внимание, так как от качества его проведения зависит трудоемкость построения ТЧ. Подготовительные работы в зависимости от конкретной формы корпуса могут быть весьма трудоемки и занимать основную долю времени проектирования теоретического чертежа.

При построении теоретического чертежа допускается применение самых различных методов в зависимости от особенностей формы корпуса, наличия вспомогательных материалов и опыта проектанта. В курсовом проекте для усвоения в полной мере

специфики проектирования ТЧ в качестве метода его построения рекомендуется использовать метод художественного рисования, который и приводится в качестве примера в настоящем учебном пособии. В дипломном проекте допускается использование любых существующих методов построения ТЧ, если они применимы для каждого конкретного случая. Для контроля полученных на начальной стадии проектирования судна параметров формы корпуса (перед построением его ТЧ) в приложении к пособию изложены общие вопросы выбора коэффициентов полноты и величины центра тяжести корпуса судна с учетом обводностей его обводов.

В качестве основного учебного материала по проектированию теоретического чертежа корпуса судна рекомендуются источники /1, 2/, и вспомогательного - /3 - 7, 9, II. I2/.

I. ПРИНЦИПИАЛЬНЫЕ ФОРМЫ ОБВОДОВ КОРПУСА СУДНА

Принципиальная форма обводов подводной части корпуса в процессе проектирования судна определяется, главным образом, функциональным назначением судна, но обязательно при условии выполнения заданных мореходных качеств. В соответствии с гидромеханикой минимум волнового и вихревого сопротивления корпуса при движении его в воде достигается при трех видах обтекания в оконечностях: обтекании по ватерлиниям, по батоксам и комбинированном (рис. I.1). При этом для кормовых обводов возможно допущение срыва части потока, обтекающего кормовую оконечность, что несколько изменяет ее форму.

Форма подводной части корпуса формируется из трех частей: носовой, центральной и кормовой. Так как наибольшую сложность представляет выбор формы обводов в оконечностях, в табл. I.1 и I.2 представлено описание основных форм носовых и кормовых обводов корпусов для водонизмещающих морских и речных судов, различаемых по внешнему виду и характеру обтекания.

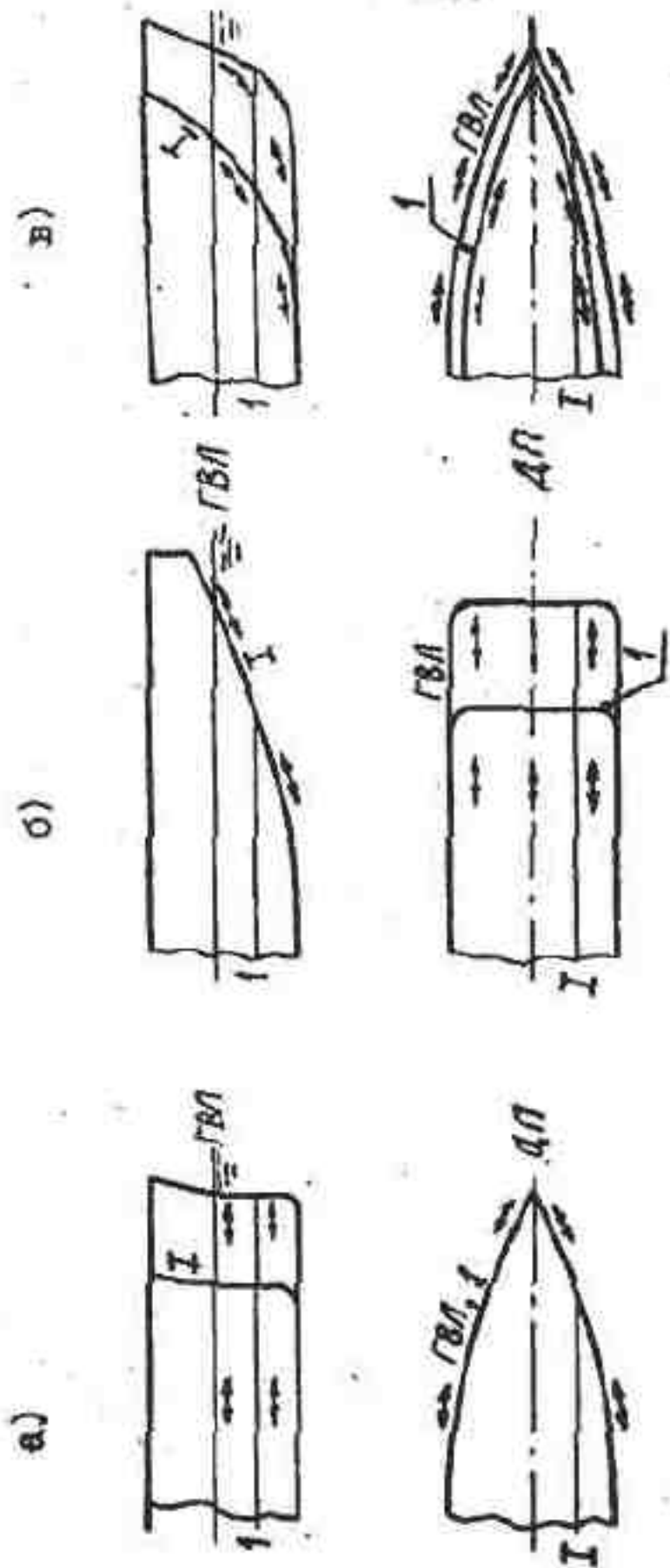


Рис. I.1. Виды обтекания мицкостью оконечностей корпуса судна:
в - по ветеринии; б - по батоксам; в - комбинированный

Таблица I. I

Форма носовых обводов

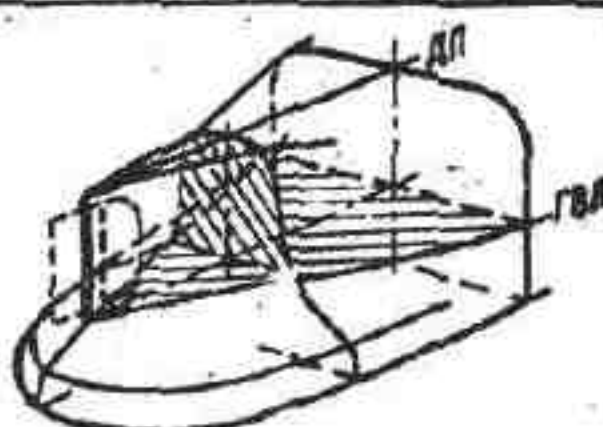
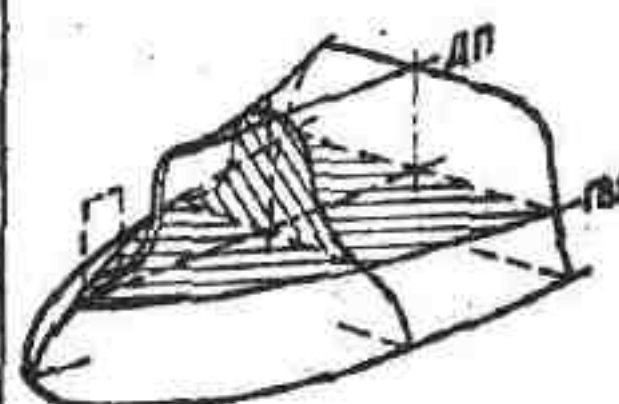
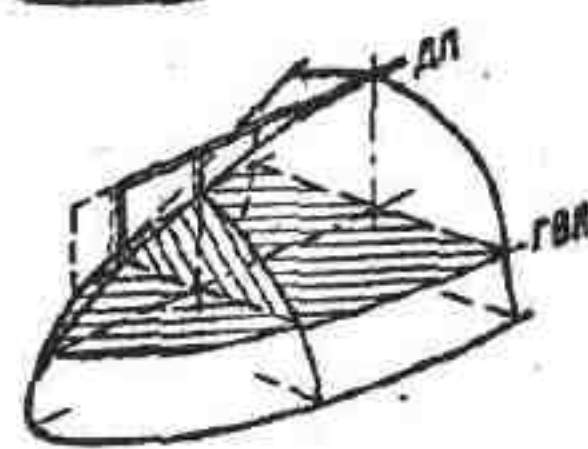
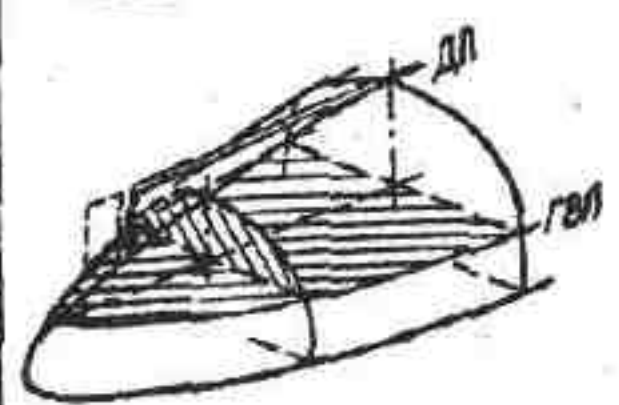
Группа и подгруппа форм обводов	Характер обтекания	Схема обводов	
		I	2
I. Заостренная			
I.1. С U - образными шлангоутами	По ватерлиниям		
I.2. С V - V - образными шлангоутами	Комбинированный		
I.3. С V - образными шлангоутами	Комбинированный		
2. Цилиндрическая			
2.1. Круговая	По ватерлиниям		

Продолжение таблицы I.1

I	2	3
2.2. Параболичес- кая (в зависи- мости от фор- мы образующей цилиндричес- кой поверх- ности)	По ватер- линиям	
3. Ложкообразная	Комбина- рованный	
4. Санеобразная 4.1. С плоским скосом	По баток- сам	
4.2. С килеватым скосом ("килеватые санки")	Комбина- рованный	
5. Заостренно- ложкообразная	Комбина- рованный	

Таблица I.2

Форма кормовых обводов

Группа и подгруппа форм обводов	Характер обтекания	Схема обводов
I .	2	3
I. Заостренная		
I.I. С U - образными шпангоутами	По ватер-линиям	
I.2. С U - V - образными шпангоутами	Комбиниро-ванный	
I.3. С V - образными шпангоутами	Комбиниро-ванный	
I.4. С овальными шпангоутами (ложкообразная)	Комбиниро-ванный	

Продолжение таблицы I 2

I	2	3
2. Задернено-усечная 2.1. с U - V - образными шлангоутами	Комбинированный с частичным срывом потока	
2.2. с V - образными шлангоутами	Комбинированный с частичным срывом потока	
2.3. С овальными шлангоутами (ложкообразная)	Комбинированный с частичным срывом потока (главным образом по батоксам)	
3. Сапеобразная 3.1. С плоским или слегка килеватым окосом	По батоксам без срыва или с частичным срывом потока	
4. Тоннельная	По батоксам с частичным срывом потока	

При формировании подводной части корпуса возможна любая комбинация приведенных обводов конечностей, однако в любом случае могут получиться три рациональные формы ватерлиний (рис. I.2): заостренная с обеих сторон (возможно цилиндрическая в носу); усеченная с кормы или клинообразная (заостренная в носу и усеченная или закругленная в корме) и усеченная или закругленная с обеих сторон.

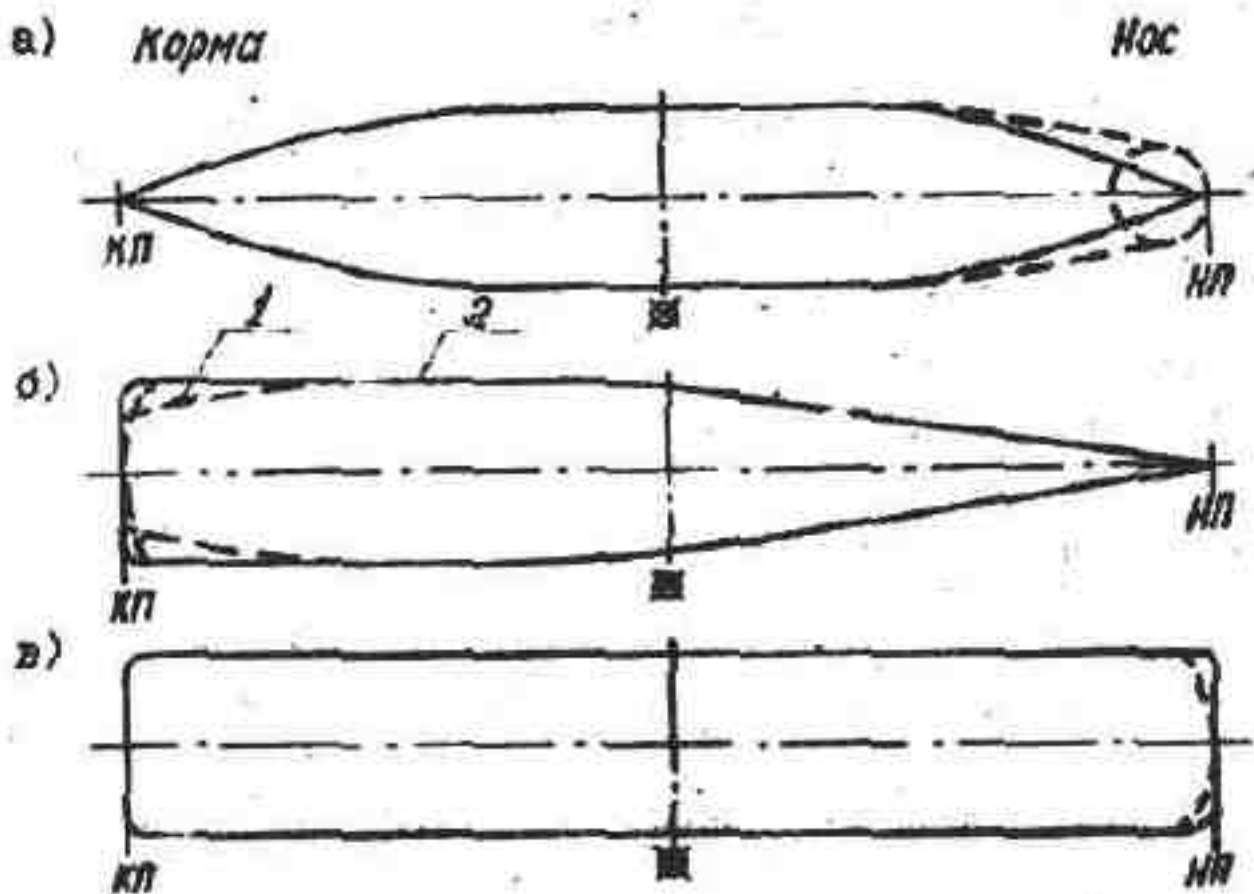


Рис. I.2. Рациональные формы ватерлиний: а - заостренная с обеих сторон; б - усеченная с кормы (1) или клинообразная (2); в - усеченная с обеих сторон

Например, в целом по корпусу комбинация заостренных носовых и кормовых обводов (или заостренно-усеченных кормовых обводов) дает обычные обводы, характерные для большинства судов; комбинация заостренных носовых и санеобразных кормовых обводов дает обводы корпуса типа "двойной клин", а комбинация санеобразных носовых и кормовых обводов дает обводы санного типа и т.д.

2. ВЫБОР ФОРМЫ ОКОНЕЧНОСТЕЙ И ШТЕВЕЙ

Форма оконечностей корпуса судна определяется формой его подводной части, то есть обводов, и надводной части. Так как последняя во многом зависит от первой при рассмотрении вопроса выбора формы оконечностей корпуса судна можно ограничиться выбором формы обводов корпуса в оконечностях. Однако при этом необходимо помнить, что форма надводной части оконечности корпуса может оказывать влияние и на его обводы в этом районе в силу каких-то функциональных или эстетических требований.

Ввиду того, что основным элементом надводной части корпуса в оконечностях являются штевни, в разделе также рассмотрен вопрос классификации и выбора различных типов "штевней".

Выбор формы оконечностей корпуса в случае отсутствия информации по ней в задании или проектно-концепции является достаточно серьезной проблемой ввиду сложности влияния формы корпуса на мореходные и эксплуатационные свойства судна. Качественный выбор формы оконечностей корпуса при проектировании судна достигается оптимизацией проекта по глобальному критерию с использованием данных обширных испытаний моделей в опытных бассейнах и систематизации статистической информации по опыту постройки и эксплуатации судов.

Поэтому выбор формы обводов оконечностей корпуса в настоящем пособии сведен к описанию самых ярких обобщений влияния формы оконечностей корпуса на различные свойства судна, а также выделены области применения различных форм носовых и кормовых обводов (см. табл. I.1, I.2) по типам судов. Это поможет проектантам ориентироваться в выборе формы обводов оконечностей для проектируемого судна.

Заостренные обводы в оконечностях являются традиционными для судовых корпусов; они в целом позволяют обеспечить высокую ходкость и мореходность судну, повысить его устойчивость на курсе, обеспечить общую продольную прочность судна при меньшей материалоемкости. На перечисленные свойства судна особенное влияние оказывают носовые обводы и, в частности, форма носовых

шпангоутов. Так, **U** - или **U - V** - образные шпангоуты обеспечивают корпусу высокую ходкость и устойчивость на курсе, низкие изгибные нагрузки на корпус; **V** - образные шпангоуты повышают поворотливость судна и ледопроходимость, уменьшают амплитуды килевой и вертикальной качки и тем самым заливаемость и забрызгиваемость судна, а также скеминг (удары воли о носовую часть днища).

Форма шпангоутов заостренных кормовых обводов оказывает влияние на пропульсивные свойства корпусов и через них на ходкость судна. Наилучшие пропульсивные свойства одновальным судам обеспечивают **U - V** - образные кормовые шпангоуты, а двухвальным - **V** - образные и овальные шпангоуты.

Цилиндрические и ложкообразные носовые обводы повышают вместимость судна и технологичность изготовления носовой части корпуса. Наибольшее повышение этих свойств судна обеспечивают санеобразные носовые обводы, однако низкая мореходность и устойчивость на курсе сдерживает широкое применение таких обводов на морских судах. Ложкообразные носовые обводы в последнее время успешно используются для активного ледового плавания, обеспечивая более высокую ледопроходимость судам по сравнению с традиционными ледокольными обводами.

Заостренно-усеченные кормовые обводы повышают вместимость судна и технологичность изготовления кормовой части корпуса. Использование при этом овальных кормовых шпангоутов или санеобразных обводов с килеватым скосом позволяет в сочетании с заостренными носовыми обводами добиться наивысшей ходкости,

что предопределяет их использование на многих военных кораблях и быстроходных гражданских судах. Кроме того, санеобразные кормовые обводы с плоским или килеватым скосом делают форму корпуса в корме предельно простой, а значит и очень технологичной, а также повышают вместимость судна.

Тоннельные кормовые обводы повышают пропульсивные свойства судна, так как позволяют эффективно увеличить диаметр гребного винта. В условиях ограничения осадки такие кормовые обводы находят применение прежде всего на речных судах.

В таблицах 2.1 и 2.2 описаны области применения рассмотренных форм носовых и кормовых обводов с указанием факторов, определяющих применимость конкретной формы для судов различных типов по какому-либо параметру.

Таблица 2.1

Области применения форм носовых обводов корпуса

Формы носовых обводов	Область применения *	
	I	2
I. Заостренная		
I.1. С U - образными шпангоутами		Морские среднескоростные и быстроходные суда и корабли различного назначения с $Fr > 0,25$ (ходкость); морские малотоннажные и среднетоннажные суда с $L / T < 15$ (слеминг); морские крупнотоннажные и речные суда различного назначения (технологичность).
I.2. С U - V - образными шпангоутами		Среднескоростные и быстроходные суда и корабли различного назначения с $Fr > 0,25$ (ходкость, мореходность); морские малотоннажные и среднетоннажные суда с $L / T < 20$ (слеминг).
I.3. С V -образными шпангоутами		Морские тихоходные и среднескоростные суда малого и среднего тоннажа различного назначения с $Fr < 0,25$ (ходкость, мореходность); суда, длительное время эксплуатируемые в открытом море, например: рыбопромысловые, научно-исследовательские суда, буксиры-спасатели, суда обслуживания морских нефтепромыслов, суда погоды и т.п. (мореходность); ледокольные и суда ледового плавания (ледопроходимость); морские суда различного назначения с $L / T > 20$ (слеминг) и суда смешанного плавания "река-море" (ходкость, мореходность).

* В скобках указаны факторы, определяющие применимость форм обводов.

Продолжение таблицы 2.1

I	2
2. Цилиндрическая	Среднетоннажные и крупнотоннажные ($D_w > 50$ тыс.т.) тихоходные суда различного назначения с коэффициентом общей полноты $\delta > 0,75$, с $F_r < 0,20$ и $L / B < 6,0$ (ходкость, технологичность); морские среднетоннажные суда различного назначения с $L / T \leq 15$ (слеминг).
3. Ложкообразная	Речные и морские баржи различного назначения с $B / T > 3,0$ (ходкость, мореходность); ледоколы и суда активного ледового плавания (ледопроходимость); суда с большой площадью верхней или грузовой палубы в носу при невысоком надводном борте.
4. Санеобразная	Речные баржи различного назначения (ходкость, технологичность).
4.1. С плоским скосом	Речные и морские баржи различного назначения с $B / T > 3,0$ (ходкость, мореходность, технологичность).
4.2. С кильватерным скосом	Морские суда различного назначения с $F_r < 0,25$ и $B / T > 3,0$ (ходкость, мореходность).
5. Заостренно-ложкообразная	

Таблица 2.2

Области применения форм кормовых обводов корпуса

Форма кормовых обводов	Область применения *	
	I	2
I. Заостренная		
I.1. С V - образными шпангоутами	Одновальные тихоходные и крупнотоннажные суда с $D > 100$ тыс.т (ходкость, технологичность).	
I.2. С U V - образными шпангоутами		Одновальные тихоходные и среднескоростные суда различных размеров и назначения с отношением диаметра гребного винта к осадке

* В скобках указаны факторы, определяющие применимость формы обводов

Продолжение таблицы 2.2

1	2
I.3. С V - об-разными шпангоутами	$D_f / T \leq 0,7$ (ходкость); суда ледового плавания (ледопроходимость). Морские двухвальные тихоходные и среднескоростные суда различных размеров и назначения и речные несамоходные и самоходные суда различного назначения (ходкость, технологичность); ледоколы и суда активного ледового плавания (ледопроходимость).
I.4. С овальными шпангоутами	Морские двухвальные тихоходные, среднескоростные и быстроходные суда и корабли различных размеров и назначения и речные несамоходные и самоходные суда различного назначения (ходкость).
2. Заостренно-усеченная	
2.1. С U - V - образными шпангоутами	Одновальные тихоходные и среднескоростные суда различных размеров и назначения с $D_f / T \leq 0,7$ (ходкость, технологичность); суда с накатной грузообработкой при кормовой рампе (грузообработка) и прочие суда с большой площадью палуб в корме; рыбопромысловые суда с кормовым сливом (кормовое вооружение).
2.2. С V - об-разными шпангоутами	Морские двухвальные тихоходные и среднескоростные суда различных размеров и назначения и речные несамоходные и самоходные суда различного назначения (ходкость, технологичность); буксиры, транспортно-буксирные суда морских нефтепромыслов и прочие суда с большой площадью верхней или грузовой палубы в кормовой части судна при низком надводном борте (стойчивость); суда с накатной грузообработкой при кормовой рампе (грузообработка) и прочие суда с большой площадью палуб в корме.

Продолжение таблицы 2.2

I	2
2.3. С овальными шлангоутами	Морские двухвальные тихоходные, среднескоростные и быстроходные суда и корабли различных размеров и назначения (ходкость, технологичность, кормовое вооружение); речные несамоходные и самоходные суда различного назначения (ходкость, технологичность); буксиры, транспортно-буксирующие суда для морских нефтепромыслов, суда для транспортировки крупногабаритных и тяжеловесных грузов и прочие суда с большой площадью верхней или грузовой палубы в кормовой части судна при невысоком надводном борте (остойчивость); суда с накатной грузообработкой при кормовой рампе (грузообработка) и прочие суда с большой площадью палуб в корме.
3. Санеобразная с плоским или слегка жилеватым окосом	Морские двухвальные тихоходные, среднескоростные и быстроходные суда и корабли различных размеров и назначения (ходкость, кормовое вооружение, технологичность); речные несамоходные и самоходные суда различного назначения (ходкость, технологичность); буксиры, транспортно-буксирующие суда для морских нефтепромыслов, суда для транспортировки крупногабаритных и тяжеловесных грузов и прочие суда с большой площадью верхней или грузовой палубы в кормовой части судна при <u>невысоком надводном борте</u> (остойчивость); суда с накатной грузообработкой при кормовой рампе и прочие суда с большой площадью палуб в корме (грузообработка).
4. Тоннельная	Морские одновальные тихоходные и среднескоростные суда различных размеров и назначения с $D_g / T \leq 0.9$ (ходкость) и двухвальные речные суда с $D_g / T \leq 1.2$ (ходкость, ограничение осадки); буксиры и

Продолжение таблицы 2.2

I	2
	прочие суда с большой площадью верхней палубы в кормовой части судна при невысоком надводном борте (остойчивость); суда с накатной грузообработкой при кормовой рампе (грузообработка) и прочие суда с большой площадью палуб в корме.

Форштевни на морских и речных судах отличаются большим многообразием, поэтому их необходимо классифицировать по форме в связи с рассмотренными формами носовых обводов корпуса, а также функциональными особенностями самих судов. В табл. 2.3 представлены основные типы форштевней современных судов с указанием их соответствия носовым обводам и принадлежности к судам различного назначения, для которых они характерны.

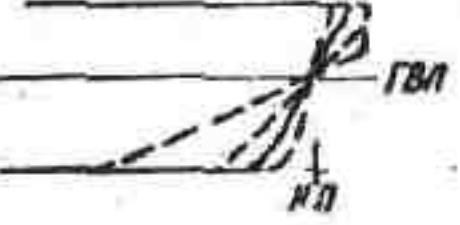
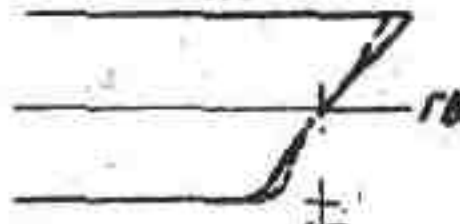
Для всех приведенных типов форштевней (см. табл. 2.3), кроме полуледокольного и ледокольного, а также форштевней с ложкообразными и сечеобразными носовыми обводами, приемлема установка носовых бульбообразных (бульбовых) наделок, служащих для уменьшения буксировочного сопротивления судна.

Таблица 2.2

Основные типы форштевней судов

Тип форштевня	Форма носовых обводов	Применение
I. Прямой вертикальный с возможным сломом над ГВЛ	Цилиндрическая	Морские транспортные среднетоннажные и крупнотоннажные тихоходные суда с $DW > 50$ тыс. т.
2. Прямой наклонный	a) Заостренная с U-, V-Y- и V-образными начальными	Транспортные среднетоннажные суда с $DW < 20$ тыс. т. возможны

Продолжение таблицы 2.3

Тип форштевня	Форма носовых обводов	Применение
3. Клиперский	 <p>б) Санеобразная с плоским или килеватым скосом;</p> <p>в) Заостренно-ломкообразная</p>	<p>Речные и морские баржи различного назначения, ледоколы;</p> <p>Среднетоннажные морские суда</p>
4. S - образный	 <p>а) Заостренная с U - и U - V - образными шпангоутами</p> <p>б) Заостренно-ломкообразная</p> <p>Заостренная с U - V - образными шпангоутами.</p>	<p>Транспортные среднетоннажные и крупнотоннажные суда с $\bar{W} < 150$ тыс.т., военные корабли, пассажирские суда, кабелеукладчики, аномоны, рыбопромысловые суда;</p> <p>Среднетоннажные морские суда</p> <p>Пассажирские суда</p>
5. Овальный	 <p>в) Заостренная с V - образными шпангоутами;</p> <p>б) Ломкообразная;</p> <p>в) Заостренно-ломкообразная</p>	<p>Транспортные малотоннажные суда, спортивные, рыбопромысловые, служебно-исследовательские суда;</p> <p>Морские и речные баржи различного назначения, ледоколы;</p> <p>Среднетоннажные морские суда.</p>
6. Прямой ломанный	 <p>Заостренная с U и U - V - образными шпангоутами</p>	<p>Транспортные среднетоннажные суда с $\bar{W} < 70$ тыс.т., военные корабли, служебно-исследовательские суда</p>

Продолжение таблицы 2.3

Тип форштевня	Форма носовых обводов	Применение
7. Полуледокольный	Заостренная с V - образными шпангоутами	Суда ледового плавания различного назначения
8. Ледокольный	Заостренная с V - образными шпангоутами	Ледоколы

В настоящее время имеется множество различных типов носовых бульбовых наделок, различающихся по форме диаметра и поперечного сечения, расположению относительно поверхности воды (ГВЛ). На рис. 2.1 показаны наиболее распространенные типы бульбов с указанием их применимости для корпусов различной полноты.

Форму поперечного сечения носовых бульбовых наделок удобно рассматривать на уровне нулевого шпангоута (носового перпендикуляра). Рассматривают четыре вида формы нулевого шпангоута: юлинообразная с поднятым к ГВЛ центром площади, симметричная овальная или ромбовидная; каплеобразная с опущенным к днищу центром площади; цилиндрическая. На рис. 2.2 показаны данные формы поперечного сечения бульбов и в скобках перечислены типы бульбов, которым они присущи в соответствии с представленной на рис. 2.1 классификацией.

Основными характеристиками носовой бульбовой наделки, влияющими на мореходные качества судна, при известном ее типе можно считать площадь сечения бульба на нулевом шпангоуте S_B и ее форму, а также выдвиг бульба относительно носового перпендикуляра $L_B / 2$ (см. рис. 2.1 и 2.2).

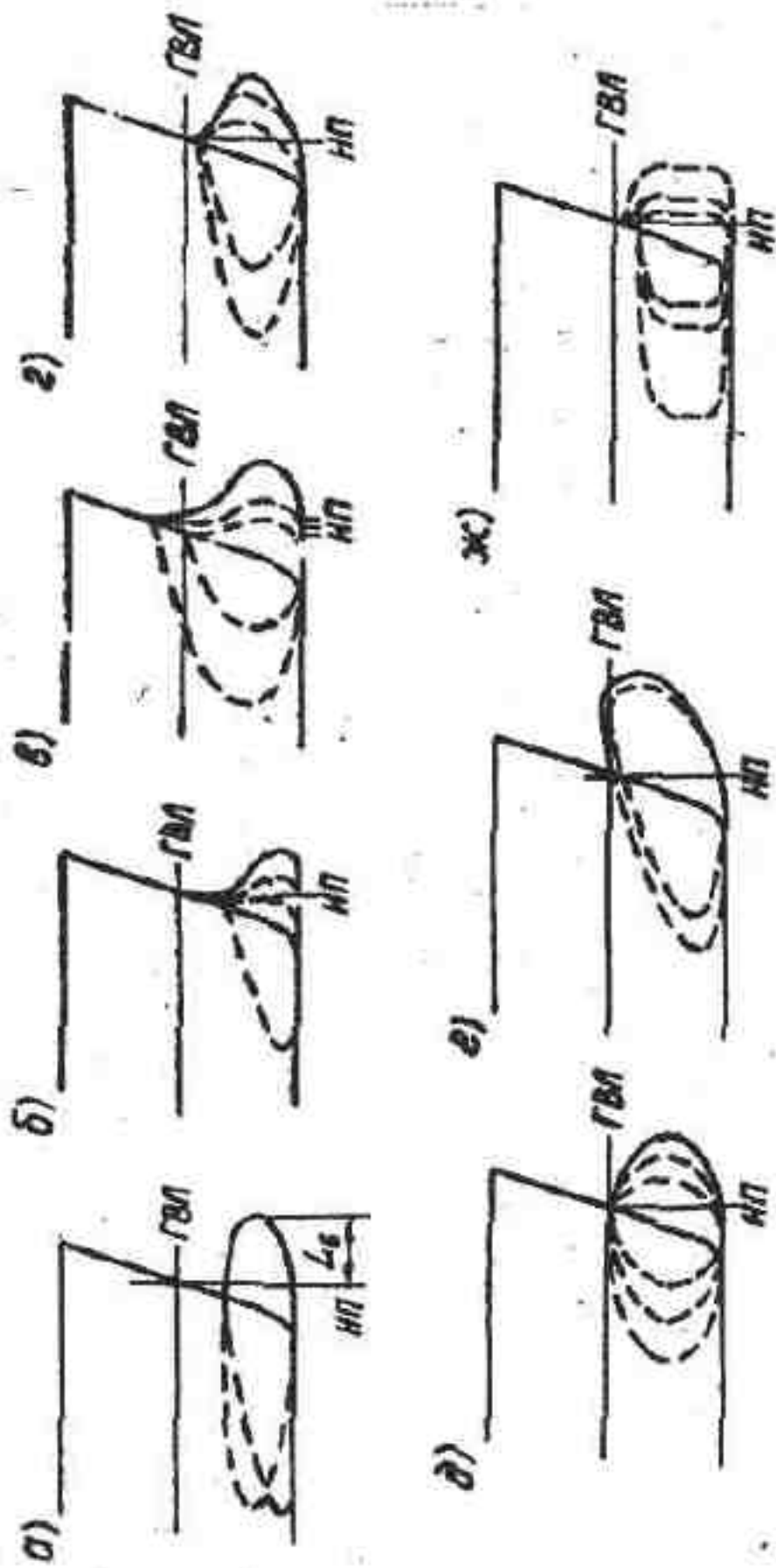


Рис. 2.1. Распространение типов носовых сильвов: а - грудокопоголовный (корпуса с полным обводом при $\alpha > 0,8$); б - шеекошеечный (корпуса с полным обводом и постепенным тapersing (корпуса с постепенным обводом); в - определенное положение тела (корпуса с определенным обводом при $\alpha = 0,6...0,8$); г - определенное положение тела (корпуса с определенным обводом); д - грудокопоголовный (корпуса с определенным обводом и небольшим сопротивлением); е - шеекошеечный (корпуса с определенным обводом и небольшим сопротивлением); ж - грудокопоголовный (корпуса с полным обводом).

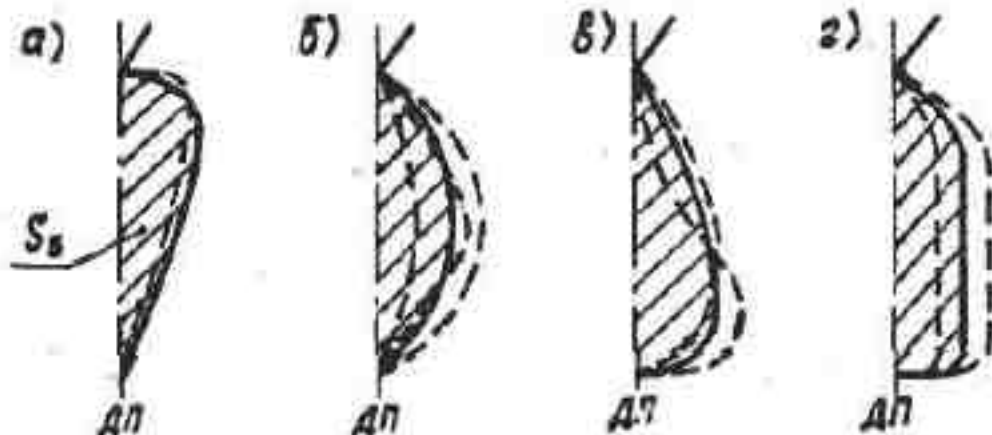


Рис. 2.2. Форма нулевого шпангоута носовых бульбовых носов: а - клинообразная (рис. 2.1, а, в); б - симметричная овальная (рис. 2.1, а, д) или ромбовидная (рис. 2.1, г); в - кечеобразная (рис. 2.1, б, в); г - цилиндрическая (рис. 2.1, к)

Площадь сечения бульба на нулевом шпангоуте и его выдлгт выражаются в виде относительных величин $\delta_b = S_b / S_{\max}$ и $t_b = L_b / L$, где S_{\max} и L соответственно площадь шпангоута наибольшего сечения и длина между перпендикулярами. Значения δ_b и t_b в первом приближении можно определять по следующим формулам /2/:

- формуле Л.М.Ногиша при $Fr = 0,25 - 0,35$

$$\delta_b = 0,4 (Fr - 0,1);$$

- формулам В.А.Семеновой-Тян-Шанской

$$\text{при } Fr < 0,20 \quad \delta_b = 0,91 + 0,25 \sqrt{1,68 \cdot Fr - 0,097};$$

$$\text{при } Fr > 0,24 \quad \delta_b = 0,017 + (1,89 \cdot Fr - 0,311)^2;$$

$$\text{при } 0,20 < Fr < 0,21 \quad t_b = 0,051 - 0,115 \cdot Fr \pm 0,006;$$

$$\text{при } 0,24 < Fr < 0,265 \quad t_b = 0,102 - 0,3 \cdot Fr \pm 0,006;$$

$$\text{при } 0,275 < Fr < 0,32 \quad t_b = 0,051 - 0,106 \cdot Fr \pm 0,006;$$

Выбор формы бульба носит сугубо индивидуальный для проектируемого судна характер и отличается сложностью с инженерной точки зрения. Это объясняется особенностями гидроме-

ханики взаимодействия бульба и корпуса. В нашем случае целесообразно ограничиться самыми явными обобщениями, которые можно использовать для предварительного выбора формы бульба при проектировании теоретического чертежа корпуса судна.

В настоящее время наибольшее применение имеют бульбы с клинообразной и симметричной формой поперечных сечений, причем у бульбов, снижающих волновое сопротивление, в основном клинообразные формы сечений, а у бульбов, снижающих сопротивление формы, — симметричная форма сечения. Бульбы с каплеобразными и цилиндрическими формами поперечных сечений используются как для снижения волнового сопротивления, так и сопротивления формы, однако имеют серьезные недостатки при скеминге, поэтому их используют, как правило, на мало- и среднегоннажных судах, имеющих ставниительно малые отношения L/T .

В кораблестроении традиционно форму хвостовика корпусов судов связывают с типом кормы или кормовой оконечности, который определяется формой кормовых обводов и расположением винто-рулевого комплекса.

На практике принято различать три группы типов кормы: крейсерскую, эллиптическую и транцевую, которые легко отличаются друг от друга помимо чисто внешних признаков (хрейсерскую корму наличие кормового свеса над рулевым делает визуально массивной; эллиптическую корму расположение наиболее объемных ее частей над ГВЛ делает более изящной и динамичной; транцевую корму наличие транца делает массивной, статичной и обрезанной с ярко выраженным углом) формой ГВЛ в корме и соотношением длины между перпендикулярами и длины судна по ГВЛ (рис. 2.3).

Каждая из трех групп типов кормовой оконечности имеет разновидности в зависимости от формы применяемых кормовых обводов (табл. 2.4). Кроме того, все рассмотренные кормовые оконечности у одиссальных судов могут быть открытого типа. Так называемая крма открытого типа характеризуется отсутствием рудерпоста и пятки хвостовика вследствие применения подвесных или полуподвесных рулей (см. рис. 2.3); и позволяет улучшить пропульсивные качества судна.

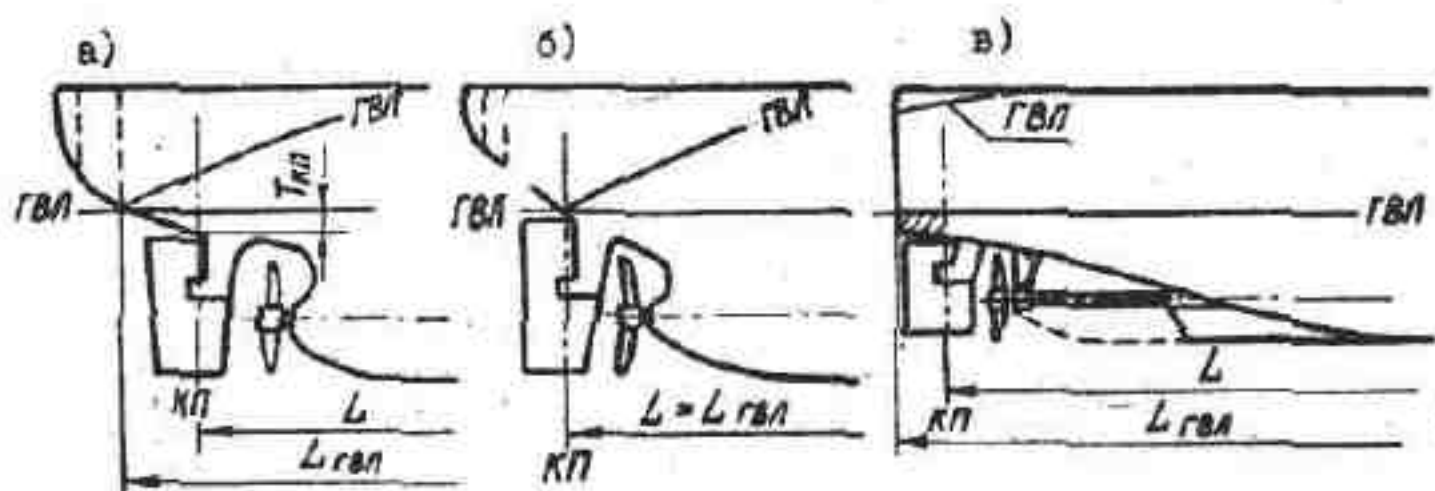


Рис. 2.3. Кормы открытого типа одновальных судов:
а - крейсерская; б - эллиптическая; в - склоненная
транцевая

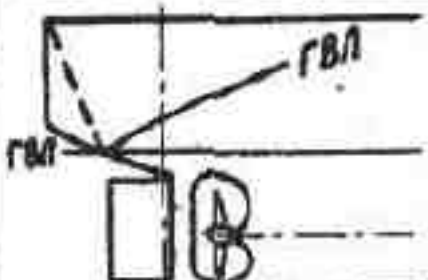
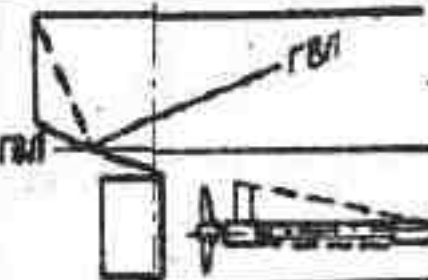
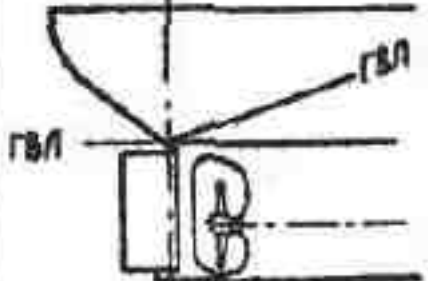
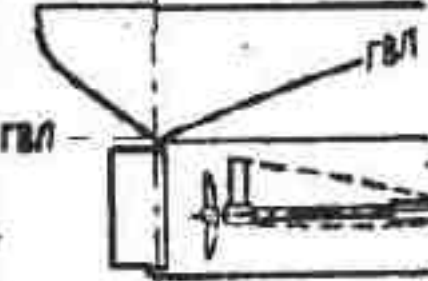
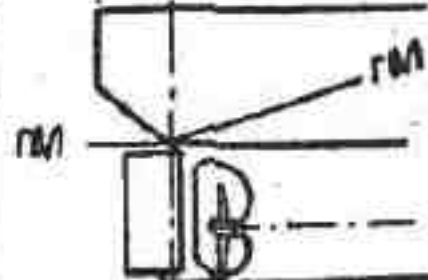
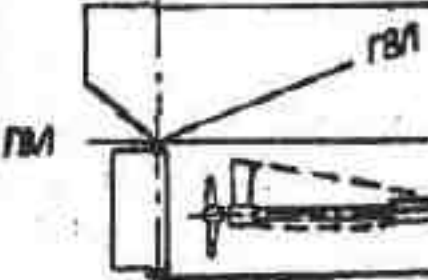
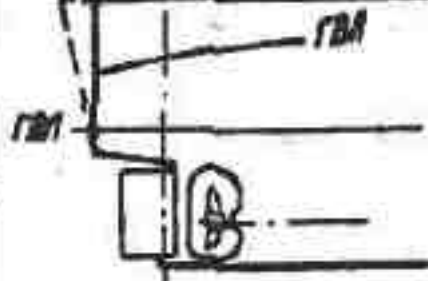
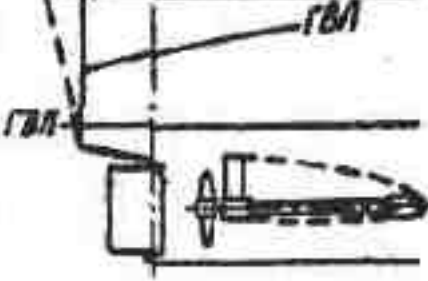
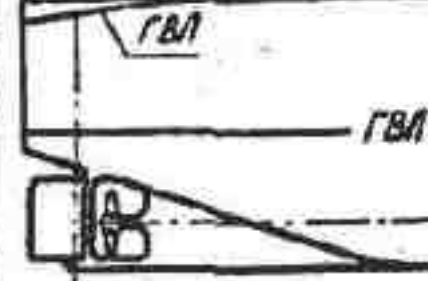
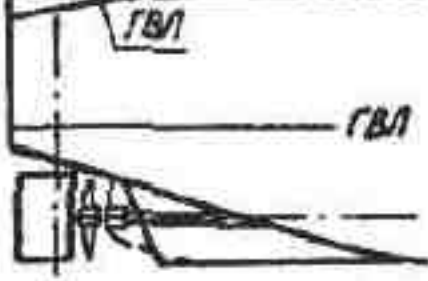
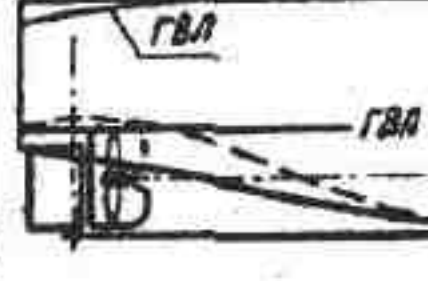
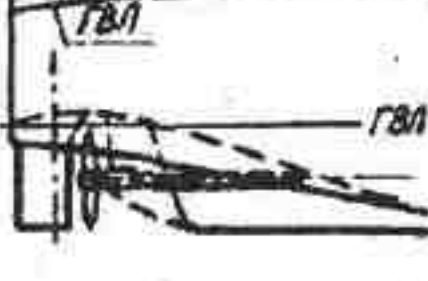
Как видно из рис. 2.3 и табл. 2.4, для крейсерской и эллиптической кормы характерна заостренная грузовая ватерлиния, тогда как для кормы транцевого типа - усеченная или клинообразная ГВЛ. Для крейсерской и транцевой кормы характерно наличие кормового свеса, который делает длину судна по ГВЛ в любом случае больше, чем длина между перпендикулярами.

Таблица 2.4

Типы кормовой оконечности судов

Группа и подгруппа	Группа формы обводов см. табл. I.2)	Схема длины грави	
		одновальная	двухвальная
I	2	3	4
I. Крейсерская	I.2.		
I.I. Крейсерская обычная (закругленная)	I.3. I.4.		

Продолжение таблицы 2.4

Г	2	3	4
I.2. Крейсерская с надводным транцем	I.2. I.3. I.4.		
2. Эллиптическая	I.1. I.2.		
2.1. Эллиптическая общая (закругленная)	I.1. I.2.		
2.2. Эллиптическая с надводным транцем	I.1. I.2.		
3. Транцевая	2.1. 2.2. 2.3.		
3.1. Крейсерско-транцевая	3.1.		
3.2. Окночная транцевая			
3.3. Тоннельная	4.		

Наибольшую сложность представляет проектирование формы ахтерштевня для одновальных судов с крейсерской или транцевой кормой. При заданном диаметре гр. бного винта (D_g) необходимо начинать проектирование с проверки выбора кормового сэсса (L_{kc}), которая, как правило, принимается не менее ширины пира руля за кормовым перпендикуляром (рис. 2.4); для балансировочных рулей ориентировочно β_p' можно определить по формуле:

$$\beta_p' = \frac{(1 - K_k) / T}{A \cdot h_p} ,$$

где $K_k = 0,18 - 0,24$ – коэффициент компенсации руля (значения, примыкающие к нижнему пределу диапазона, принимаются для полубалансировочных рулей, а к верхнему пределу – для балансирных рулей); h_p – высота пира руля, которую в первом приближении можно принимать в зависимости от диаметра гребного винта $h_p = (1,0 - 1,2) D_g$; A – коэффициент, который можно определять по формуле Правил Норвежского бюро Веритас

$$A = \frac{100}{[1 + 25 / (L/B)^2]} ,$$

или в зависимости от скорости судна (U_s) /B/:

U_s , уз.	10 - 14	Более 14
A	52 - 62	58 - 80

Ширина балансирной части руля (β_p''), которую необходимо знать для проектирования линии ахтерштевня в районе расположения гребного винта, определяется по формулам:

– для балансирных рулей

$$\beta_p'' = \frac{K_k L \cdot T}{A \cdot h_p} ;$$

– для полубалансирных рулей

$$\beta_p'' \approx \frac{2 K_k L \cdot T}{A \cdot h_p} .$$

Линия ахтерштевня в районе расположения гребного винта (окна ахтерштевня) определяется в общем случае четырьмя геометрическими параметрами, характеризующими зазоры между гребным винтом и ахтерштевнем, корпусом, пяткой ахтерштевня (если она есть) и палом (вспомогательный пяткой) /Э. 4/.

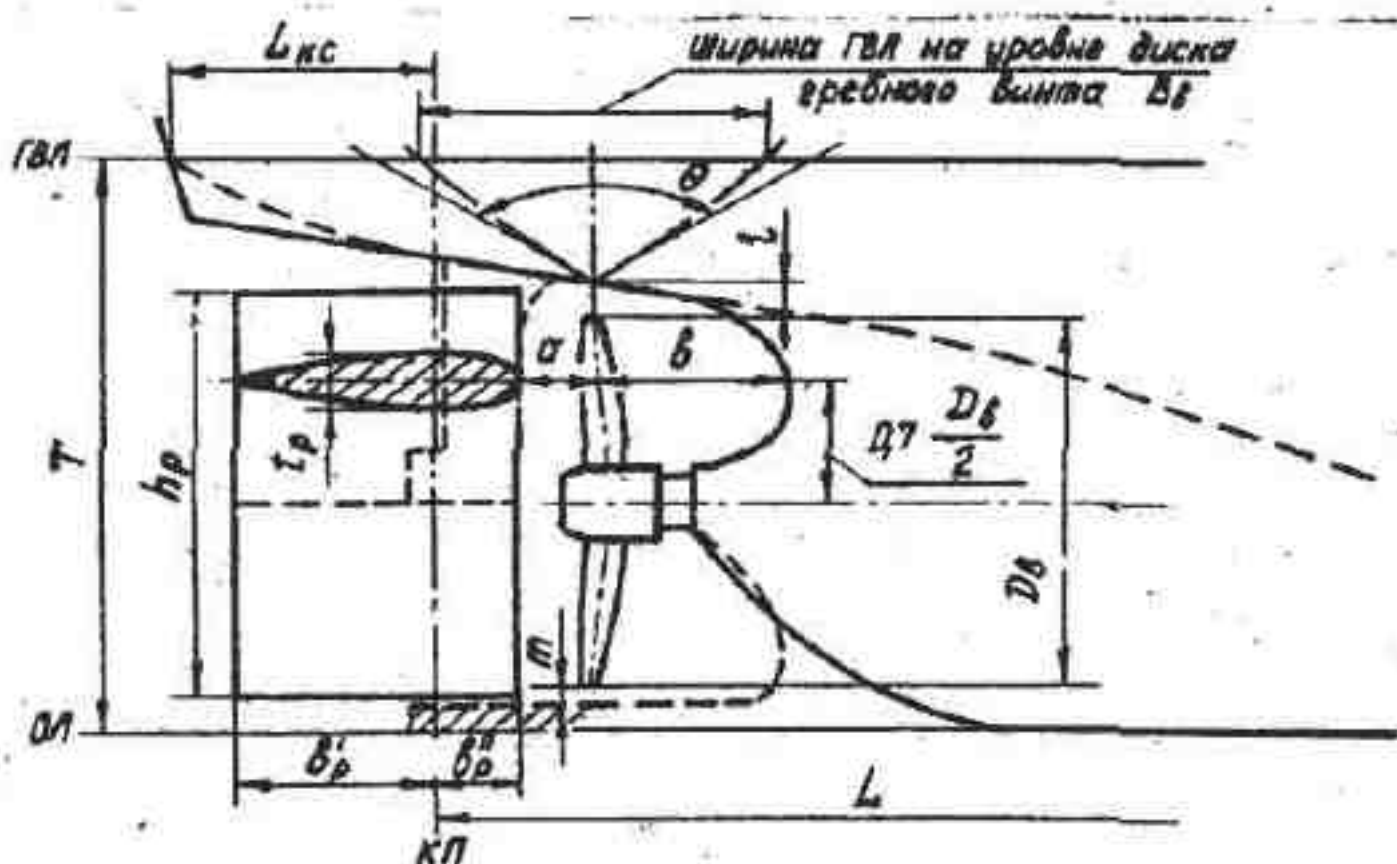


Рис. 2.4. Расположение движительно-рулевого комплекса на одновальном судне с крейсерской или трапециевидной кормой

Зазор b (см. рис. 2.4) между гребным винтом и ахтерштевнем или кронштейном гребного вала на уровне 0,7 от радиуса $R_g = Dg/2$ влияет на пропульсивные качества корпуса (коэффициенты подутного потока и засасывания) и КПД самого движителя (неравномерность потока в диске винта), причем при удалении от корпуса гребного винта пропульсивные качества судна постоянно повышаются.

По обобщенным рекомендациям /3, 4/ относительная величина зазора (b / Dg) для одновальных и двухвальных судов должна быть $b / Dg \geq 0.45$, однако необходимо помнить, что значительное удаление винта от ахтерштевня ведет к усложнению конструкции дейдвудной трубы и ее выкружек, технологии их изготовления и к снижению ремонтопригодности линии валопровода.

Зазор (l) между гребным винтом и корпусом судна (верхним ахтерштевнем) оказывает сильное влияние на вибрацию корабльской оконечности судна, при этом относительный зазор (l / Dg) должен быть /3, -4/:

- для одновальных судов

$$\ell / D_g \geq 0.15 + 1.1 \cdot 10^{-3} (\Theta - 60),$$

где Θ - угол килеватости прангоута в диске винта, в град., который рекомендуется принимать $\Theta > 60^\circ$ во избежание сильной вибрации кормовой оконечности;

- для двухвальных судов $\ell / D_g \geq 0.26$.

Зазор (a) между гребным винтом и рулем оказывает влияние на ходовые качества судна, которое учитывается коэффициентом попутного потока. По обобщенным рекомендациям /3, 4/

$$a / D_g \geq 0.2 \quad \text{при } t_p / D_g = 0.15 ;$$

$$a / D_g = 0.2 \cdot 1.5 \left(\frac{t_p}{D_g} - 0.15 \right) \text{ при } t_p / D_g > 0.15,$$

где t_p - толщина руля предварительно может быть выбрана по диалоги относительных толщин $t_p / (\delta'_p + \delta''_p) = t_p / \delta_p$, который для современных судов составляет 0,15 - 0,24, при этом величина t_p / D_g в любом случае не должна приниматься более 0,25.

Значение относительного зазора между гребным винтом и пяткой ахтерштевня (m / D_g) рекомендуется принимать $m / D_g \geq 0.05$ /3, 4/.

В случае проектирования ахтерштевней двухвальных судов со склонной транцевой кормой (санеобразные кормовые обводы с плоским скосом, см. табл. 1.2) и скегами гребных валов (см. рис. 2.3, в) можно использовать все приведенные рекомендации по выбору геометрических параметров δ , ℓ и a .

В последнее время на судах начинают применяться специальные устройства, заметно улучшающие пропульсивные качества судов за счет повышения эффективности работы гребного винта, среди которых необходимо отметить предвинтовые насадки и свободно вращающиеся пропеллеры (контрпропеллеры Грима). При этом, если установка первых устройств практически не приводит к изменению геометрических параметров линии ахтерштевня одновального судна согласно приведенным рекомендациям, то при оснащении судна контрпропеллером необходимо дополнительное пространство в кормовом подзоре для его размещения (рис. 2.5).

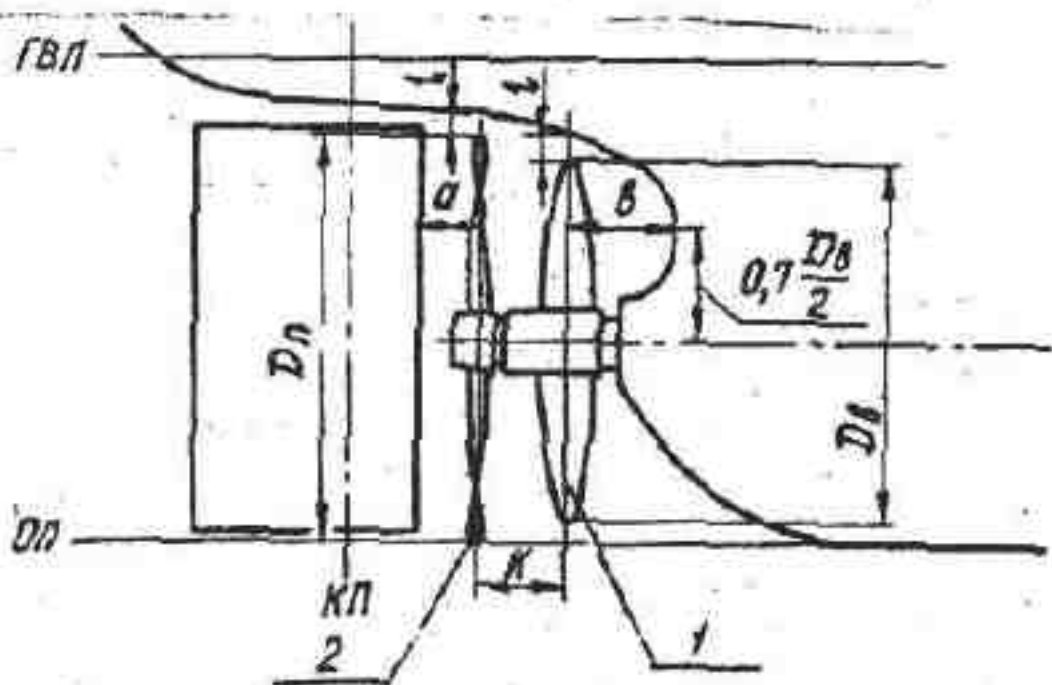


Рис. 2.5. Расположение движительно-рулевого комплекса одновального судна с пропеллером Грима: 1 - гребной винт; 2 - пропеллер Грима

При наличии пропеллера Грима для проектирования формы ахтерштевня в районе расположения гребного винта необходимо знать такие важные геометрические параметры как отношение диаметра контрпропеллера к диаметру гребного винта (D_n/D_g), которое следует в первом приближении выбирать в диапазоне $D_n/D_g = 1,1 - 1,3$, и расстояние между их дисками (К), относительное значение которого может приниматься в диапазоне $K/D_g = 0,25 - 0,26$. При этом зазор i между пропеллером и корпусом судна можно оставлять таким же, как для гребного винта, а зазор между диском пропеллера и рулем определять через его диаметр D_n (см. рис. 2.5).

3. ПОДГОТОВИТЕЛЬНЫЕ РАБОТЫ ДЛЯ ПОСТРОЕНИЯ ТЕОРЕТИЧЕСКОГО ЧЕРТЕЖА

Как уже указывалось во введении, непосредственное проектирование теоретического чертежа корпуса судна принято разбивать на два этапа: проведение подготовительных работ, необходимых для построения ТЧ, и построение самого теоретического чертежа.

Подготовительные работы для построения теоретического чертежа включают следующее:

- 1) разработку строевой по шпангоутам;
- 2) разработку грузовой ватерлинии;
- 3) построение свода мидель-шпангоута;
- 4) построение сетки теоретического чертежа;
- 5) разработку диаметрального батокса.

3.1. Разработка строевой по шпангоутам

Строевая по шпангоутам представляет собой распределение площадей шпангоутов до грузовой ватерлинии (являющейся расчетной) по длине судна.

Главной задачей построения строевой по шпангоутам независимо от используемой методики является обеспечение заданных значений объемного водоизмещения (V), т.е. коэффициентов общей (δ) и продольной полноты (γ), и абсциссы центра величины (X_c). При этом, как показывает опыт, если обеспечение водоизмещения достигается достаточно легко, то значение абсциссы ЦВ обеспечить гораздо сложнее, поэтому точность получения X_c при построении строевой по шпангоутам определяет в какой-то мере совершенство применяемой методики.

Обычно для непосредственного построения строевой по шпангоутам используют следующие исходные данные:

- 1) коэффициент продольной полноты (γ) и абсциссу центра величины (X_c);
- 2) длину цилиндрической вставки (L_{cz}) и ее положение по длине судна либо положение шпангоута наибольшего сечения для судов без цилиндрической вставки;
- 3) форму носовой и кормовой ветвей строевой по шпангоутам.

В случае отсутствия информации о положении центра величины методика построения строевой по шпангоутам начинается с определения абсциссы (X_c), в зависимости от которой в дальнейшем находятся вспомогательные коэффициенты и характеристики. Абсцисса ЦВ отсчитывается обычно от мидель-шпангоута, принято считать ее положительной, если центр величины расположен в нос от мидель-шпангоута, и отрицательной – если он кормнее.

Для определения относительной абсциссы ЦВ $\bar{x}_c = x_c/L$ чаще всего используют зависимости в функции от коэффициента общей полноты или числа Фруда (F_N), выбор которых может быть осуществлен по источникам /1 - 3, 7/. В любом случае необходимо следить за соответствием формул тем или иным формам поводов и диапазонов изменения аргументов а также учитывать общие границы изменения x_c (см. приложение, рис. П.7, П.8).

В качестве примера можно привести формулы Вагеникенского бассейна, пригодные для проектирования обычных корпусов с заостренными в оконечностях обводами:

$$\text{при } \delta > 0,65 \quad \bar{x}_c = 0,022 \left[\sin\left(\frac{\pi}{2} \frac{\delta - 0,65}{0,15}\right) \pm 0,5 \right];$$

$$\text{при } \delta < 0,65 \quad \bar{x}_c = -0,011 \left[\sin\left(\frac{\pi}{2} \frac{0,65 - \delta}{0,15}\right) \pm 1,0 \right],$$

или в упрощенной форме

$$\bar{x}_c = 0,42 (\delta - 0,65) \pm 0,01.$$

В зависимости от относительной абсциссы ЦВ находятся коэффициенты продольной полноты носовой (Υ_H) и кормовой (Υ_K) частей корпуса относительно мидель-шпангоута, необходимые для построения строевой по шпангоутам.

Для обычных корпусов с заостренными обводами в оконечностях коэффициенты Υ_H и Υ_K можно определять по следующим формулам /2/:

$$\left. \begin{aligned} \Upsilon_H &= (1 + 3,05 \bar{x}_c) \Upsilon; \\ \Upsilon_K &= (1 - 3,05 \bar{x}_c) \Upsilon; \\ \Upsilon &= \frac{\Upsilon_H - \Upsilon_K}{2}, \end{aligned} \right\} \quad (3.1)$$

дополнительно для определения Υ_H и Υ_K можно использовать формулы А.Хогга /10/

$$\Upsilon_H = \Upsilon + 0,002 + 2 \cdot \bar{x}_c;$$

$$\Upsilon_K = \Upsilon + 0,002 - 2 \cdot \bar{x}_c,$$

которые дают практически аналогичные результаты.

Решение вопроса об отсутствии или наличии на корпусе судна цилиндрической вставки производится обычно в зависимости от числа Фруда или коэффициента сошой полноты.

Если за критерий принять число Фруда, то при $Fr \geq 0,26$ длину цилиндрической вставки можно принимать равной нулю /1, 2/. В этом случае положение шпангоута наибольшего сечения по длине судна и соответствующие ему длины носового и кормового заострений определяются следующим образом:

при $Fr = 0,26 - 0,27$ шпангоут наибольшего сечения можно принимать посередине длины судна по ГВЛ, т.е. ориентировочно

$$x_{шп.н.с.} = -0,045 \cdot L ;$$

$$L_{нз} = 0,515 \cdot L ; \quad L_{кз} = 0,485 \cdot L ;$$

при $Fr = 0,27 - 0,30$

$$x_{шп.н.с.} = -0,025 \cdot L ;$$

$$L_{нз} = 0,525 \cdot L ; \quad L_{кз} = 0,475 \cdot L$$

при $Fr > 0,30$

$$x_{шп.н.с.} = -0,05 \cdot L ;$$

$$L_{нз} = 0,55 \cdot L ; \quad L_{кз} = 0,45 \cdot L .$$

Если число Фруда $Fr < 0,26$, на корпусе целесообразно формировать цилиндрическую вставку, длину ($L_{цв}$) и положение которой по длине судна обычно определяют по графикам типа графика Линдблада в зависимости от δ (рис. 3.1). При этом в дополнение можно пользоваться формулами и графиками для определения относительной длины носовой части цилиндрической вставки $\ell_{цв}'' = L_{цв}'' / L$ или носового заострения $\ell_{нз} = 0,5 - \ell_{цв}''$ в зависимости от числа Fr или δ , так как эти параметры влияют на интерференцию носовых волн и волн, зарождающихся у начала цилиндрической вставки.

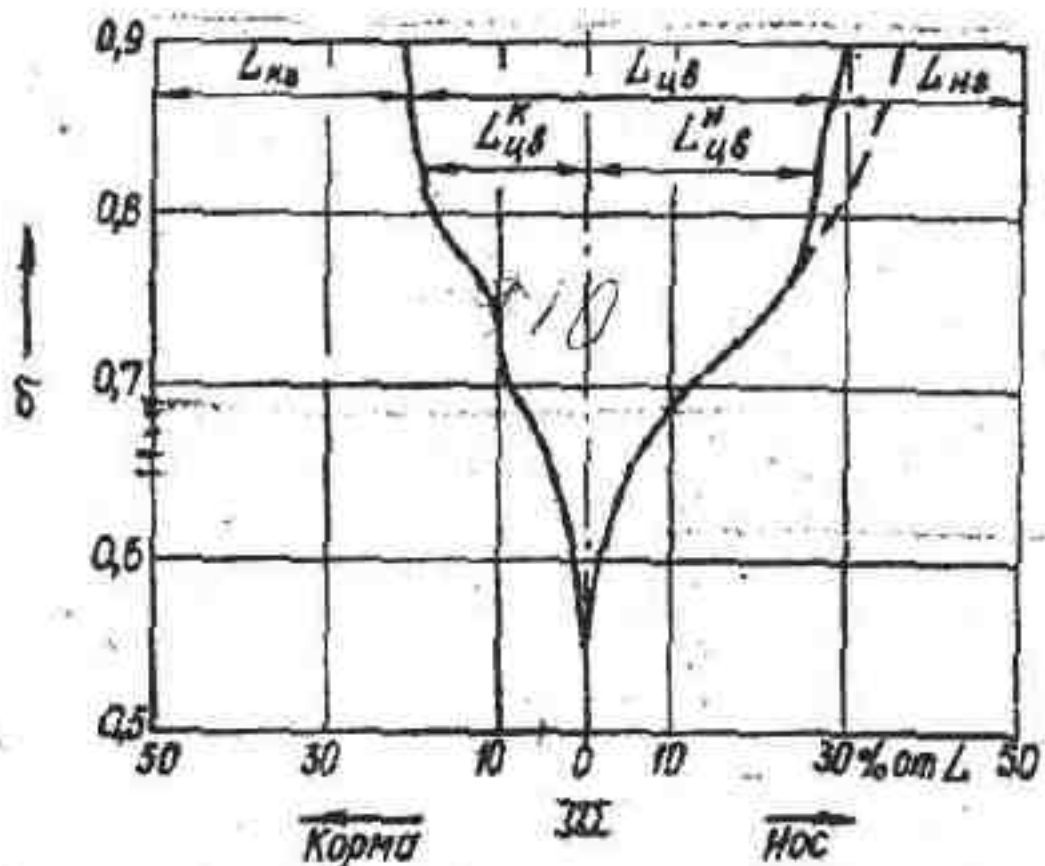


Рис. 3.1. График для определения протяженности и расположения цилиндрической ватанки: — для корпусов с заостренными носовыми и кормовыми обводами; - - - - для корпусов с цилиндрическими носовыми обводами

Для учета влияния интерференции указанных волновых систем на выбор расположения цилиндрической ватанки корпуса на рис. 3.2 приведен график зависимости $\ell_{\text{из}}^{\text{н}} = f(Fr, \delta) / I$, на котором заштрихованные зоны показывают области значений $\ell_{\text{из}}^{\text{н}}$, обеспечивающих благоприятную волновую интерференцию, а значит и снижение волнового сопротивления корпуса. В случае определения относительной длины носового заострения ($\ell_{\text{из}}$), обеспечивающей благоприятную интерференцию волн, можно пользоваться формулами Вагенштейнского бассейна (для корпусов с заостренными носовыми обводами) /2, 7/:

$$\text{при } Fr = 0,22 - 0,26 \quad \ell_{\text{из}} = 4,2 Fr - 0,525 ;$$

$$\text{при } Fr \leq 0,22 \quad \ell_{\text{из}} = 2,1 Fr - 0,062 .$$

При определении длины кормового заострения, к примеру, по графику Линдблада значение $L_{\text{из}}$ необходимо проверить по кри-

терию Бэкера, выражающему критическую относительную длину кормового заострения, которая приводит к резкому увеличению сопротивления формы в корме:

$$l_{k3} = L_{k3}/L \geq \frac{k_6}{\sqrt[4]{t^{1/2} l^{3/2}}}.$$

где $t = L/V^{1/3}$ — относительная длина судна;
 $k_6 = 4,1$.

Дополнительно для тихоходных судов с большой полнотой корпуса ($\delta > 0,82$) по рекомендациям японских специалистов длина кормового заострения должна быть:

$$L_{k3} \geq V/(0.40 - 0.42) \text{ при } \delta_{k3} = V_{k3}/L_{k3} V T \leq 0.675 / 41.$$

На основании вышеприведенных данных на практике используются приближенные способы 1) строения строевых по шпангоутам с помощью вспомогательных четырехугольников, которые эквивалентны по площади объемному водоизмещению V (рис. 3.3). При этом геометрические параметры вспомогательных четырехугольников определяются следующим образом /2/ :

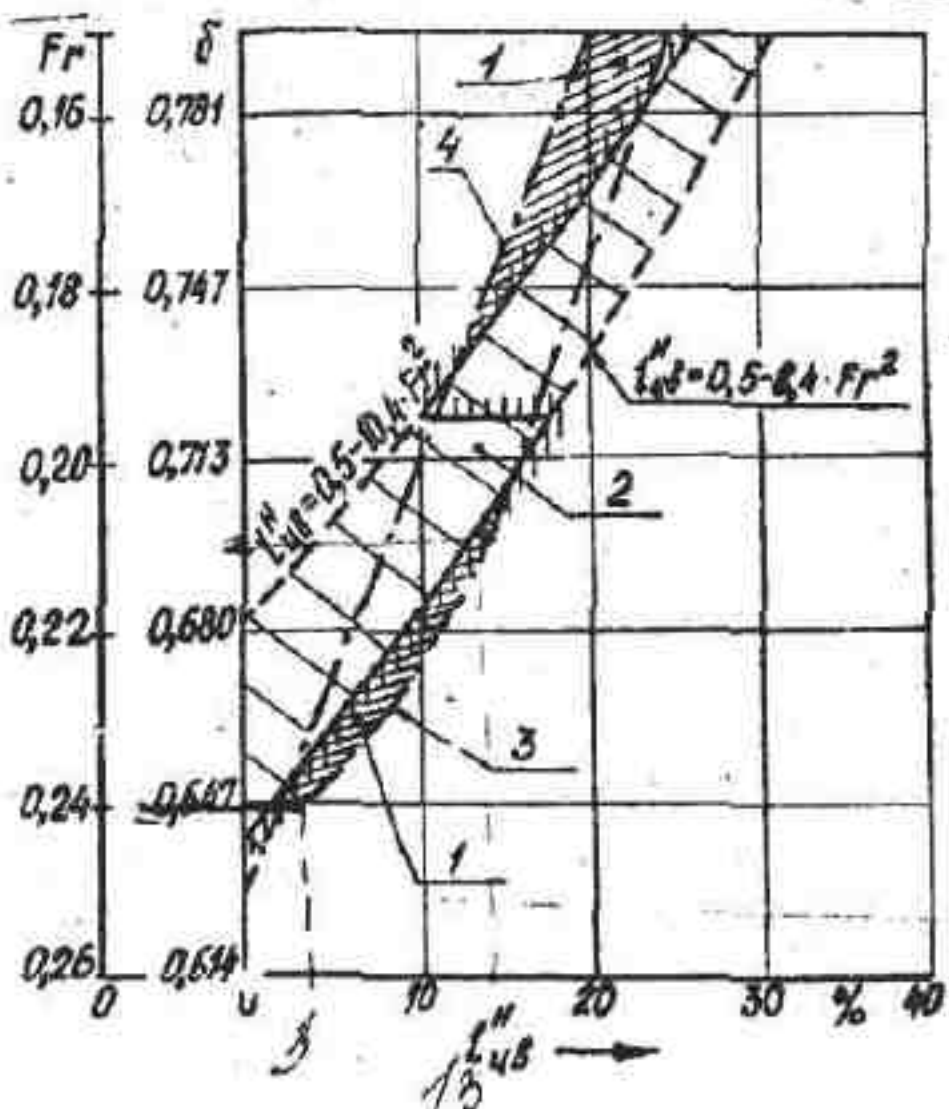


Рис. 3.2. График для определения оптимальных значений относительной длины носовой части цилиндрической вставки по гидромеханическим характеристикам:
1 — благоприятная зона значений t_{4B} ;
2 — неблагоприятная зона t_{4B} ;
3 — кривая Вагенингенского бассейна;
4 — кривая моделей серии 60

$$\left. \begin{array}{l} x_H = (2\varphi_H - 1) \cdot L_H \\ x_K = (2\varphi_K - 1) \cdot L_K \\ x_{H_1} = \varphi_H L_H \\ x_{K_1} = \varphi_K L_K \end{array} \right\} \quad (3.2)$$

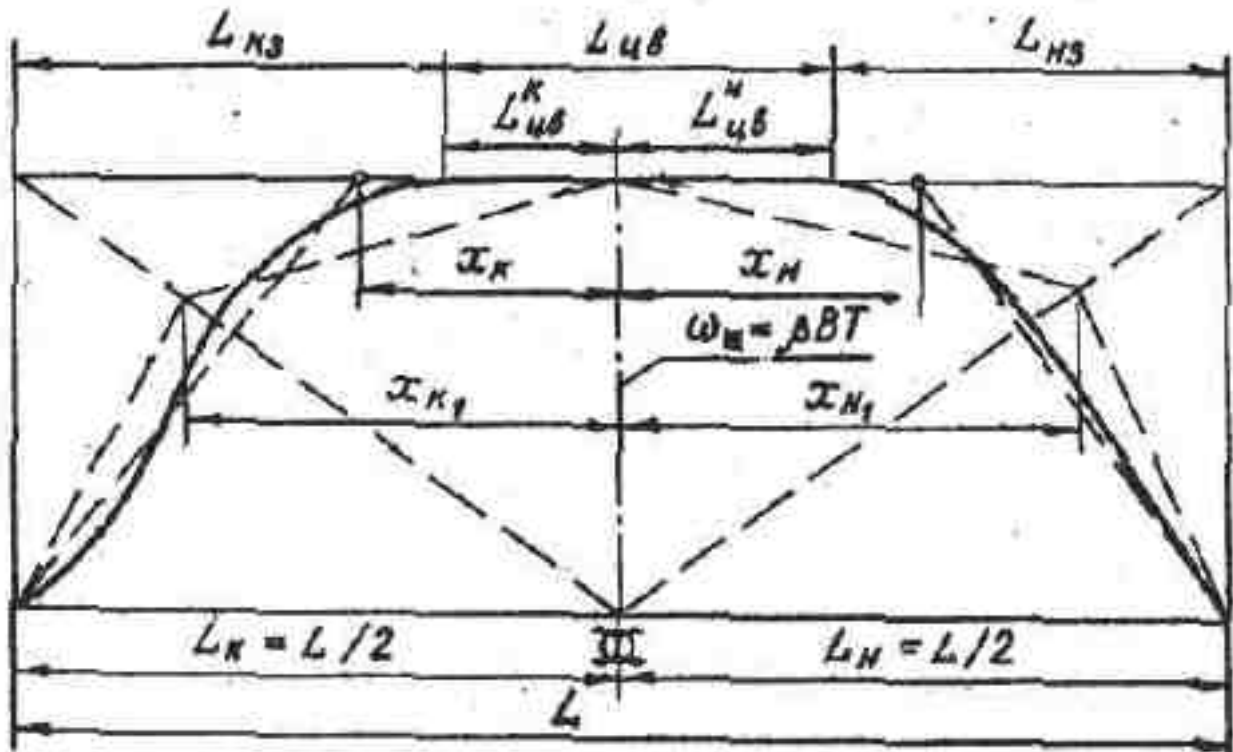


Рис. 3.3. Общая схема построения строевой по шпангоутам

После построения вспомогательных четырехугольников рекомендуется проверить полученную фигуру на положение центра величины: абсцисса центра ее площади должна быть равна заданной абсциссе ЦВ — x_c .

Такой способ дает хорошие результаты для судов с относительно малой цилиндрической вставкой или без нее, когда шпангоут наибольшего сечения находится недалеко от мидель-шпангоута. В случае использования этого способа для судов с большими значениями $\varphi_{H, K}$, вместо φ_H и φ_K в формулу (3.2) удобнее подстатьчить коэффициенты продольной полноты носового и кормового застрений φ_{H3} и φ_{K3} при $L_K = L_{K3}$ и $L_H = L_{H3}$ (см. рис. 3.3).

Недостатком вышеприведенной методики построения строевой по шпангоутам для судов с цилиндрической вставкой является то,

что связь коэффициентов продольной полноты частей корпуса Ψ_H и Ψ_K с параметрами цилиндрической вставки или длинами носового и кормового заострений L_{H3} и L_{K3} отличается большой нестабильностью, так как Ψ_H и Ψ_K в отличие от L_{H3} и L_{K3} определяются не непосредственно в функции от числа Фруда или коэффициентов полноты δ и γ , а согласно формуле (3.1) через абсциссу центра величины x_c , которая в своей функциональной связи с F_f или δ и γ имеет значительный разброс (см. приложение, рис. П.7 и П.9). Это может привести к известным противоречиям в построении строевой по шпангоутам, которые существенно повысят трудоемкость построения. Поэтому для судов с большой цилиндрической вставкой в смысле четкой взаимосвязи между коэффициентами продольной полноты и параметрами цилиндрической вставки (или длинами носового и кормового заострений) более совершенным можно считать построение строевой по шпангоутам с использованием коэффициентов продольной полноты носового и кормового заострений

$$\Psi_{H3} = \frac{V_{H3}}{\beta B T L_{H3}}, \quad \Psi_{K3} = \frac{V_{K3}}{\beta B T L_{K3}},$$

которое приобретает простую форму (рис. 3.4).

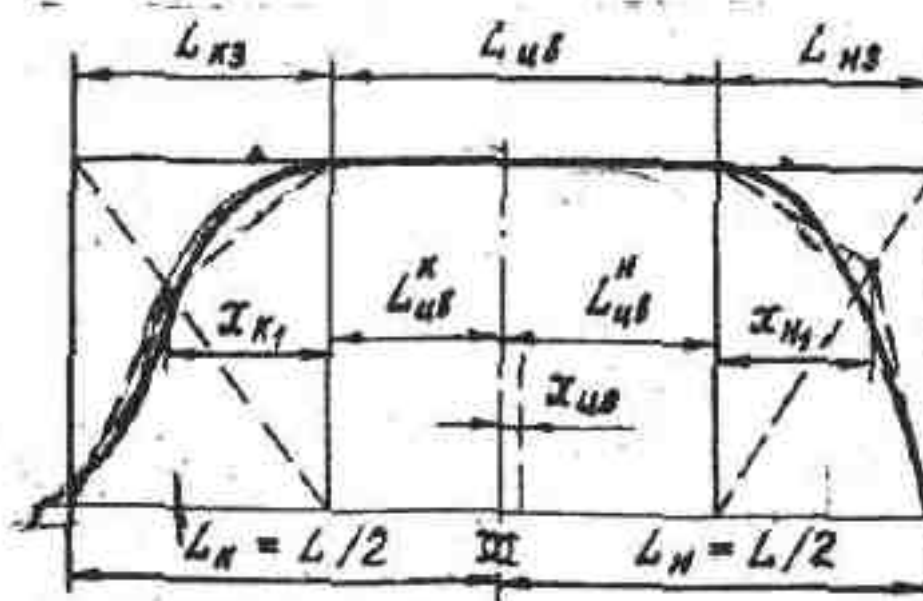


Рис. 3.4. Схема построения строевой по шпангоутам для корпусов с цилиндрической вставкой: $x_{H1} = \Psi_{H3} \cdot L_{H3}$; $x_{K1} =$

$$-\Psi_{K3} \cdot L_{K3}; \gamma = \frac{\Psi_{K3} L_{K3} + L_{H3} + L_{H3} \cdot \Psi_{H3}}{L_{K3}}$$

При известных коэффициентах продольной полноты носовой и кормовой частей корпуса (φ_n и φ_k), а также положении цилиндрической вставки (т.е. значениях L_{ns}^n , L_{ns}^k или L_{ns} и L_{ns}) значения φ_{ns} и φ_{ks} вычисляются по формулам

$$\varphi_{ns} = \frac{\frac{\varphi_n L}{2} - L_{ns}^n}{L_{ns}} = \frac{L(\varphi_n - 1)}{2L_{ns}} + 1;$$

$$\varphi_{ks} = \frac{\frac{\varphi_k L}{2} - L_{ns}^k}{L_{ns}} = \frac{L(\varphi_k - 1)}{2L_{ns}} + 1.$$

В случае, если φ_n и φ_k не известны, можно непосредственно определять значения φ_{ns} и φ_{ks} по формулам В.Л.Подзюнина /6/

$$\varphi_{ns} = \frac{1}{l_{ns}} \left[\frac{\varphi - l_{ns}}{2} + \frac{x_c - x_{ns}}{L} \right]; \quad (3.3)$$

$$\varphi_{ks} = \frac{1}{l_{ns}} \left[\frac{\varphi - l_{ns}}{2} - \frac{x_c - x_{ns}}{L} \right],$$

где l_{ns} – относительная длина цилиндрической вставки; x_{ns} – абсцисса середины цилиндрической вставки, равная:

$$x_{ns} = \frac{L_{ns}^n - L_{ns}^k}{2}.$$

В некоторых случаях для определения φ_{ns} и φ_{ks} можно пользоваться аналогичными формулами /10/

$$\varphi_{ns} = \frac{1}{2l_{ns}} \left[(\varphi - l_{ns}) - \frac{20(\bar{x}_{ns} - \bar{x}_c)}{H - \frac{l_{ns}}{\varphi}} \right]; \quad (3.4)$$

$$\varphi_{ks} = \frac{1}{2l_{ns}} \left[(\varphi - l_{ns}) + \frac{20(\bar{x}_{ns} - \bar{x}_o)}{H - \frac{l_{ns}}{\varphi}} \right];$$

или формулами более простого вида

$$\left. \begin{aligned} \Psi_{n3} &= \frac{\Psi - l_{43}}{l - l_{43}} + 1,68 (1,09 - l_{43}) \bar{x}_c ; \\ \Psi_{k3} &= \frac{\Psi - l_{43}}{l - l_{43}} - 1,68 (1,09 - l_{43}) \bar{x}_c . \end{aligned} \right\} \quad (3.5)$$

Отличие приведенных формул заключается в соотношении получаемых величин Ψ_{n3} и Ψ_{k3} . Формулы (3.3) дают $\Psi_{n3} < \Psi_{k3}$, что может соответствовать острым носовым обводам или, наоборот, приполненным кормовым. Формула (3.4) обеспечивает примерно одинаковые значения Ψ_{n3} и Ψ_{k3} , а формула (3.5) дает $\Psi_{n3} > \Psi_{k3}$, что может соответствовать приполненным носовым обводам и наличию бульба.

Значения Ψ_{n3} и Ψ_{k3} , полученные по формулам (3.3), (3.4) и (3.5), необходимо во избежание грубых ошибок проверять на соответствие общему коэффициенту продольной полноты

$$\Psi = \Psi_{n3} l_{n3} + l_{43} + \Psi_{k3} l_{k3} .$$

В случае, если при разработке формы корпуса проектируемого судна используются теоретические чертежи стандартных моделей серии 60, для определения Ψ_{n3} и Ψ_{k3} можно пользоваться следующими зависимостями /1/:

$$\Psi_{rs} = \frac{L \cdot \Psi - L_{43}}{L_{n3} + L_{k3} \cdot K_\Psi} = \frac{\Psi - l_{43}}{l_{n3} + l_{k3} \cdot K_\Psi} ;$$

$$\Psi_{n3} = K_\Psi \cdot \Psi_{k3} ,$$

где $K_\Psi = (\Psi_{n3} / \Psi_{k3})_{ст}$ — отношение "стандартных" значений коэффициентов продольной полноты носового и кормового заострений моделей серии 60, которое определяется по графику (рис. 3.5) в зависимости от δ и x_c .

При этом значения относительных длин цилиндрической вставки и носового заострения, соответствующие моделям серии 60, можно определять по графикам (рис. 3.6 и 3.7).

Для построения строевой по штангоутам с одновременным определением χ_c , что характерно для автоматизированного проектирования судна, можно предложить методику Тима /9/, которая также применима для корпусов с заостренными обводами. Она заключается в том, что заданный коэффициент продольной полноты

φ условно разбивается на три составляющие для носового и кормового заострений, и цилиндрической вставки относительно общего объема $\beta L VT$, чем в косвенной форме обеспечивается связь абсолютных циктров величины судна χ_c с φ (числом Фруда):

$$\varphi = \varphi_{n3} + \varphi_{ns} + \varphi_{k3}$$

$$\text{где } \varphi_{n3} = \frac{V_{n3}}{\beta L VT} = \frac{\varphi_{n3} \beta V T L_{n3}}{\beta L VT} = \varphi_{n3} \cdot l_{n3};$$

$$\varphi_{ns} = \frac{V_{ns}}{\beta V T} = \varphi_{ns} \cdot l_{ns} = l_{ns};$$

$$\varphi'_{k3} = \frac{V_{k3}}{\beta V T} = \varphi_{k3} \cdot l_{k3}.$$

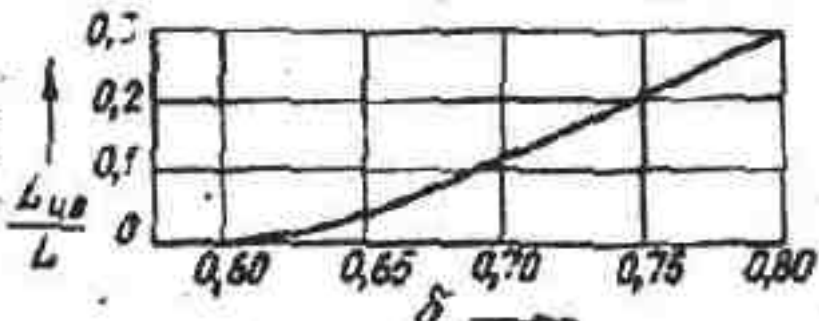


Рис. 3.6. График для определения относительной длины цилиндрической вставки моделей серии 60

Рис. 3.5. График для определения отношения коэффициентов продольной полноты носового и кормового заострений K_4 моделей серии 60

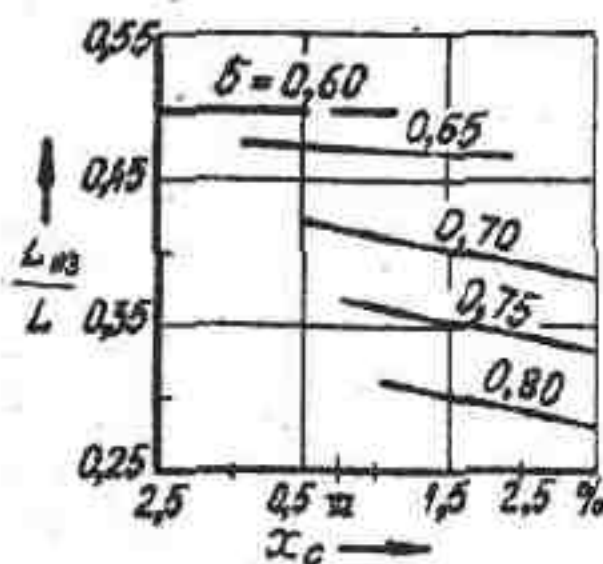


Рис. 3.7. График для определения относительной длины носового заострения моделей серии 60

Определение значений $\chi'_{нз}$ и $\chi'_{кз}$ осуществляется в функции от коэффициента продольной полноты нецилиндрической части корпуса $\chi_3' = \chi'_{нз} + \chi'_{кз}$, который, в свою очередь, находится в зависимости от χ по формулам, полученным на основе обработки статистической информации и экспериментов:

$$\chi_3' = \chi$$

$$\chi_3' = 1,375 \chi - 0,625 \chi^2$$

при $0 \leq \chi < 0,6$ для судов без цилиндрической вставки ($L_{цв} = 0$),
при $0,6 < \chi \leq 1,0$ для судов с цилиндрической вставкой.

После определения χ_3' величины $\chi'_{нз}$ и $\chi'_{кз}$ определяются по следующим формулам:

$$\left. \begin{array}{l} \chi'_{нз} = 0,96 \cdot \chi_3' \\ \chi'_{кз} = 1,03 \cdot \chi_3' \end{array} \right\}$$

при $0 \leq \chi_3' \leq 0,6$

$$\left. \begin{array}{l} \chi'_{нз} = 0,275 \chi_3' + 1,143 \chi_3'^2 \\ \chi'_{кз} = 1,516 \chi_3' - 0,858 \chi_3'^2 \end{array} \right\}$$

при $0,6 < \chi_3' \leq 0,75$.

При этом в зависимости от полученных коэффициентов продольной полноты длины носового и кормового заострений выражается как:

$$(L_{n3} + L_{k3}) = \frac{1 - \gamma}{1 - \gamma'_3} \cdot L ;$$

$$L_{n3} = \frac{1 - \frac{\gamma'_{k3}}{\gamma'_3}}{\frac{\gamma'_{n3}}{\gamma} - \frac{\gamma'_{k3}}{\gamma'_3}} \quad (L_{n3} + L_{k3}) = \frac{1 - \frac{\gamma'_{k3}}{\gamma'_3}}{\frac{\gamma'_{n3}}{\gamma} - \frac{\gamma'_{k3}}{\gamma'_3}} \cdot \frac{1 - \gamma}{1 - \gamma'_3} \cdot L ;$$

$$L_{k3} = \frac{1 - \gamma}{1 - \gamma'_3} \cdot L - L_{n3}.$$

Абсцисса центра величины χ_c в зависимости от полученных по данной методике значений коэффициентов продольной полноты γ'_{n3} и γ'_{k3} и длин носового и кормового заострений L_{n3} и L_{k3} вычисляется исходя из геометрии строевой по штангоутам по формуле:

$$\chi_c = \frac{\gamma'_{n3} x_{cn3} + \gamma'_{k3} x_{ck3} + 0.5 L_{n3} \left(\frac{L_{n3} + 2L_{k3}}{L} - 1 \right)}{\gamma},$$

где x_{cn3} , x_{ck3} – абсциссы центра величины, соответственно объемов носового и кормового заострения; $L_{n3} = (L - L_{k3} - L_{n3})$ – длина цилиндрической вставки.

Абсциссы центра величины носового и кормового заострений определяются по формулам:

$$\begin{aligned} x_{cn3} &= \frac{L}{2} - \gamma_n L_{n3}; \\ x_{ck3} &= \frac{L}{2} - \gamma_k L_{k3}, \end{aligned} \quad (3.6)$$

где коэффициенты γ_n и γ_k с достаточной точностью для обычных заостренных обводов можно определить по графику (рис. 3.8), полученному по стандартным моделям серии 60, в зависимости от γ'_{n3} и γ'_{k3} .

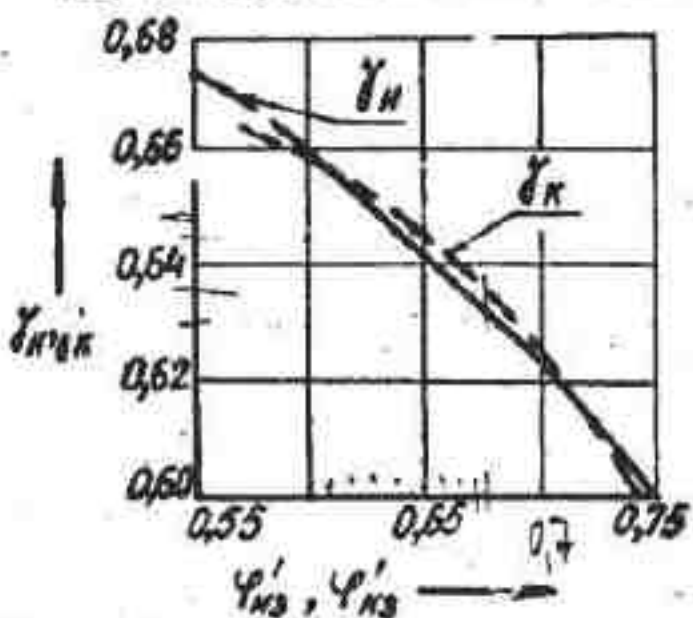


Рис. 3.8. Зависимости для определения коэффициентов γ_H и γ_K в функции коэффициентов продольной полноты (χ_{H3} и χ_{K3})

шпангоутам (рис. 3.10), который заключается в построении вспомогательных трапеций с одновременным определением положения шпангоута наибольшего сечения /10, 6/.

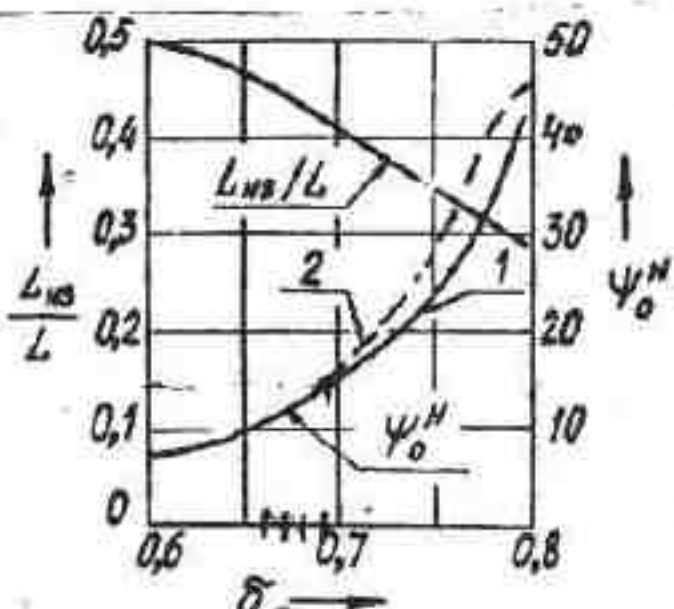


Рис. 3.9. Зависимости относительной длины носового заострения L_{H3}/L и половины угла носового заострения ГВЛ (ψ_0^H) для моделей серии 60 от коэффициента продольной полноты:
1 - для носовых обводов с U- и U-V-образными шпангоутами; 2 - для носо-

Результаты вычислений длин L_{H3} и L_{K3} могут быть сверены со стандартными значениями моделей серии 60, (рис. 3.6, 3.7 и 3.9), а значение абсолютной высоты центра величины X_c - по графикам (см. приложение, рис. П.7, П.9)

Для среднескоростных и быстрокородных судов без цилиндрической вставки, для которых характерно значительное отставание шпангоута наибольшего сечения в корму от мидель-шпангоута, удобнее использовать прием построения строевозной по

для корпусов судов с санеобразными кормовыми и заостренными носовыми обводами (см. табл. I.1 и I.2), у которых коэффициент полноты клинообразной грузовой ватерлинии при $B_{tr} \rightarrow B$, как правило, $\alpha \geq 0,75$, происходит перераспределение подводного объема в корму по сравнению с обычными заостренными в оконечностях обводами. Поэтому пользоваться формулами (3.1) для определения γ_H и γ_K можно только при значениях относительной высоты центра величины, полученных для корпусов именно этого типа. При этом значение коэффициента

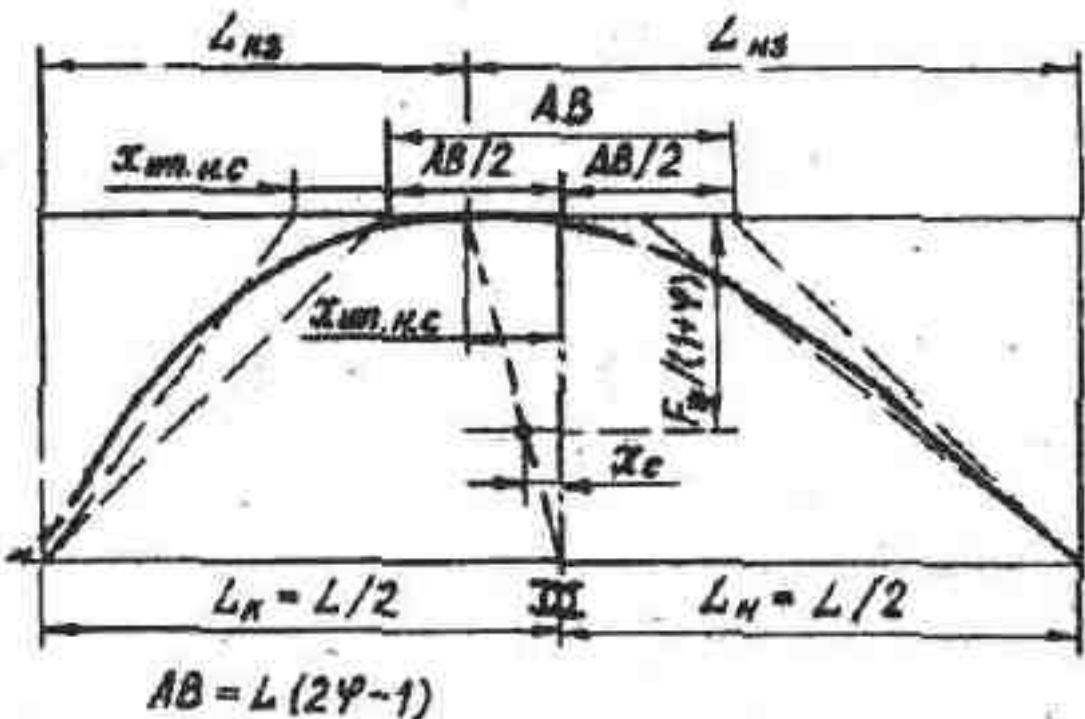


Рис. 3.10. Схема построения строевой по шпангоутам для корпусов без цилиндрической вставки

при X_c в формах (3.1) следует принимать равным 3,21.

Особенностью разработки теоретического чертежа корпусов с санеобразными кормовыми обводами является проектирование кормового скоса, в соответствии с параметрами которого строится кормовая ветвь строевой по шпангоутам.

Основными параметрами плоского кормового скоса (рис. 3.11) являются его боковая площадь (S_{ck}), форма линии скоса (диаметры), угол наклона (Ψ_{ck}), а также заглубление транца (A_{tr}).

Площадь кормового скоса можно с достаточной точностью определять по формуле

$$S_{ck} = \frac{\beta L T (1 - \Psi_{ck})}{2},$$

где Ψ_{ck} — коэффициент полноты кормовой части корпуса.

Форма линии скоса может быть прямой, S — образной или выпуклой в зависимости от значений L/T и Ψ_{ck} . Для судов, не имеющих существенного ограничения осадки, угол кормового скоса Ψ_{ck} можно определять по графику (рис. 3.12) в зависимости от числа Фруда и соотношения L/T .

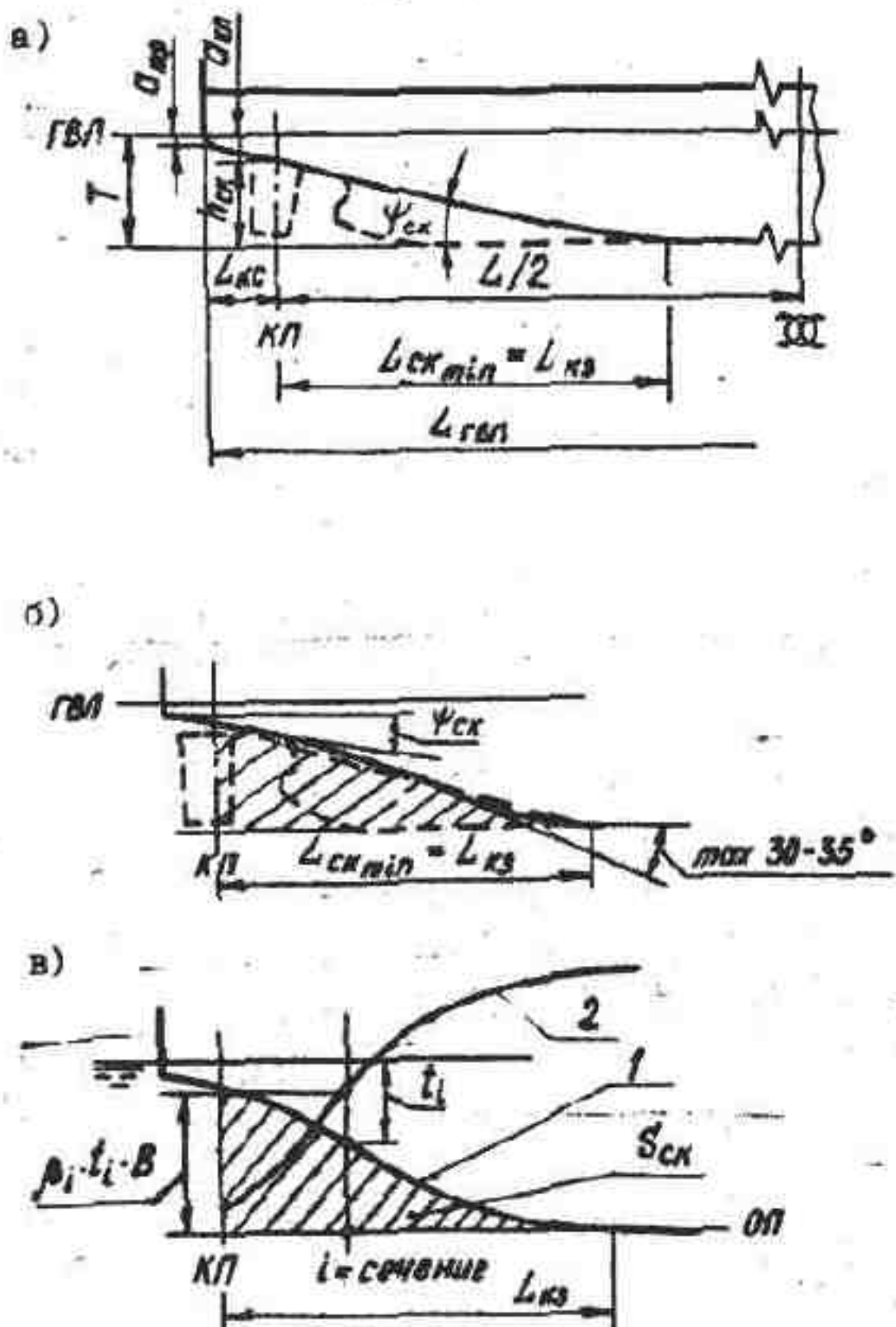


Рис. 3.II. Параметры плоского кормового скоса санеобразных обводов корпуса: а - с прямой линией скоса; б - с S - образной линией скоса; в - построение кормовой ветви строевой по шлангоутам по линии скоса; I - линия скоса; 2 - кормовая ветвь строевой

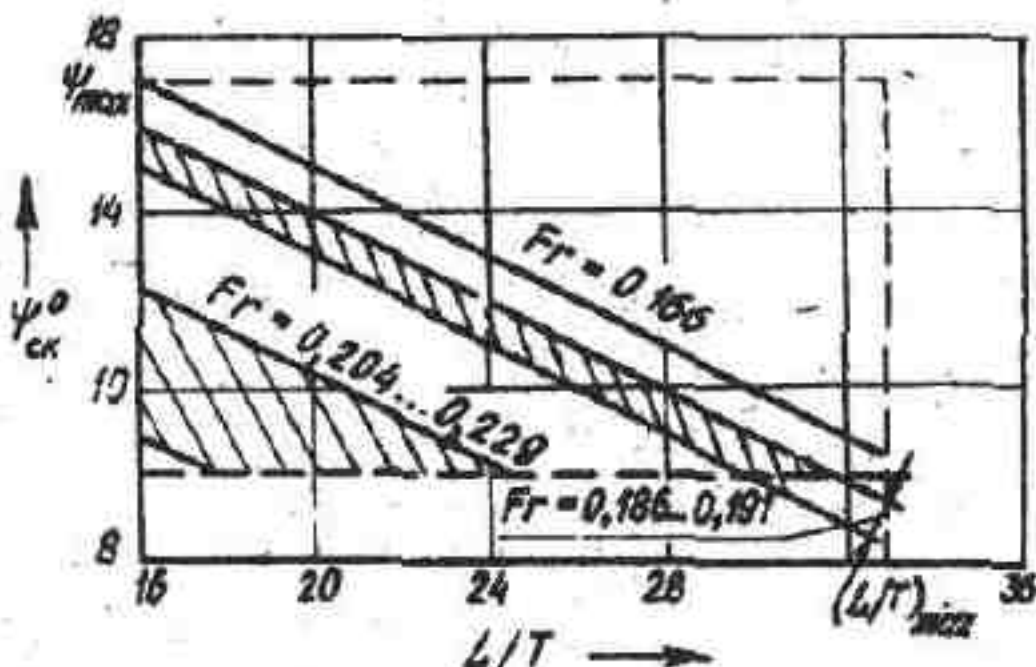


Рис. 3.12. Зависимость угла наклона кормового скоса (ψ_0^{sk}) от соотношения L/T и числа Фруда (Fr).

Заглубление транца a_{tr} можно в первом приближении принять, основываясь на статистических данных, равным $a_{tr} = 0.01 \cdot T$, где T – осадка судна в грузу. Однако величина a_{tr} оказывает влияние на буксировочное сопротивление корпуса, поэтому для более корректного определения заглубления транца можно воспользоваться рекомендациями /3/.

Для судов, имеющих возвышение грузовой палубы над ГВЛ $F_m \geq 0.5$ м, a_{tr} можно определять по формуле

$$a_{tr} = 1.1 \beta T \bar{S}_{mp},$$

где $\bar{S}_{mp} = S_{mp}/S_{\infty}$ – относительная площадь погруженной части транца, которую приближенно можно найти в зависимости от числа Фруда по формуле:

$$\bar{S}_{mp} = 0.123 (Fr - 0.19) \quad \text{при } 0.36 > Fr > 0.19.$$

Для судов с $Fr < 0.19$ заглубление траяда можно принимать равным нулю. При этом минимальная длина кормового скоса, которая является длиной кормового заострения (L_{sk}), составит

$$L_{sk \min} = \frac{2 \cdot S_{sk}}{T - a_{sk}},$$

где $a_{\text{пп}}$ - заглубление корпуса на уровне кормового перпендикуляра (см. рис. 3.II), которое через $\Psi_{\text{ск}}$, $a_{\text{тр}}$ и длину кормового свеса $L_{\text{кв}} = L_{\text{раб}} - L$ определяется по формуле

$$a_{\text{пп}} = a_{\text{тр}} + \operatorname{tg} \Psi_{\text{ск}} : L_{\text{кв}} .$$

Длину кормового свеса для рассматриваемых корпусов можно принимать в среднем $L_{\text{кв}} = 0,036 \cdot L$.

Линия кормового скоса по полученным параметрам строится как показано на рис. 3.II. При построении S - образной линии кормового скоса угол скоса ($\Psi_{\text{ск}}$) в любом случае должен соблюдаться в районе кормового перпендикуляра (корпуса гребного винта), а угол наклона касательной в любой точке кривой к основной плоскости не должен приниматься более $30 - 35^\circ$ во избежание интенсивного вихреобразования.

При автоматизированном проектировании судна в случае использования прямой линии кормового скоса можно достаточно точно определять $\Psi_{\text{к}}$ в зависимости от его параметров

$$\Psi_{\text{к}} = 1 - \frac{(T - a_{\text{пп}})^2}{L T \beta \operatorname{tg} \Psi_{\text{ск}}} = 1 - \frac{(T - a_{\text{тр}} - \operatorname{tg} \Psi_{\text{ск}} L_{\text{кв}})^2}{\beta L T \operatorname{tg} \Psi_{\text{ск}}} .$$

После определения таким образом $\Psi_{\text{к}}$ коэффициент продольной полноты массовой части корпуса ($\Psi_{\text{н}}$) определяется как $\Psi_{\text{н}} = 2\Psi - \Psi_{\text{к}}$, где коэффициент продольной полноты Ψ для корпусов рассматриваемого типа можно определять как по специальным графикам, так и по зависимостям, применяемым для проектирования обычных обводов.

Минимальная длина кормового заострения и соответствующий ей коэффициент продольной полноты оцениваются по следующим приближенным формулам:

$$L_{\text{кз}} \approx \frac{T - \operatorname{tg} \Psi_{\text{ск}} L_{\text{ск}}}{\operatorname{tg} \Psi_{\text{ск}}} ;$$

$$\Psi_{\text{ск}} \approx 1 - \frac{(T - a_{\text{тр}} - \operatorname{tg} \Psi_{\text{ск}} L_{\text{кв}})^2}{2 \operatorname{tg} \Psi_{\text{ск}} \beta L_{\text{кз}} T} .$$

При известных значениях L_{n3} и Υ_{n3} , которые определяются как для обычных корпусов, абсцисса центра величины определяется по формуле:

$$x_c = \frac{L_{n3} \Upsilon_{n3} x_{c_{n3}} + L_{k3} \Upsilon_{k3} x_{c_{k3}} + L_{k3} \left(\frac{L_{n3} - L}{2} + L_{k3} \right)}{4 \cdot L}, \quad (3.7)$$

где абсциссы центра величины объемов носового и кормового заострений $x_{c_{n3}}$ и $x_{c_{k3}}$ можно определять по формулам (3.6).

После определения x_c по (3.7), ее значение необходимо во избежание случайных ошибок проверить по графикам (см. приложение, рис П.7, П.9).

Общая длина цилиндрической вставки для корпусов с заостренными носовыми и санеобразными кормовыми обводами, как правило, несколько больше, чем у обычных корпусов за счет кормовой части (L_{k3}^*) цилиндрической вставки.

Для корпусов судов с цилиндрическими носовыми обводами, по сравнению с заостренными, происходит перераспределение подводного объема в нос (при одинаковых кормовых обводах). При этом пользоваться для определения Υ_n и Υ_k формулами (3.1) можно, если есть достоверная информация о расположении центра величины и значениях вспомогательного коэффициента для таких корпусов. В противном случае целесообразно определять непосредственно коэффициент продольной полноты носовой части корпуса (Υ_n), имея предварительно построенную носовую часть ГНЛ:

$$\Upsilon_n = \frac{\left(\frac{L}{2} - L_{n3} \right) B VT + S_{n3}^{ba} T \cdot K}{\frac{L}{2} B T},$$

где L_{n3} — длина носового заострения корпуса; S_{n3}^{ba} — площадь ГНЛ в районе носового заострения; K — коэффициент, учитывающий скругление обводов в районе скулы, который в первом приближении можно принимать в диапазоне 0,93...0,97.

Радиус скругления цилиндрических обводов в районе скулы (R_{ek}) для судов с большим отношением радиуса цилиндра к ширине (R_u / B) значительно увеличивается по мере прибли-

жения к носовому перпендикуляру. Поэтому значения коэффициента K в этом случае необходимо принимать по нижнему пределу указанного диапазона.

Площадь ГВЛ в районе носового заострения для круговых носовых обводов с радиусом R_k , может быть вычислена аналитически (см. приложение, рис. П.5). В общем случае выражение для определения S_{n3}^{ba} может быть представлено в виде

$$S_{n3}^{ba} = K_{ba} \left[\frac{(L_{n3} - R_k)(2R_k + B) + \pi R_k^2}{2} \right], \quad (3.8)$$

где $K_{ba} > 1$ – коэффициент, учитывающий скругление водородин у начала цилиндрической вставки, который ориентировочно можно определять по средней зависимости (см. приложение, рис. П.6).

Для других цилиндрических обводов, где в качестве образующих цилиндрической поверхности используются более сложные кривые (параболы и пр.), площадь S_{n3}^{ba} проще вычислять приближенными способами интегрирования по ординатам ГВЛ.

Коэффициент продольной полноты кормовой части корпуса (φ_k) при известном значении φ_n определяется как:

$$\varphi_k = 2\varphi - \varphi_n,$$

где φ – коэффициент продольной полноты для обычных корпусов повышенной полноты (с заостренными обводами в оконечностях) или корпусов рассматриваемого типа.

Коэффициент продольной полноты носового заострения в случае необходимости определяется по формуле:

$$\varphi_{n3} = \frac{S_{n3}^{ba} \cdot K}{L_{n3} \cdot B}.$$

Для корпусов с цилиндрическими носовыми обводами длина носовой части цилиндрической вставки корпуса L_{n3} может быть выбрана больше, чем для обычных корпусов, что будет определяться формой носового цилиндра и его относительными размерами.

После построения строевой по шпангоутам в случае определения φ_n по форме носовой части ГВЛ, строевую целесообразно проверить на положение центра валичии по графикам (см. приложение табл. Г.91) по изображению геометрических линий.

В случае проектирования формы корпуса с сочетанием носовых цилиндрических и кормовых сакеобразных обводов и при отсутствии информации о коэффициентах продольной полноты для таких корпусов, необходимо формировать корпус путем отдельного проектирования его носовой и кормовой частей, используя вышеприведенную методику. При этом общий коэффициент продольной полноты корпуса будет получаться как $\chi = (\chi_n + \chi_k)/2$.

Форма носовой и кормовой ветвей строевой по шпангоутам определяется, в первую очередь, выбранной формой обводов корпуса и, во вторую очередь, зависит от числа Фруда. Кроме того, при построении строевой необходимо учитывать возможное наличие в носу бульбовых наделок и тип кормовой оконечности корпуса (тип кормы).

Накопленный опыт проектирования судов позволяет представить следующие рекомендации по выбору формы строевой в носу. Для корпусов с цилиндрическим носом носовая ветвь строевой по шпангоутам делается слегка выпуклой (рис. 3.13, б) при $0,18 < Fr \leq 0,20$ и явно выпуклой (рис. 3.13, а) при $Fr \leq 0,18$. Для корпусов с санеобразными носовыми обводами она близка к прямой (рис. 3.13, в), а для корпусов с ложкообразным носом — слегка выпуклая (рис. 3.13, б). Для корпусов с заостренно-ложкообразными носовыми обводами носовую ветвь строевой следует принимать явно вогнутой (S — образной) (рис. 3.13, д).

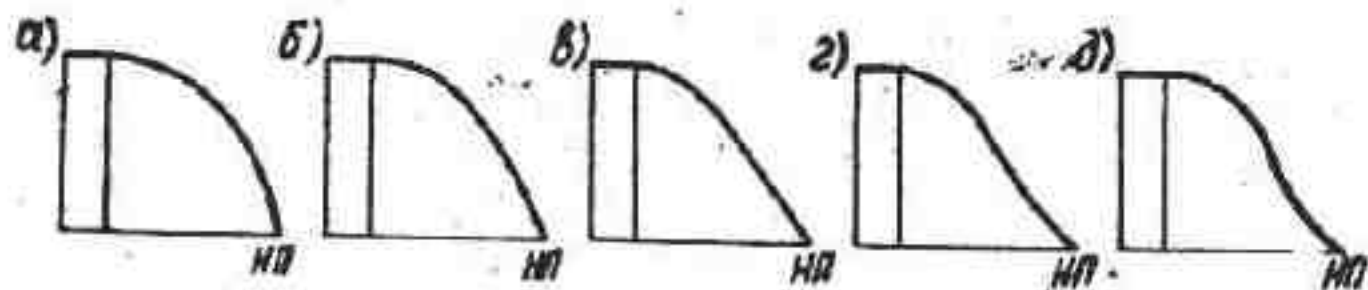


Рис. 3.13. Возможные формы ветвей строевой по шпангоутам:
а — явно выпуклая; б — слегка выпуклая; в — прямая; г — слегка вогнутая; д — явно вогнутая

Для обычных корпусов с заостренными носовыми обводами, для которых характерно широкое изменение числа Фруда, форма строевой в носу может быть выбрана согласно следующим рекомендациям /1, 2, 7/:

- при $F_r < 0,22$ - прямая (рис. 3.13,в);
 при $0,22 < F_r < 0,28$ - явно вогнутая (S -образная (рис. 3.13,д));
 при $F_r > 0,28$ - слегка вогнутая (рис. 3.13,г).

Для корпусов с носовыми бульбовыми наделками при построении строевой по шпангоутам на нулевом шпангоуте, соответствующем носовому перпендикуляру, откладывается площадь бульба S_b (см. рис. 2.2). При известном дополнительном выдвижге бульба относительно носового перпендикуляра L_b (см. рис. 2.1) носовая ветвь строевой строится преобразованием ветви, построенной без учета бульба, как показано на рис. 3.14. При этом в выравнивании площадей строевой площадь ее V_b перед носовым перпендикуляром, как правило, не учитывается и идет в запас объемного во-оизмещения V .

Как видно из рис. 3.14, наличие бульбовой наделки придает носовой ветви строевой выпуклость (двойную S -образность).

По выбору формы строевой по шпангоутам в корме можно привести следующие рекомендации.

Для корпусов с заостренными или заостренно-усечеными кормовыми обводами при V -образных или овальных (ложкообразных) шпангоутах (см. табл. I.2) кормовая ветвь строевой по шпангоутам делается слегка выпуклой (см. рис. 3.13,б).

Для корпусов с заостренными или заостренно-усечеными обводами при U -образных шпангоутах или санеобразных обводами, как правило, близка к прямой (см. рис. 3.13,в) или слегка вогнутая (см. рис. 3.13, г). При этом особенностью для санеобразных обводов является то, что, в общем случае, форма кормовой ветви строевой по шпангоутам полностью определяется формой линии скоса и строится как показано на рис. 3.11,б.

Коэффициенты полноты шпангоутов i -го сечения (β_i) в районе плоского кормового скоса можно определять при условии постоянного радиуса скругления скулы R_{ek}^* по формуле

$$\beta_i = i - \frac{R_{ek}^{*2}}{2,32 \pi t_i} \quad \text{при } t_i \geq R_{ek}^{*}$$

Для корпусов с тоннельными и заостренными или заостренно-уточченными обводами при $U - V$ -образных шпангоутах используются только вогнутые (см. рис. 3.13, г, д) ветви строевой.

При построении кормовой ветви строевой по шпангоутам для кормы эллиптического типа (см. табл. 2.4) на уровне кормового перпендикуляра (20-го теоретического шпангоута) площадь шпангоута принимается равной нулю, тогда как для остальных типов кормы – откладывается площадь 20-го шпангоута S_{20} (рис. 3.15), которая в общем случае зависит от типа кормы, ширины ГВЛ на уровне кормового перпендикуляра (B_{kp}) и соотношения диаметра гребного винта к осадке (D_f/T) для одновальных судов.

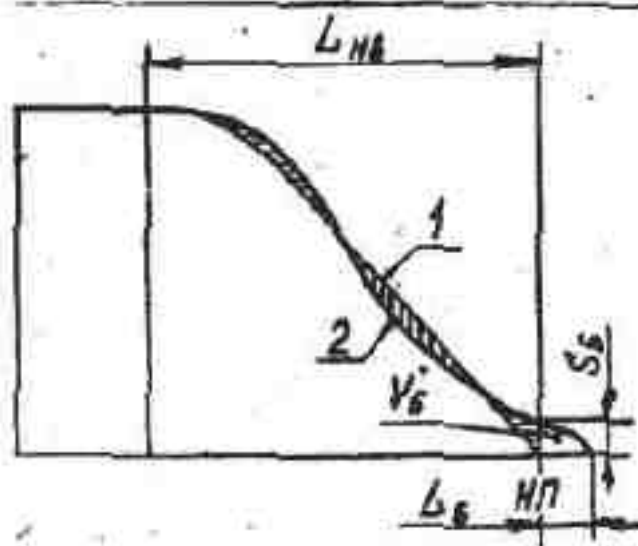


Рис. 3.14. Перестроение носовой ветви строевой по шпангоутам с учетом наличия бульба с параметрами S_b и L_b : 1 – без бульба; 2 – с учетом бульба

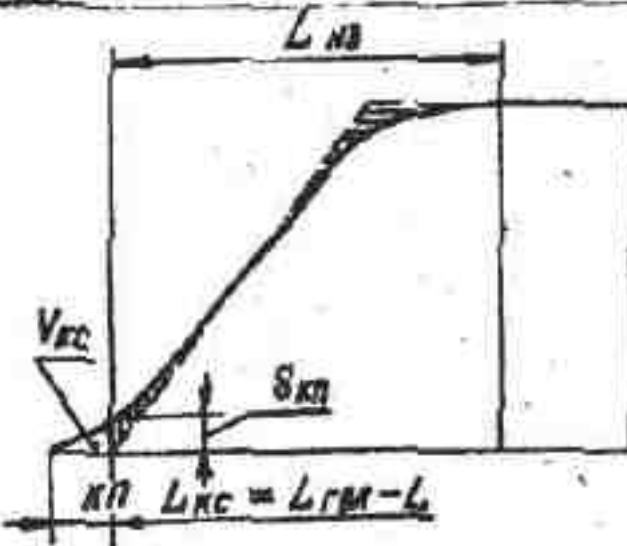


Рис. 3.15. Перестроение кормовой ветви строевой по шпангоутам с учетом наличия кормового свеса

Для корпусов с крейсерской и трапециевидной кормой строить кормовую ветвь строевой по шпангоутам можно двумя путями: либо сначала без учета площади 20-го шпангоута, а потом ее перестраивать; либо сразу вести ветвь с учетом S_{20} , выравнивая площади, отсекаемые ею от площадей принятых вспомогательных многоугольников (см. рис. 3.15). Площадь кормового свеса (V_{kp}) при выравнивании площадей, как правило, не учитывается и идет в запас объемного водонизмещения.

При известных ширине ГВЛ на уровне кормового перпендикуляра (B_{kp}) – потому заполнении корпуса в этом районе (T_{kp}) –

(см. рис. 2.3,а), определяемом при проектировании формы ахтерштевня с учетом выбранного винто-рулевого комплекса, площадь 20-го шпангоута можно ориентировочно определить по формуле:

$$S_{kl} = K_S \frac{B_{kl} T_{kl}}{2},$$

где $K_S = 1,0 - 1,1$.

Для скошенной трапециевидной кормы санеобразными обводами (см. табл. 2.4) площадь 20-го теоретического шпангоута можно приближенно определить по формуле

$$S_{kl} \approx 0,9 B_{kl} \cdot a_{tr}.$$

где a_{tr} — заглубление транца (см. рис. 3.11).

Длину кормового свеса (L_{kc}), равную разности длин по ГВЛ и между перпендикулярами (см. рис. 3.15), если нет дополнительных условий, можно в первом приближении принимать:

$L_{kc} = 0,035 \cdot L$ с учетом расположения винто-рулевого комплекса судна.

После предварительного построения строевой по шпангоутам обязательно производится ее проверка на объемное водоизмещение (V) и абсциссу центра величины (X_c) путем приближенного интегрирования по ординатам. В случае существования разницы в значениях этих характеристик, что особенно вероятно для X_c , необходимо корректировать смещение цетра тяжести фигуры строевой за счет, во-первых, изменения кривизны ее носовых и кормовых ветвей (если это возможно) и, во-вторых, за счет изменения длины и положения цилиндрической вставки.

3.2. Разворотка грузовой ватерлинии

Грузовая ватерлиния в целом проектируется аналогично строевой по шпангоутам.

Для непосредственного построения грузовой ватерлинии обычно используют следующие исходные данные:

- 1) коэффициент полноты ГВЛ (α);
- 2) длину цилиндрической вставки ($L_{цв}$) и ее положение по длине сучна, либо положение шпангоута наибольшего сечения для судов без цилиндрической вставки;
- 3) форму носовой и кормовой ветвей ГВЛ;
- 4) углы заострения ГВЛ в окончностях (Ψ_0) для заостренных ватерлиний.

Для обычных заостренных с обеих сторон ватерлиний построение ГВЛ ведется по схеме (см. рис. 3.3), для которой:

$$x_n = (2\alpha_n - 1)L_n; \quad x_k = (2\alpha_k - 1)L_k;$$

$$x_{n1} = \alpha_n \cdot L_n; \quad x_{k1} = \alpha_k \cdot L_k,$$

где α_n и α_k – коэффициенты полноты носовой и кормовой частей ГВЛ относительно мидель-шпангоута, определение которых обычно начинают с α_n , после чего коэффициент полноты кормовой части ГВЛ при $L_n = L_k = L/2$ находится как $\alpha_k = 2\alpha - \alpha_n$.

Коэффициент полноты носовой части заостренной ГВЛ (α_n) можно определять по следующим формулам /1, 2/:

1) А. Л. Богданова

$$\alpha_n = 0,75 \Psi_n + 0,23 \pm 0,03, \quad (3.9)$$

где Ψ_n – коэффициент продольной полноты носовой части корпуса:

$$2) \quad \alpha_n = 1,7 \alpha - 0,6 \pm 0,03 \quad \text{при } \alpha = 0,70 - 0,87;$$

3) Лидделя

$$\alpha_n = \alpha_n \cdot \Psi^{2/3},$$

где $\alpha_n = 0,900 - 0,975$ (по моделям серии 60).

Дополнительно можно рекомендовать α_n для малых значений коэффициента полноты ГВЛ $0,5 \leq \alpha \leq 0,6$ /2/

$$\alpha_n = 0,63 \pm 0,03.$$

Прямых рекомендаций по выбору длии носового и кормового заострений ГВЛ (L_{n1} и L_{k1}) нет, однако он обычно производится непосредственно при построении ГВЛ с учетом длины носо-

вой и кормовой частей цилиндрической вставки корпуса, формы ветвей и углов заострения грузовой ватерлинии в оконечности.

Для общих заостренных обводов можно предложить следующие формы носовой ветви ГВЛ (рис. 3.16) /1, 2, 7/:

- при $Fr \leq 0,16$ - выпуклые;
- при $0,16 < Fr < 0,19$ - прямые;
- при $0,19 < Fr < 0,22$ - прямые или выпуклые;
- при $0,22 \leq Fr < 0,32$ - слегка вогнутые;
- при $Fr > 0,32$ - прямые.

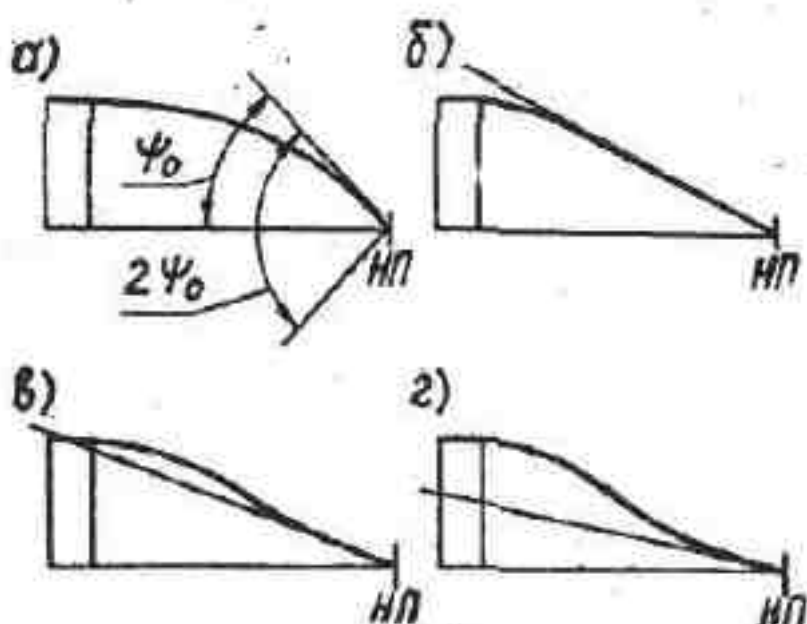


Рис. 3.16. Возможные формы ветвей грузовой ватерлинии: а - выпуклый; б - прямая; в - слегка вогнутая; г - вогнутая

Для заостренно-ложкообразных носовых обводов используется вогнутая форма носовой ветви ГВЛ, для ложкообразных обводов - выпукло-закрученная форма ГВЛ, близкая к параболе, а для цилиндрических обводов - прямая закрученная или выпукло-закрученная в зависимости от формы образующей цилиндрической поверхности (см. табл. I.1 и рис. I.2, а).

Форму кормовой ветви заостренной ГВЛ рекомендуется выбирать выпуклой или прямой (см. рис. 3.16, а, б). Любая δ - об разность, характерная для вогнутых ватерлиний, не желательна для кормовой части ГВЛ ввиду значительного возрастания вихревого сопротивления корпуса.

Углы заострений ГВЛ в оконечностях оказывают большое влияние на буксировочное сопротивление корпуса с заостренными в оконечностях обводами. Поэтому при проектировании ГВЛ особенное внимание следует уделять определению угла носового заострения Ψ_0 , который рассматривается обычно половинным (см. рис. 3.16, а) и определяется в зависимости от коэффициентов общей полноты (δ) и продольной полноты носовой части корпуса (Ψ_N).

В первом приближении Ψ_0'' можно определять по графикам (см. рис. 3.9, 3.17) в зависимости от δ и в зависимости от Ψ_H (рис. 3.18), а также по табл. 3.1 /1.6/.

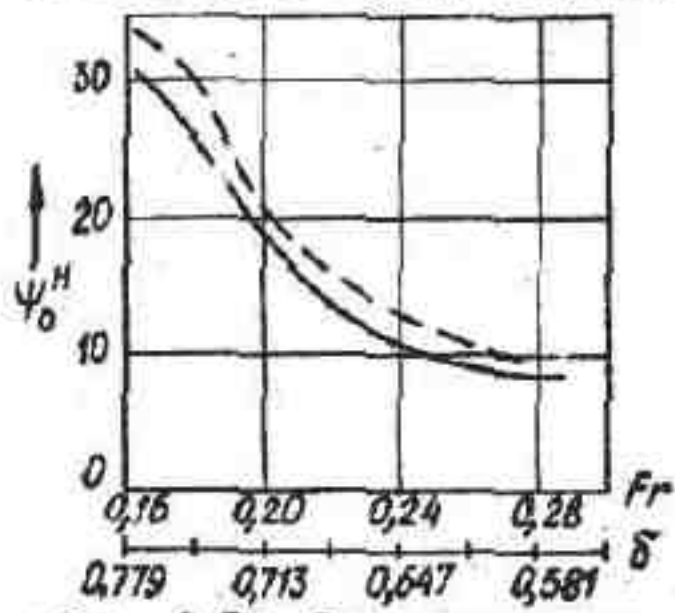


Рис. 3.17. Зависимости для определения угла носового заострения ГВЛ (Ψ_0'') в функции Fr и δ : — по формуле Трасса-Лапа; - - - по Вагенингенского бассейну

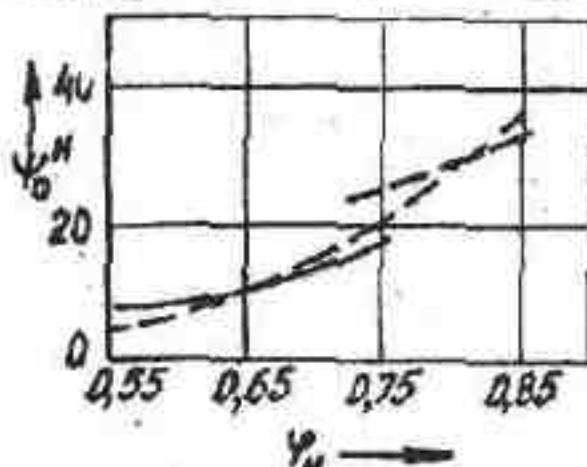


Рис. 3.18. Зависимости для определения угла носового заострения ГВЛ (Ψ_0'') в функции коэффициента продольной полноты носовой части корпуса (Ψ_H): — по формуле Трасса-Лапа $\Psi_0'' = 63,5 - 25\Psi_H(1 - \Psi_H)$; - - - по Вагенингенского бассейну;

Данные рекомендации справедливы, главным образом, для носовых заостренных обводов с U - или V -образными шлагоутами. Применение V -образных шлагоутов позволяет несколько увеличить углы заострения ГВЛ в носу ввиду отвода части набегающего потока на обтекание по бортикам. В первом приближении верхний предел углов заострения (Ψ_0'') для таких обводов можно оценивать по графику (см. рис. 3.9, штриховая линия) в зависимости от δ .

Таблица 3.1

Значения углов носового заострения ГВЛ

Коэффициент общей полноты δ	Угол носового заострения Ψ_0'' , град.
0,60	8
0,65	9
0,70	13
0,75	22
0,80	36

В случае использования ложкообразных носовых обводов угол носового заострения ГВЛ может быть увеличен практически до 90° (как у цилиндрических носовых обводов) (см. табл. I.1).

При выборе угла Ψ_0^* для среднескоростных и быстроходных судов, имеющих острые носовые обводы, необходимо учитывать его минимальный уровень, регламентируемый технологическими требованиями. По опыту проектирования судов и кораблей угол Ψ_0^* не рекомендуется принимать менее $7 - 8^\circ$.

Угол заострения кормовой ветви ГВЛ (Ψ_0^*) регламентируется для заостренных (или в некоторых случаях заостренно-усеченных) кормовых обводов с крейсерской или эллиптической кормой (см. табл. I.2 и 2.4), причем принимается верхний предел этого угла.

Для кормовых обводов с U -образными шпангоутами максимальный угол заострения Ψ_0^* желательно принимать не более $20 - 25^\circ$, с $U-V-$ и V -образными шпангоутами $25 - 30^\circ$ и с овальными шпангоутами порядка 50° .

Методически построение носовой ветви ГВЛ при известных форме ветви, угле Ψ_0^* и длине носового заострения корпуса (L_{n3}) необходимо производить в следующей последовательности:

1) построить вспомогательные четырехугольники АКСЕ и АМСЕ с коэффициентом полноты $\alpha_{\text{ж}}$ и прямую из точки А носового перпендикуляра под углом Ψ_0^* к ДП, касательную к будущей ветви ГВЛ (рис. 3.19);

2) провести из точки А ветвь ГВЛ заданной формы с учетом вспомогательных четырехугольников эквивалентной площади, стремясь закончить ее, не доходя до точки В (или, по крайней мере, в ней), которая соответствует длине носового заострения корпуса. При этом площадь ГВЛ, ограниченная построенной ветвью, должна быть равна площади вспомогательных четырехугольников.

При такой последовательности построения носовой ветви ГВЛ может возникнуть случай, когда при заданных форме и угле Ψ_0^* ветвь закончится за точкой В. Это будет свидетельствовать о наличии некоторых противоречий в проектировании теоретического чертежа и потребует к мнимым корректировочных решений. Самым простым таким решением можно считать

изменение формы носовой ветви ГВЛ. Если этого будет недостаточно для завершения ветви ГВЛ до точки В (возможности изменения ветви ГВЛ являются иногда весьма ограниченными) можно пойти на уменьшение длины носовой части цилиндрической вставки корпуса (L_{H3}^H) или, что одно и то же, увеличение длины его носового зонстрения. В крайнем случае, что наиболее желательно, увеличивают угол заострения ГВЛ (Ψ_0^H).

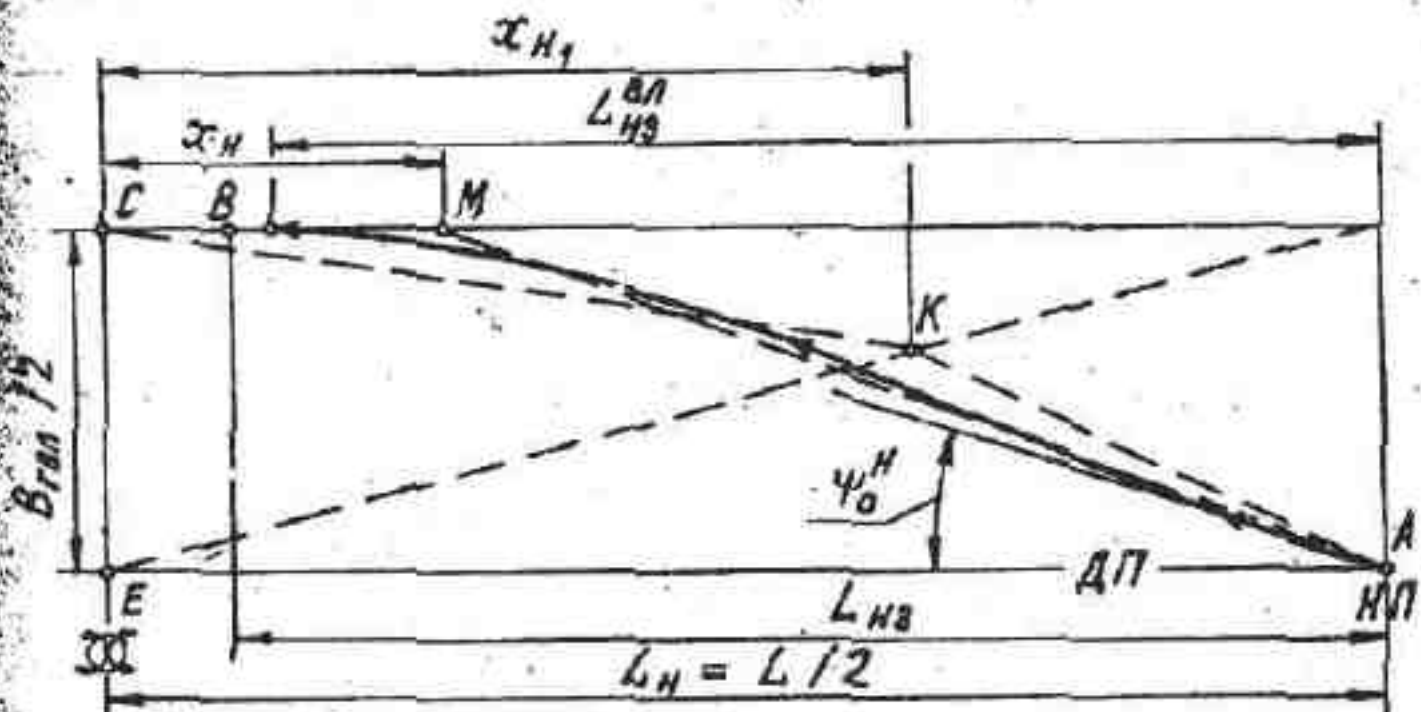


Рис. 3.19. Схема построения носовой ветви ГВЛ

При построении кормовой ветви ГВЛ максимальным углом заострения (Ψ_0^H)_{max}, как правило, задаются как исходным, но при этом необходимо иметь предварительную информацию о длине кормового свеса $L_{K3} = L_{ГВЛ} - L$ для крейсерской и транцевой корм, которая впоследствии может подвергаться проверке при проектировании руля для выбранного типа кормы.

Методически построение кормовой ветви ГВЛ при принятой системе вспомогательных четырехугольников и выбранной ее форме удобнее проводить от точки А (рис. 3.20), от которой предварительно проводится линия под максимальным углом кормового заострения (Ψ_0^H)_{max}. Ватерлиния должна вестись так, чтобы от четырехугольников КМФО и КНФО отсекались эквивалентные площади и она закончилась, не доходя точки В (либо, по крайней мере, в ней), которая соответствует началу кормового заострения корпуса L_{K3} .

При этом ширина ГВЛ на уровне кормового перпендикуляра (20-го теоретического шпангоута) (B_{kp}) получается автоматически, а площадь ГВЛ за кормовым перпендикуляром (S_{kp}) не учитывается в выравнивании площадей, так как при проектировании судна коэффициенты полноты грузовой затерлии определяются по расчетной длине между перпендикулярами L .

В связи с достаточно жесткими ограничениями максимального угла кормового заострения ГВЛ (Ψ_0^K)_{max} при полных кормовых обводах тихоходных судов (при больших значениях α_K), возможен непроизвольный переход с крейсерской кормы на крейсерско-транцевую, как это показано на рис. 3.2I, или в рамках крейсерской кормы – на лодкообразные обводы с овальными шпангоутами, позволяющими значительно увеличить Ψ_0^K (см. табл. I.2). При этом для первого случая ширина ГВЛ на уровне кормового перпендикуляра (B_{kp}) будет определять ширину транца (B_{tr}) корпуса судна.

Все приведенные рекомендации по построению ГВЛ рассмотрены применительно к обычным заостренным с обеих сторон затерлинам, соответствующим заостренным носовым и кормовым обводам (см. рис. I.2,a).

В случае использования цилиндрических носовых обводов или заостренно-усеченных и сакеобразных кормовых (или тоннельных), при которых затерлия приобретают усеченную с кормы или клинообразную форму, построение ГВЛ заметно усложняется из-за отсутствия, с одной стороны, надежных статистических зависимостей для определения коэффициентов полноты таких затерлин, и, с другой стороны, конкретных методик по их построению. В такой ситуации необходимо подобно остановиться на особенностях проектирования ГВЛ таких форм.

3.2.I. Заостренная с обеих сторон ГВЛ корпуса с цилиндрическим носом

В случае, если коэффициент полноты ГВЛ (см. рис. I.2,a) известен, можно определить вспомогательные коэффициенты α и α_n для обычной заостренной ГВЛ этого же судна, необходимые для выделения из α^K коэффициента полноты кормовой части ГВЛ (α_K).

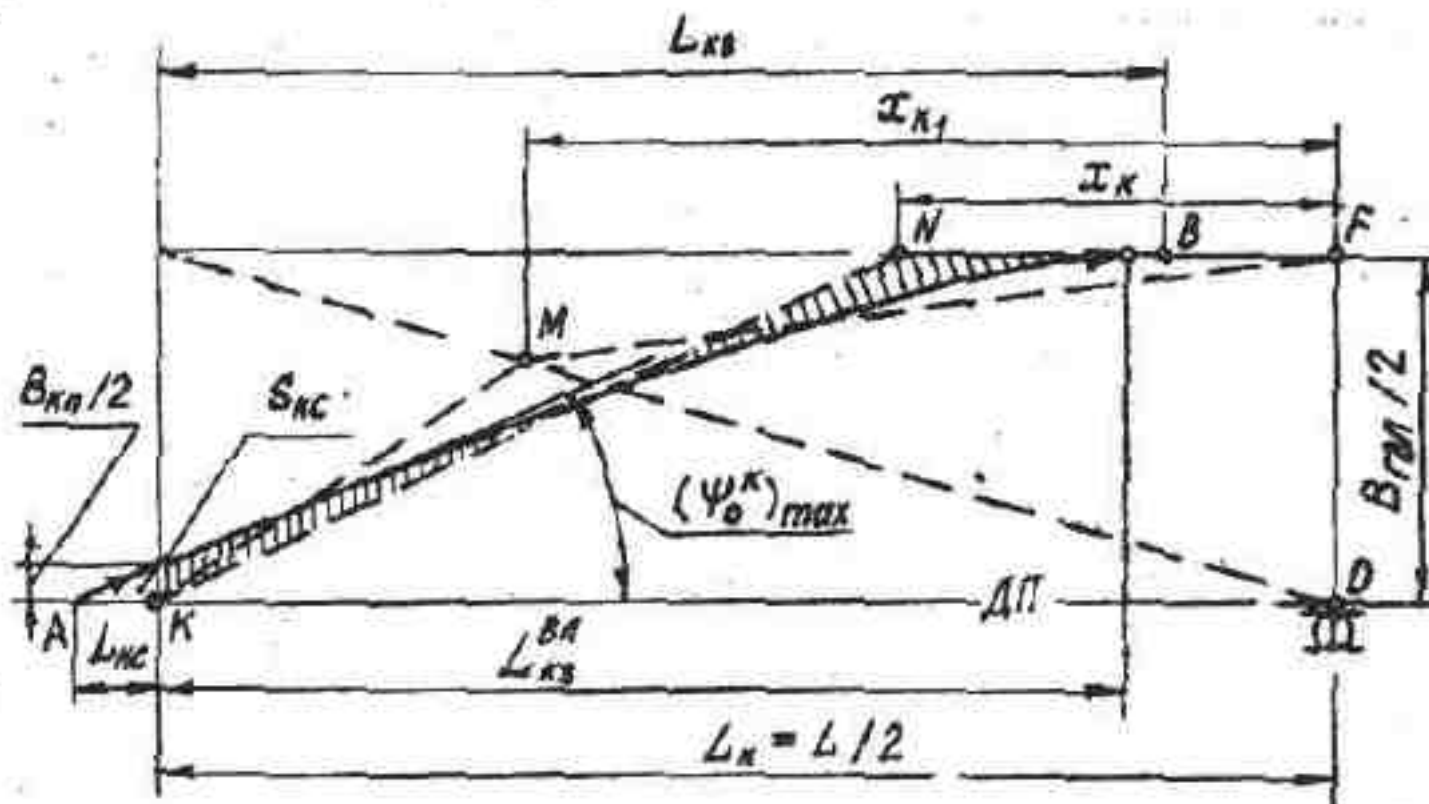


Рис. 3.20. Схема построения кормовой ветви ГВЛ для судна с крейсерской кормой

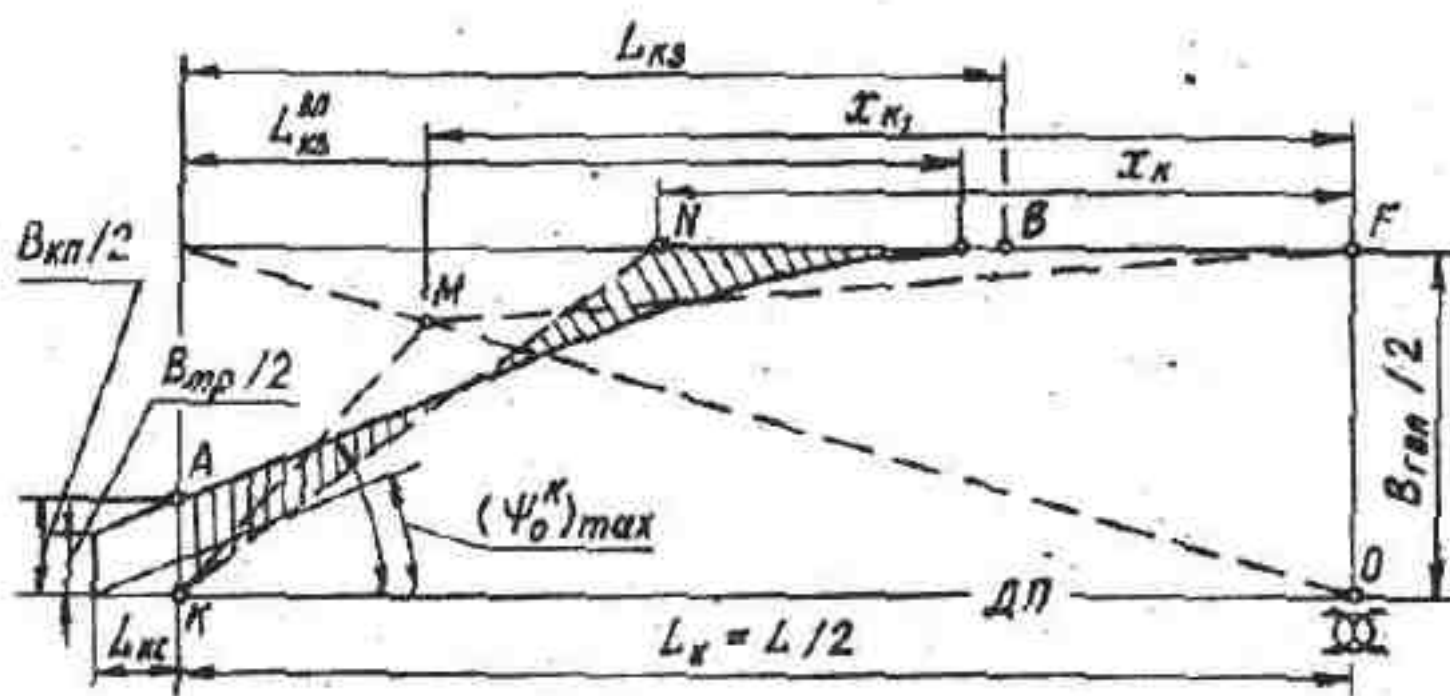


Рис. 3.21. Схема перехода при построении кормовой четверти ГВЛ с крейсерской кормы на крейсерско-транцевую при постоянном угле кормового засечения ГВЛ

После определения $\alpha_k = 2\alpha - \alpha$, получают коэффициент полноты носовой части ГВЛ

$$\alpha_n^* = 2\alpha^* - \alpha_k$$

и строят ватерлинию в обычном порядке.

В противном случае, когда α^* неизвестен, предварительно построенную заостренную ГВЛ для этого судна можно перестроить в носовой ее части по методике (см. приложение) применительно к круговым цилиндрическим обводам.

Общий коэффициент полноты цилиндрической ГВЛ определяют по формуле

$$\alpha_n = \frac{\alpha_n^* + \alpha_k}{2}$$

где коэффициент полноты носовой части ГВЛ (α_n^*) при заданной окружности R_n можно определить из уравнения (3.8):

$$\alpha_n^* = \frac{(L - 2L_{n3})B + [(L_{n3} - R_n)(2R_n + B) + K \cdot R_n^2] \cdot X_{n3}}{2L \cdot B}$$

Более точное значение коэффициента α_n^* получают интегрированием носовой части ГВЛ по ее ординатам.

После определения α^* во избежание грубых ошибок необходимо проверить его значение по графику (см. приложение, рис. П 3).

3.2.2. Усеченная с кормы ГВЛ

В случае, если коэффициент полноты ГВЛ (см. рис. I.2,б) известен, пользуются приемом выделения из α^* коэффициента полноты носовой части ГВЛ $\alpha_n = 2\alpha - \alpha_k$, где α и α_k определяются для заостренной с обеих сторон ГВЛ этого же судна. После этого определяют коэффициент полноты кормовой части $\alpha_k^* = 2\alpha^* - \alpha_n$ и строят ватерлинию в обычном порядке (см. рис. 3.21) при $X_k = (2\alpha_k^* - 1)L_k$.

Когда значение α^* неизвестно, для построения ГВЛ необходимо знать ее ширину на уровне кормового перпендикуляра или ширину трая (B_{тр}), которая определяется линией констру-

тивными особенностями (размещением каких-либо устройств на уровне ГВЛ в районе кормового перпендикуляра), либо исходя из соотношения диаметра гребного винта к осадке для одновальных судов (рис. 3.22). После этого предварительно построена звостренная ГВЛ перестраивается в кормовой ее части (см. рис. 3.21), а общий коэффициент полноты усеченной с кормы ГВЛ определяется по формуле:

$$\alpha_{yc} = \frac{\alpha_n + \alpha'_n}{2}$$

Коэффициент полноты кормовой части ватерлинии можно предварительно определить по формуле

$$\alpha'_{k}^{yc} = \frac{(\alpha - 2\alpha_{kz})B + [(B + B_{kp})L_{kz}^{ba}]K_{ba}}{LB}$$

где K_{ba} — коэффициент, учитывающий скругление ГВЛ в районе конца цилиндрической вставки ватерлинии и зависящий от соотношения B_{kp}/B , принимают в диапазоне 1,02 – 1,10.

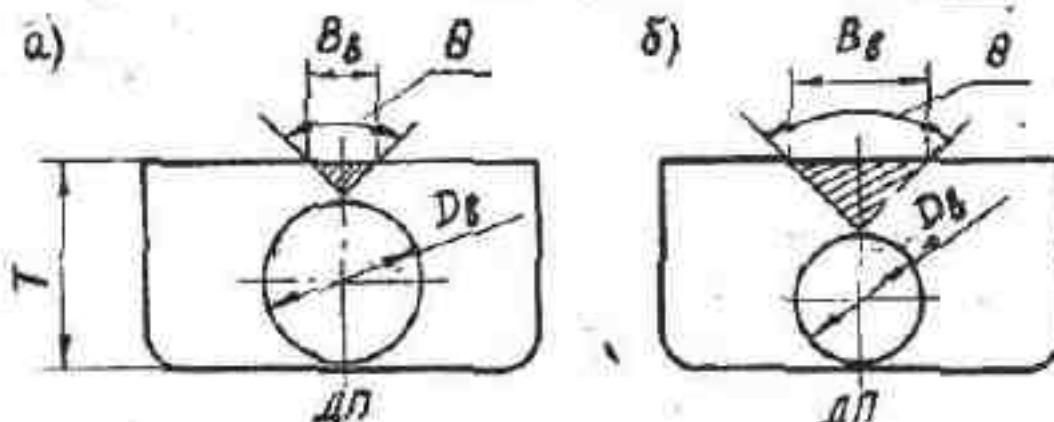


Рис. 3.22. Изменение ширины ГВЛ на уровне диска гребного винта B_g в зависимости от отношения его диаметра D_g к осадке судна T при постоянном угле килеватости шпангоута в районе диска винта θ : а – увеличенный диаметр гребного винта; б – уменьшенный диаметр гребного винта

Более точное значение коэффициента α_k^{yc} получают интегрированием кормовой части ГВЛ по ее ординатам. После определения α^{yc} необходимо проверить его значение по графику с приложением, тис. "3" по избежанию грубых ошибок.

3.2.3. Клинообразная ГВЛ при $B_{kl} = B$

Коэффициент полноты ГВЛ (см. рис. I.2,б) (α^{KA}) для транспортных судов можно получить по зависимости $\alpha = f(\Psi)$, см. приложение, рис. П 3.

Проектирование такой клинообразной ватерлинии заключается, по сути, в построении ее косовой части, коэффициент полноты которой при $\alpha_K^{KA} = 1,0$ будет равен:

$$\alpha_k^{KA} = 2\alpha^{KA} - 1,0 .$$

Если рекомендуемая зависимость для α^{KA} по каким-то причинам не подходит, коэффициент полноты носовой части можно определять по формулам (3.9) и (3.10) для обычных заостренных ватерлиний, после чего общий коэффициент полноты клинообразной ГВЛ вычисляют по формуле:

$$\alpha^{KA} = \frac{\alpha_k + 1,0}{2} .$$

В случае комбинированных ГВЛ построение ватерлиний целесообразно производить отдельным проектированием носовой и кормовой частей, при этом общий коэффициент полноты ГВЛ определяется суммированием

После предварительного построения грузовой ватерлинии обязательно производится проверка ГВЛ на заданное значение α путем: приближенного интегрирования по ординатам. В случае существования разницы в значениях коэффициентов полноты ГВЛ ее необходимо корректировать за счет, в первую очередь, изменения кривизны носовой и кормовой ветвей ватерлинии; если это возможно, и, во-вторую очередь, за счет изменения длины и положения цилиндрической вставки ГВЛ и корпуса (в последнем случае это повлечет и корректировку строевой по шпангоутам).

При построении строевой по шпангоутам и грузовой ватерлинии целесообразно производить эти виды подготовительных работ параллельно друг другу, так как на практике могут воз-

никать трудности в проектировании строевой по шпангоутам и ГВЛ. Например, при назначении площади 20-го теоретического шпангоута во время построения строевой по шпангоутам необходимо будет знать ширину ГВЛ на уровне кормового перпендикуляра (B_{kp}), которую нельзя определить, не построив кормовую часть грузовой ватерлинии.

3.3. Построение обвода мидель-шпангоута

В случае применения при проектировании судна наиболее распространенного в настоящее время обвода мидель-шпангоута (в дальнейшем просто мидель-шпангоута) с вертикальными бортами и без килеватости днища значение его коэффициента полноты (β) близко к единице и определяется в зависимости от коэффициента общей полноты (δ).

При наличии килеватости днища и раз渲а (наклона) бортов или сложных форм обводов мидель-шпангоута коэффициент полноты (β) можно определять уже исходя из задаваемых параметров формы мидель-шпангоута. Например, применительно к мидель-шпангоуту с наклонным бортом и килеватостью днища (рис. 3.23) угол наклона борта (Ψ_b) может задаваться исходя из требований к ледопропедимости судна, килеватость днища (Φ_k) — исходя из обеспечения определенных мореходных качеств; радиус скульбы (R_{sk}) может быть выбран по опыту проектирования и т. п. В такой ситуации коэффициент полноты мидель-шпангоута определяется вычислением площади мидель-шпангоута, интегрированием или суммированием площадей простых геометрических фигур.

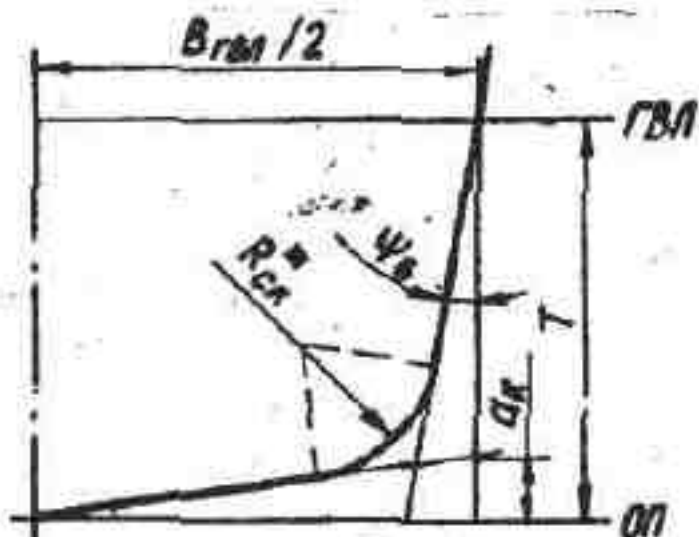


Рис. 3.23. Обвод мидель-шпангоута с килеватостью днища и раз渲ом бортов

Однако даже при сложных формах обводов мидель-шпангоута не исключено прямое назначение коэффициента β по прототипу, опыту проектирования судов определенного типа или о каким-либо

В связи с этим целесообразно рассмотреть способы построения нескольких наиболее часто используемых на судах обводов мидель-шпангоута (при заданном значении β).

3.3.1. Мидель-шпангоут без раз渲а борта и килеватости днища

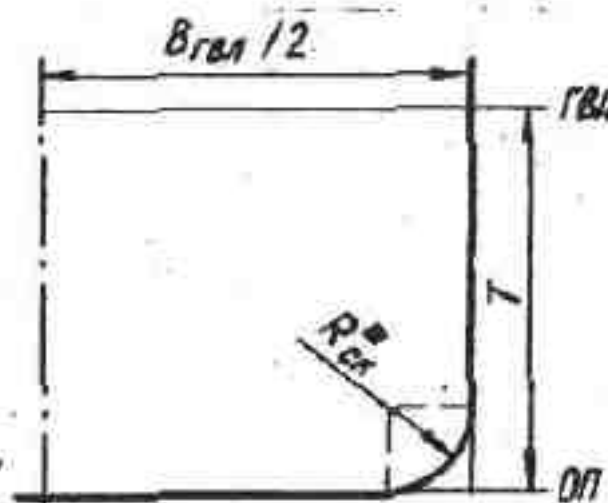


Рис. 3.24. Обвод мидель-шпангоута без килеватости днища и раз渲а бортов

Для мидель-шпангоута без раз渲а бортов и килеватости днища, присущего благодаря простоте формы большинству транспортных судов, построение его обвода заключается в определении радиуса скульы ($R_{ск}$) (рис. 3.24). Так как округление обвода мидель-шпангоута в районе скульи производится, как правило, по окружности, ее радиус при заданном β можно вычислить по формуле /1/

$$R_{ск} = \sqrt{2.32 BT(1 - \beta)}.$$

3.3.2. Мидель-шпангоут без раз渲а бортов и с килеватостью днища Δ_k

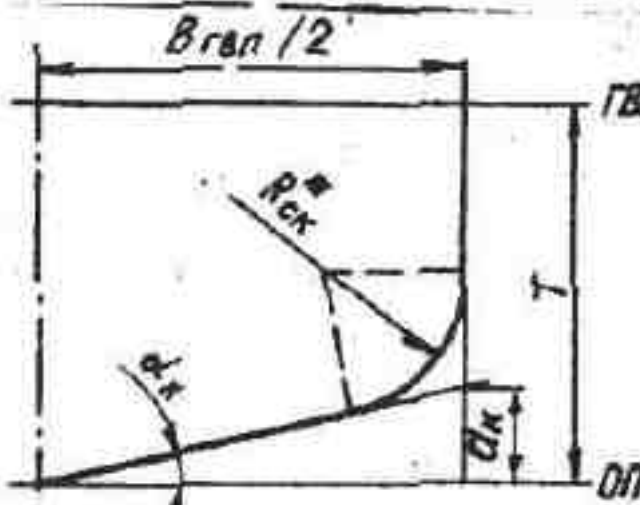


Рис. 3.25. Обвод мидель-шпангоута с килеватостью днища и без раз渲а бортов

Для мидель-шпангоута без раз渲а бортов и с килеватостью днища (рис. 3.25), используемого на некоторых транспортных и рыбопромысловых судах, судах вспомогательного флота и боевых кораблях, построение его обвода также заключается в определении радиуса скульи ($R_{ск}$), но в зависимости не только от β , но и от заданной килеватости (Δ_k).

Для определения R_{ek}^{∞} при незначительной килеватости можно воспользоваться формулой Л.М.Ноуда /1/

$$R_{ek}^{\infty} = \sqrt{\frac{2(1-\beta - \frac{1}{2}\frac{\alpha_k}{T})(1+\frac{\alpha_k}{B})}{4(1+\alpha_k^2/B^2) - \mathcal{K}(1+\alpha_k/B)}} \cdot BT$$

которая в упрощенном виде может быть записана

$$R_{ek}^{\infty} \approx \sqrt{\frac{1}{2} \frac{1-\beta - \frac{1}{2}\frac{\alpha_k}{T}}{0.215 - \frac{\alpha_k}{B}}} \cdot BT$$

При больших значениях относительной килеватости (α_k/B) для определения радиуса скулы необходимо пользоваться точной формулой, которая имеет вид

$$R_{ek}^{\infty} = \sqrt{\frac{1}{2} \frac{1-\beta - \frac{1}{2}\frac{\alpha_k}{T}}{K_R}} \cdot BT \quad (3.10)$$

где

$$K_R = \frac{1}{2} \left[\left(\cos^2 \frac{\alpha_k}{2} - \sin^2 \frac{\alpha_k}{2} \right) + \frac{\left(\cos \frac{\alpha_k}{2} - \sin \frac{\alpha_k}{2} \right)^3}{\left(\cos \frac{\alpha_k}{2} + \sin \frac{\alpha_k}{2} \right)} \right] - \frac{\mathcal{K}(90-\alpha_k)}{360}$$

$$\alpha_k = \arctg \frac{2\alpha_k}{B} \quad - \text{угол килеватости днища в градусах.}$$

3.3.3. Мидель-шпангоут без килеватости днища и с развалом борта

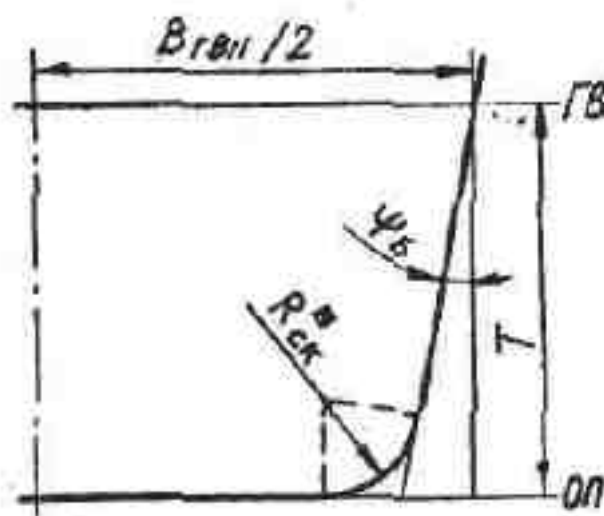


Рис. 3.26. Обвод мидель-шпангоута без килеватости днища и с развалом борта

Мидель-шпангоут без килеватости днища и с развалом борта (рис. 3.26) характерен для судов ледового плавания и служебно-спасательных судов. Развал борта задается, как правило, углом наклона (Ψ_b) в градусах. Для определения радиуса скулы (R_{ek}^{∞}) при заданных β и Ψ_b можно пользоваться формулой (3.10):

$$R_{ek}^{\infty} \approx \frac{1}{2} \sqrt{\frac{1-\beta - \frac{T \tan \Psi_b}{B}}{K_R}} \cdot BT$$

где

$$K_R = \frac{1}{2} \left[\left(\cos^2 \frac{\Psi_b}{2} - \sin \frac{\Psi_b}{2} \right) + \frac{\left(\cos \frac{\Psi_b}{2} - \sin \frac{\Psi_b}{2} \right)^3}{\left(\cos \frac{\Psi_b}{2} + \sin \frac{\Psi_b}{2} \right)} \right] - \frac{\pi (90 - \Psi_b)}{360}.$$

3.3.4. Мидель-шпангоут с килеватостью днища и развалом борта

Мидель-шпангоут с килеватостью днища и развалом борта (см. рис. 3.23) характерен для военных кораблей, служебно-вспомогательных судов и некоторых судов ледового плавания. Искомый радиус скулы (R_{sk}^*) при заданных значениях β , килеватости (α_k) и угла наклона борта (Ψ_b) можно определить по формуле

$$R_{sk}^* = \frac{1}{2} \sqrt{\frac{1 - \beta - \frac{\alpha_k}{2T} - \frac{(T - \alpha_k)^2 \operatorname{tg} \Psi_b [1 - \operatorname{tg} \Psi_b \operatorname{tg} \alpha_k]}{BT}}{K_R}},$$

где

$$K_R = \frac{1}{2} \left[\left(\cos \frac{\Psi_b + \alpha_k}{2} - \sin \frac{\Psi_b - \alpha_k}{2} \right) + \frac{\left(\cos \frac{\Psi_b + \alpha_k}{2} - \sin \frac{\Psi_b + \alpha_k}{2} \right)^3}{\left(\cos \frac{\Psi_b + \alpha_k}{2} + \sin \frac{\Psi_b + \alpha_k}{2} \right)} \right] - \frac{\pi (90 - \Psi_b - \alpha_k)}{360}.$$

В случае, если обвод мидель-шпангоута при заданном коэффициенте полноты (β) имеет более сложную по сравнению с рассмотренными форму, например с криволинейными или ломанными обводами (см. разд. 4), его построение следует проводить по приближенному способу И.А.Яковлева. После построения в первом приближении обвода мидель-шпангоута необходимо проверить коэффициент полноты β на соответствие заданному значению.

3.4. Построение сетки теоретического чертежа

Сетка теоретического чертежа вычерчивается в трех проекциях: бок, полуширота и корпус, она представляет собой комбинацию взаимно-перпендикулярных линий, являющихся проекциями плоскостей шпангоутов, ватерлиний и датчесов.

Требования к построению сетки теоретического чертежа изложены в /12/. Сетку целесообразно вычерчивать тушью или твердым карандашом тонкими линиями. Она должна быть вычерчена

тщательно, так как неточности, допущенные при ее построении могут сделать невозможным согласование ТЧ. При вычерчивании сетки необходимо использовать выверенные металлические линейки.

В зависимости от размеров судна теоретический чертеж выполняется в масштабах I : 25, I : 50, I : 100, I : 200; длина судна не должна превышать 1,75 - 2,00 м

— В отечественной практике длину сетки принимают равной расчетной длине судна между перпендикулярами (L), за которую берется расстояние между носовым и кормовым перпендикулярами. Первым перпендикуляром является линия, проходящая перпендикулярно к основной линии (ОЛ) через точку пересечения форштевня с ГВЛ, а вторым — либо ось баллера руля (что характерно для подавляющего большинства судов), либо перпендикуляр к ОЛ, сгстяющий $\leq 0,03 \cdot L_{\text{раб}}$ от точки пересечения ахтерштевня с ГВЛ (если длина кормового свеса значительна), либо перпендикуляр к ОЛ, проходящий через точку пересечения транца с ахтерштевнем (для некоторых судов с транцем и кормой).

Высота и ширина сетки определяются в зависимости от положения ватерлинии (ВЛ) — самой верхней ватерлинии сетки, построенной как можно ближе к расчетной грузовой ватерлинии. Строго говоря, высота сетки должна быть равна расчетной осадке судна по ГВЛ $T_{\text{раб}}(T)$ и ширина — расчетной ширине судна по ГВЛ $B_{\text{раб}}(B)$ при автогенерированном проектировании геометрического чертежа с помощью ГИ. При проектировании без ГИ для удобства построения сетки и повышения точности и "ислени" значение высоты сетки округают таким образом, чтобы делилось на требуемое количество ватерлиний (не считая нулевую ВЛ в основной плоскости) без остатка или с остатком при максимум двух знаках после запятой (рис. 3.27).

Гидростатические характеристики судна, соответствующие расчетной $T_{\text{ГР}}$, определяются позднее, по критериям теоретического чертежа, ввиду чего целесообразно доказать, что $T_{\text{ГМ}} > T_{\text{ГР}}$. Сетка, при необходимости,

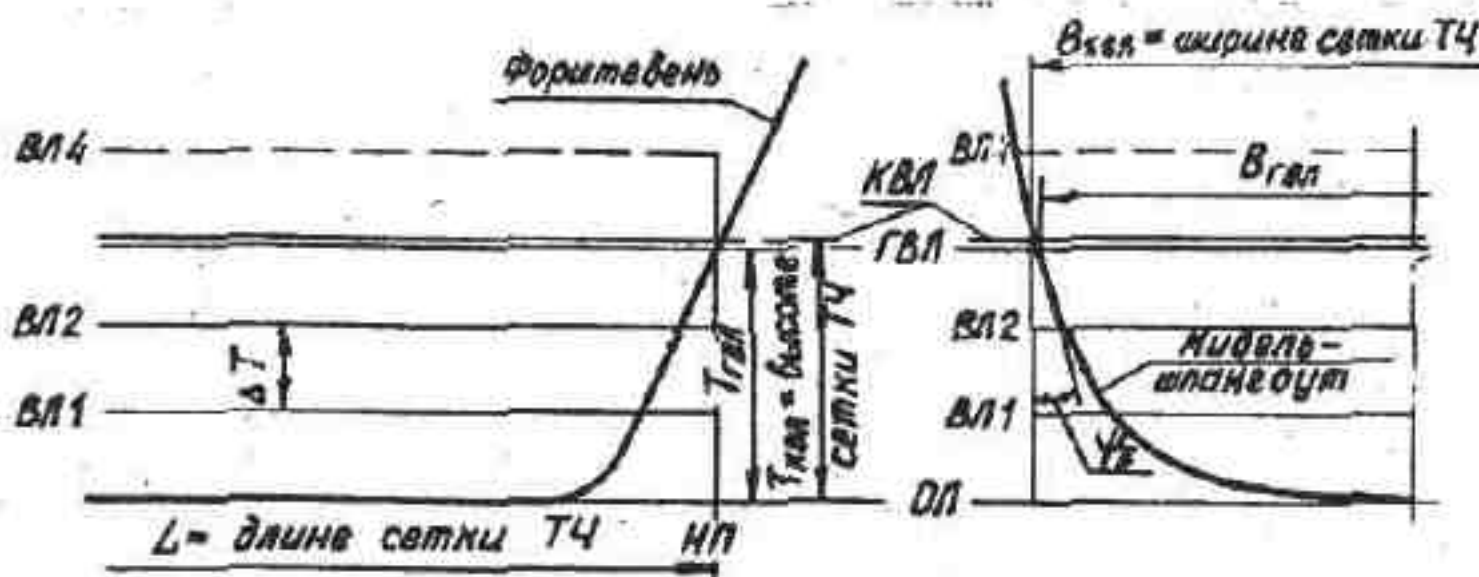


Рис. 3.27. Положение ког структурной и грузовой водерлиний судна в связи с выбором длины, ширины и высоты сетки теоретического чертежа

может быть продолжена выше КВЛ на один-два значения ΔT . Ширина сетки для судов с вертикальными бортами в любом случае будет равна расчетной ширине судна ($B_{\text{ГМ}}$), а для судов с наклонными или овальными бортами для ее определения необходимо знать угол наклона борта в районе ГЛ (см. рис. 3.27). Поэтому во втором случае производить вычерчивание сетки на проекции "корпус" целесообразно после построения обвода мидель-шпангоута.

Сетка теоретического чертежа обычно вычерчивается при количестве основных шпангоутов равном 1I (включая концевые шпангоуты-перпендикуляры), а чаще 2I шпангоуту. Допускается построение дополнительных шпангоутов, располагаемых на половине принятой шпации, как правило, в оконечностях как перед, так и за перпендикулярами.

Общее количество водерлиний может меняться в зависимости от сложности обводов корпуса от четырех до восьми, а

количество батоксов с каждого борта - от двух до четырех.

При выполнении всех проекций ТЧ на одном листе бок располагают в верхней левой части листа, под ним - полушироту или широту, а справа от проекции бок на одном уровне с ним - корпус. При наличии цилиндрической вставки с целью уменьшения длины чертежа проекцию корпуса можно расположать в средней части проекции бок.

3.5. Разработка диаметрального батокса

Разработка диаметрального батокса включает построение штевней, килевой линии, линий верхней палубы и основных надстроек (бака, юта и т.п.) в соответствии с заданным перед проектированием теоретическим чертежом архитектурно-конструктивным типом судна.

Тип форштевня (см. разд. 2) можно выбирать в зависимости от принятой формы носовых обводов, если нет каких-либо дополнительных условий, а тип ахтерштевня определяется выбранным в зависимости от формы кормовых обводов типом кормы, типом и расположением двигателей, а также рулевого устройства. Наибольшую сложность представляет проектирование формы ахтерштевня для одновальных судов с крейсерской и крейсерско-транспортной кормой.

При построении линии форштевня на проекции бок сетки теоретического чертежа необходимо помнить, что она должна проходить через точки пересечения носового перпендикуляра (линии нулевого теоретического шпангоута) и грузовой ватерлинией (см. рис. 3.27).

Для большинства судов килевая линия совпадает с основной линией теоретического чертежа, однако для судов, имеющих конструктивный дифферент, необходимо отдельное построение килевой линии в соответствии с выбранным углом дифферента.

Перед построением палубной линии диаметрального батокса необходимо решить вопрос о наличии погибых бимсов, так как расчётная высота борта (H) измеряется по бортовой линии палубы. В этой связи необходимо знать о существовании в современном судостроении тенденции отказа от погибых бимсов на всех палубах.

Кроме того, в соответствии с заданным архитектурно-конструктивным типом судна необходимо принять решение по седловатости верхней палубы и расположению основных палубных надстроек (бака, юта и т.д.), которые в теоретическом чертеже необходимо включать в состав корпуса как его естественное продолжение.

При разработке диаметрального батокса необходимо помнить, что он является важной частью силуэта судна, поэтому нужно следить за тем, чтобы все его элементы эстетически соответствовали друг другу по требованиям дизайна. Для примера можно вспомнить о роли линии фальшборта (которая должна присутствовать на теоретическом чертеже) в силуэте судна как связующей корпуса и надстроек с учетом выбранной формы штевней.

4. ПОСТРОЕНИЕ ТЕОРЕТИЧЕСКОГО ЧЕРТЕЖА МЕТОДОМ ХУДОЖЕСТВЕННОГО РИСОВАНИЯ

После выполнения всего объема подготовительных работ, т.е. построения строевой по шпангоутам, грузовой ватерлинии, мидель-шпангоута, сетки и диаметрального батокса можно переходить к непосредственной разработке теоретического чертежа любым существующим методом. Из существующих методов проектирования теоретического чертежа /1,2/ в качестве примера целесообразно рассмотреть метод художественного рисования, который является традиционным для проектантов и наиболее универсальным по отношению к рассмотренным формам корпуса.

Построение теоретического чертежа состоит из двух последовательных этапов – построения подводной и надводной частей корпуса. Метод художественного рисования подводной части корпуса заключается в построении каждого теоретического шпангоута, формировании на основе разработанной проекции "корпус" проекций "полуширота" и "бок" и в дальнейшем корректировке линий ТЧ при согласовании всех проекций между собой.

Для построения теоретических шлангоутов на практике используется несколько способов (рис. 4.1), наиболее распространенным из которых можно считать способ И.А.Яковлева /2,6/.

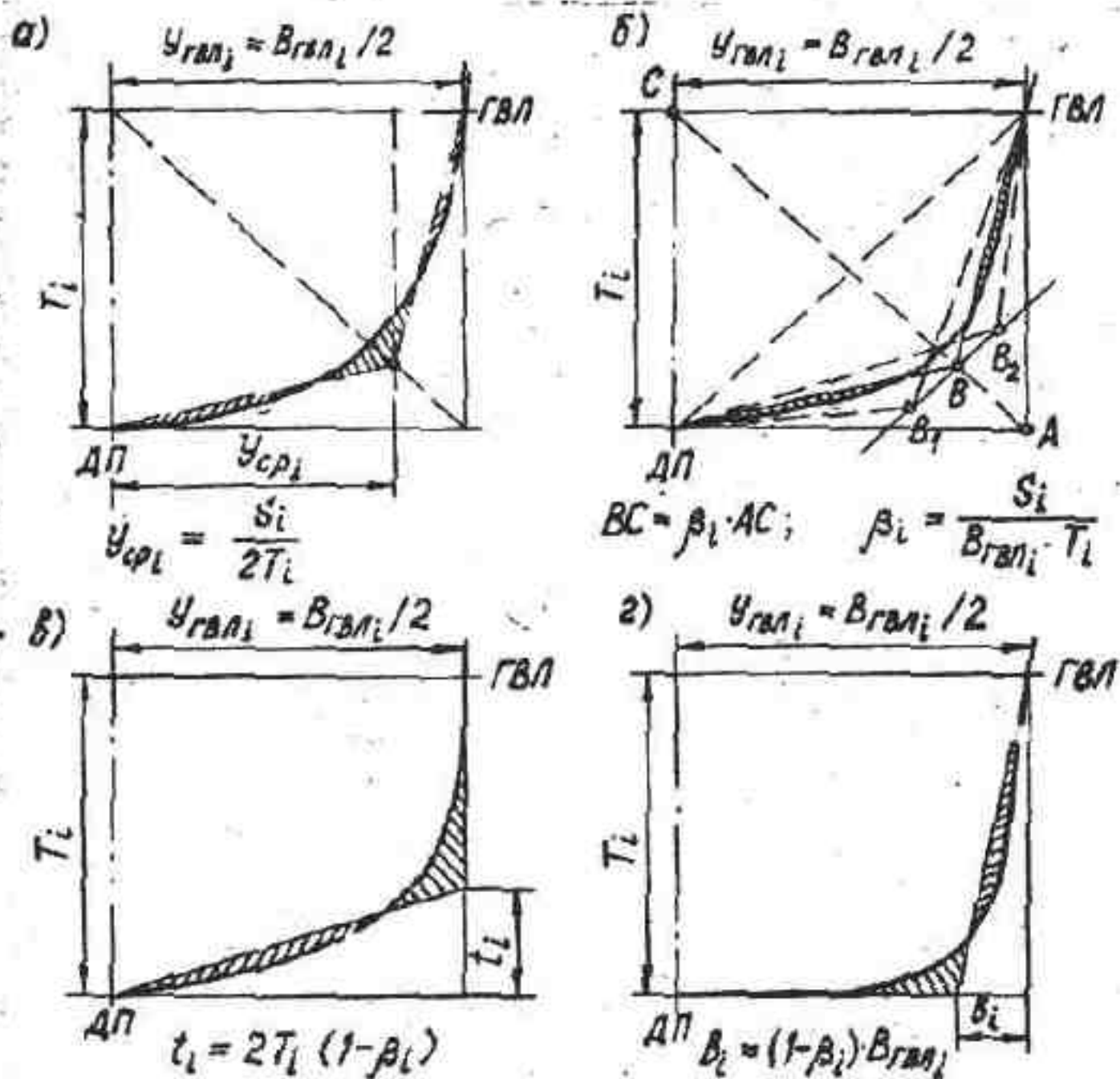


Рис. 4.1. Способы построения шлангоутов: а - И.А.Яковлева (средней ординаты); б - скользящей точки; в, г - трапеций

Однако независимо от выбранного способа для построения каждого шлангуса необходимо иметь набор следующих исходных данных:

- I) площадь шлангуса, определяемую по строевой по шлангоутам (S_i);

2) ширину шпангоута на ГВЛ, равную удвоенной ординате грузовой ватерлинии $\Delta_{ГВЛ} = 2\Delta_{ГВЛ}$;

3) осадку шпангоута T_1 , снимаемую на проекции бок по диаметральному батиксу.

Дополнительно, в случае использования прямолинейных бортовых и днищевых ветвей обвода шпангоута в сочетании со скругленiem его в районе скулы по окружности можно воспользоваться способами, изложенными при рассмотрении построения модель-шпангоута (см. разд. 3.3).

Построение теоретических шпангоутов в оконечностях необходимо произвести полностью в соответствии с заданными обводами корпуса. В частности, для носовых и кормовых шпангоутов при заостренных обводах построение шпангоута сводится к обеспечению его формы: U-, U-V-, V-образной (см. табл. I I, рис. 4.2).

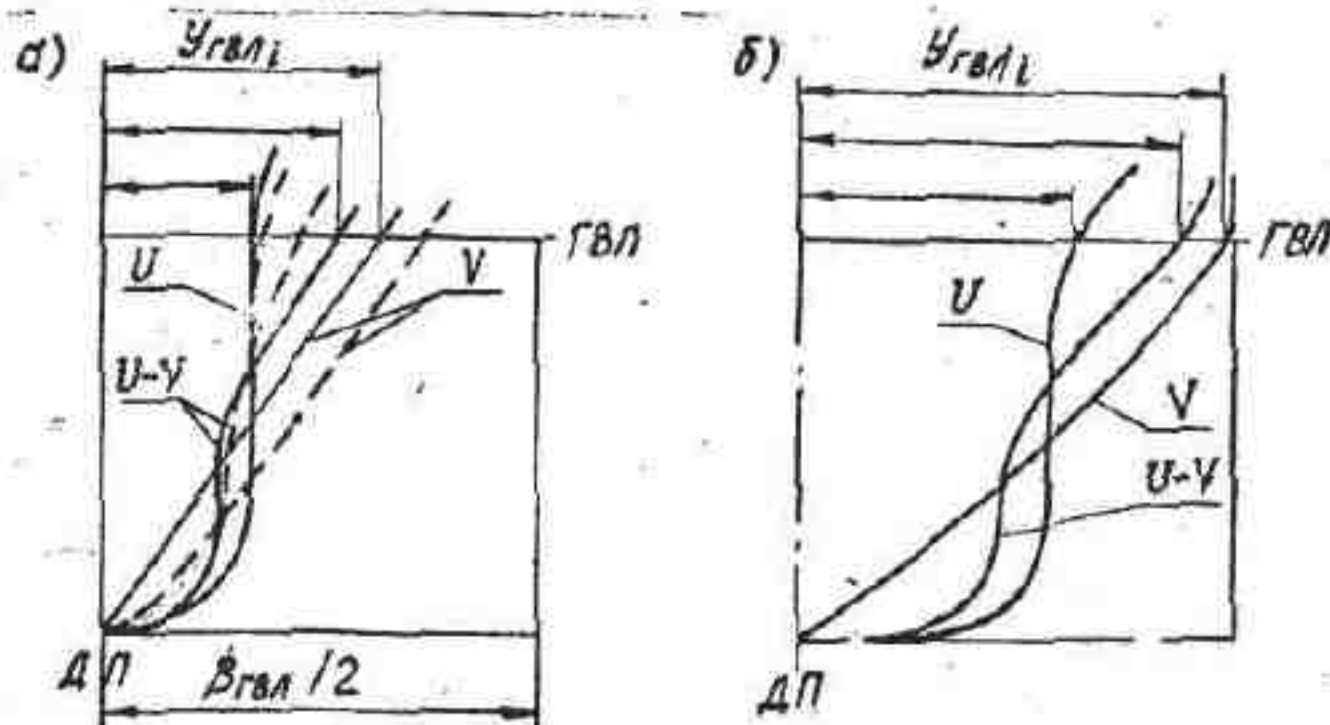


Рис. 4.2. Возможные формы шпангоутов: а - носовых;
б - кормовых

В целом кормовые шпангоуты для одновальных судов имеют более сложную форму, чем носовые, поэтому Ченгом и Хедлером /4/ разработан условный критерий, позволяющий классифицировать эти шпангоуты по форме. Этим критерием является параметр \bar{T} (рис. 4.3), представляющий собой тангенс угла, образованного касательной к 18-му шпангоуту и урогне оси требного энта.

если $\varphi < 0,10$, шлангоуты U - образной формы;
если $0,10 < \varphi < 0,40$, шлангоуты $U-V$ - образной формы, причем при $0,10 < \varphi < 0,30$ шлангоуты умеренно U -образной формы, а при $0,30 < \varphi < 0,40$ - умеренно V -образные;
если $\varphi > 0,40$, шлангоуты V - образной формы.

При построении U -образных носовых шлангоутов для цилиндрических обводов корпуса судов с отношением R_e/B , близким к 0,5, радиус скругления обводов в районе скулы (R_{ek}), как правило, увеличивается по мере приближения к носовому цренецикуляру с переходом к закруглению форштевня при радиусе $R_f = (0,4 \dots 0,5)T$ (рис. 4.4). Для ориентировочной оценки значений R_{ek} , необходимых для построения таких шлангоутов, можно воспользоваться графиком (рис. 4.5) /4/.

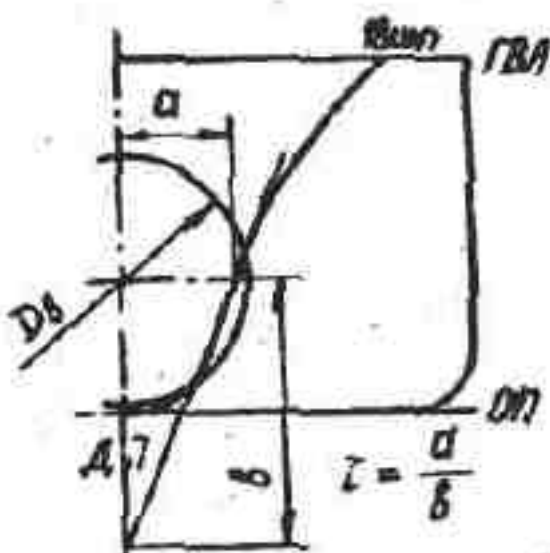


Рис. 4.3. Схема для определения параметра φ

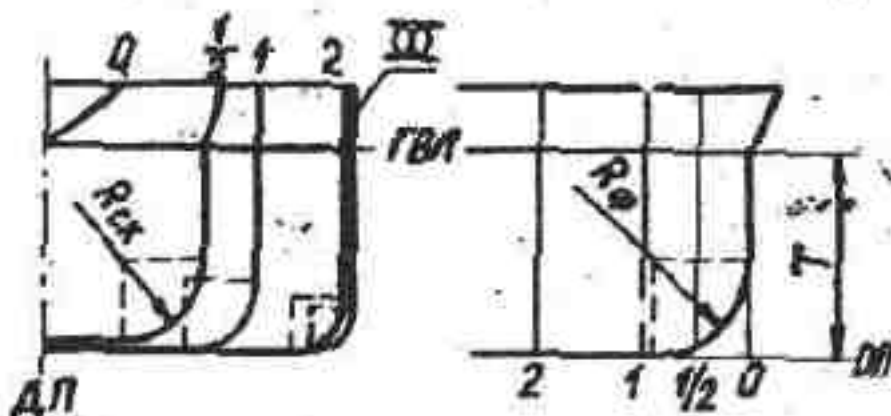


Рис. 4.4. Цилиндрические носовые обводы с увеличенным радиусом закругления форштевня

В некоторых случаях в ходе построения носовых шлангоутов при заданных значениях S_i , U_{max} , T_i линии форштевня может не обеспечиваться требуемая форма ветви шлангоута, что свидетельствует о противоречиях между заданной формой носовых

обводов и спроектированными строевой по шпангоутам, ГВЛ и линией форштевня. Такие несоответствия могут быть устранены первоначально за счет корректировки линии форштевня и ГВЛ, а затем и строевой по шпангоутам. В крайнем случае, некоторой корректировке может быть подвергнута и форма носовых шпангоутов.

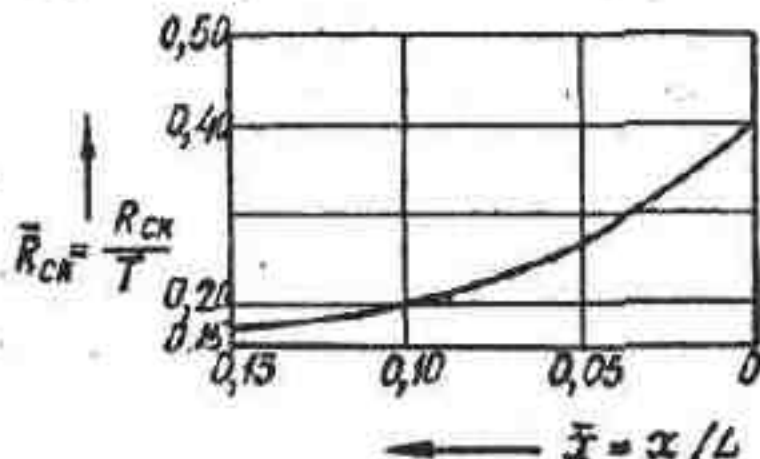


Рис. 4.5. Зависимость для определения радиуса скругления скулы (R_{ck}) по длине носовой части корпуса с цилиндрическими обводами

При построении носовых ватерлиний на основании полученных шпангоутов необходимо следить за тем, чтобы углы заострения их были не больше, чем у ГВЛ (если нет бульбовых образований).

При построении ватерлиний в кормовой оконечности необходимо учитывать требование безотрывности течения к кормовым обводам, т.е. пре-

дотвращение возможного отрыва пограничного слоя. Это требование частично выполняется при правильном определении длины кормового заострения и угла заострения кормовой ветви ГВЛ (см. разд. 3.1 и 3.2), однако для ватерлиний, расположенных ниже ГВЛ, оно имеет также важное значение.

По рекомендациям А.Ф.Пустошного и Б.С.Базилевского /4/ при засечных обводах кормы с U-, U-V- и V-образными шпангоутами (см. табл. I.2) для полного исключения отрыва потока углы наклона между касательными к ватерлиниям и диаметральной плоскостью должны быть не более 33° .

В целом при построении ватерлиний на проекции "полуширота" необходимо особое внимание уделять их плавности, что достигается полпеременной корректировкой линий и ватерлиний до тех пор, пока плавность всех ватерлиний не окажется достаточной.

При корректировке линий шпангоутов их площадь должна оставаться постоянной в соответствии со строевой по шпангоутам.

После построения шпангоутов к ватерлинии приступают к прорисовке батоксов на проекции "бок", с помощью которых производится согласование линий на всех трех проекциях. Для облегчения процесса согласования целесообразно строить отдельные батоксы от шпангоутов и ватерлиний. При этом по опыту проектирования теоретических чертежей корректировать при согласовании легче шпангоуты. В этом случае шпангоутный батокс подгоняется под батокс, построенный по ватерлинам, если последние удовлетворяют условиям плавности линий.

После окончательного геометрического согласования всех проекций ТЧ необходимо тщательная проверка площадей шпангоутов на проекции "корпус" на соответствие площади по строевой по шпангоутам, которую необходимо производить приближенным интегрированием по осям шпангоутов.

Построение теоретического чертежа подводной части корпуса желательно производить с учётом формы надводной части корпуса, при этом необходимо правильно выбрать угол приложения линий шпангоутов к ГВЛ на проекции "корпус" (рис. 4.6). В противном случае можно допустить лом линий шпангоутов по ГВЛ, но такое решение принимается редко, так как приводит к увеличению буксировочного сопротивления при качке судна. Поэтому, приступая к построению ТЧ надводной части корпуса с учётом заданной формы носовой и кормовой оконечностей, выбирают линии шпангоутов на границе с ГВЛ, которые обеспечивают форму надводной части корпуса в соответствии с требуемой площадью палуб, т.е. их линии в плане.

Как уже отмечалось ранее, при построении теоретического чертежа надводной части корпуса необходимо учитывать наличие основных надстроек (бака, юта, среднего острова), являющихся неотъемлемой частью корпуса судна как архитектурного объекта, а также имеющихся фальшбортов.

В заключение рассмотрим систему обозначений, принятую для чтения теоретического чертежа.

В отечественной практике шпангоуты нумеруются арабскими цифрами с носа в корму, т.е. нулевой шпангоут совпадает с носовым перпендикуляром, десятый (или пятый при II теоретических

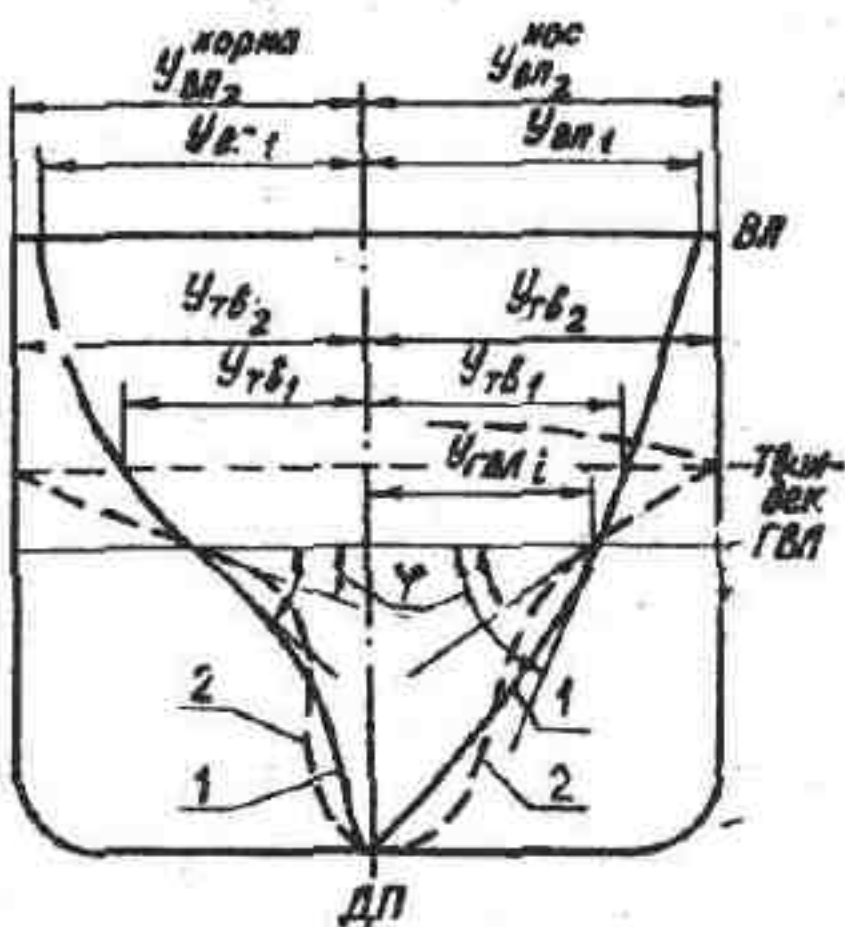


Рис. 4.6. Обводы шпангоутов одной и той же площади и ширины по ГВЛ, но предусматривающие различную форму надводной части корпуса: 1 - главная; 2 - со склонами.

ся ватерлиния, лежащая в основной плоскости. Ватерлинии нумеруются арабскими цифрами снизу вверх. Законченную ВЛ принимают за

Батоксы нумеруются римскими цифрами от ДЛ к борту (см. рис. 4.7, б, в).

На всех проекциях проставляются названия палубных линий и фальшборгов.

Базовые линии на всех проекциях обозначаются: ДЛ, ОЛ, ОШ.

На каком-либо теоретическом чертеже должна быть таблица главных размерений и элементов судна:

шпангоутах) соответствует модель-шпангоуту, а двадцатый совпадает с кормовым перпендикуляром.

Шпангоуты, расположенные в нос от носового перпендикуляра, обозначаются со знаком "минус".

Номера шпангоутов на проекции "бок" проставляются под ОЛ, на проекции "полуширота" - под линией ДГ, на проекции "корпус" - над каждым шпангоутом (рис. 4.7)

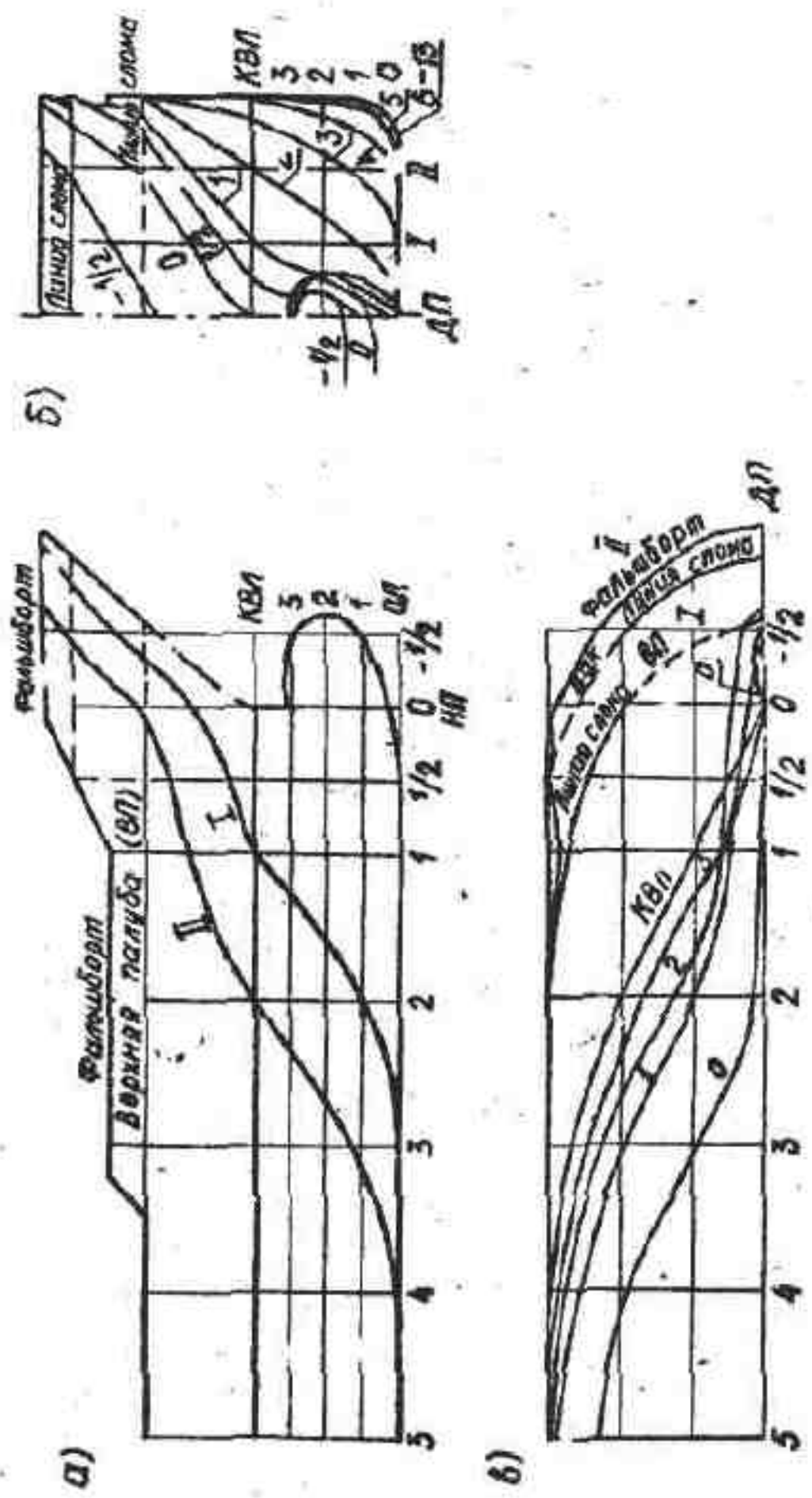


Рис. 4.7. Система осознанной теоретического чертежа:
а - проекция бок; б - проекции "корпус" (носовая часть);
в - проекции полушироты

Длина наибольшая L_{\max} , м;

Длина по КВЛ (ГВЛ) L_{KVL} , м;

Длина между перпендикулярами L_{pp} , м;

Ширина B , м;

Высота борта H , м;

Осадка по КВЛ (ГВЛ) T , м;

Водоизмещение объемное по КВЛ (ГВЛ) V , м³;

Абсцисса центра величины по КВЛ (ГВЛ) X_c , м;

Апликата центра величины по КВЛ (ГВЛ) Z_c , м;

Коэффициент общей полноты по КВЛ (ГВЛ) δ ;

Коэффициент полноты КВЛ (ГВЛ) α ;

Коэффициент полноты мидель-шпангоута по КВЛ (ГВЛ) β .

Таблица главных размерений и элементов судна размещается в правой части чертежа на свободном месте, обычно под проекцией "корпус" или над основной надписью чертежа.

БИБЛИОГРАФИЧЕСКИЙ СПИСОК ЛИТЕРАТУРЫ

1. Ногид Л.М. Проектирование формы судна и построение теоретического чертежа. - Л.: Судпромгиз, 1962.-236 с.

2. Ашик В.В. Проектирование судов. - Л.: Судостроение, 1985.-320 с.

3. Справочник по теории корабля: В 3 т. /Под ред Я.К. Борунского.- Т. I. - Л.: Судостроение, 1985.-768 с.

4. Турбал В.К., Шлаков В.С., Штумпф В.М. Проектирование обводов и движителей морских транспортных судов. - Л.: Судостроение, 1983.-304 с.

5. Бронников А.В., Букшев А.В., Челпанов И.В. Материалы к построению теоретического чертежа, проверочным расчетам и разработке общего положения судна: Учеб.пособие. - Л., ЛКИ - 1980.-30 с

6. Разработка теоретического чертежа в курсовом и дипломном проектировании: Метод.указания/ Сост.: Л.Б.Винокур, В.Г.Бугаев.- Владивосток: ДВНИИ, 1979.-28 с.

7. Ногид Л.М. Проектирование морских судов. - Л.: Судостроение, 1976.-208 с.

8. Александров М.Н. Судовые устройства. - Л.: Судостроение, 1982.-318 с.

Reed A.M., Nowacki Horst. Interactive creation of fair ship lines // Journal of Ship Research : - 1974. - V. 18. - N2. - P. 96-112.

10. Лаптев В.А. Основы проектирования морских торговых судов: В 2 ч. Ч. 2 Форма корпуса судна и составление теоретического чертежа. - Л.: Госуд. транспортное изд-во, 1933.

11. ГОСТ 1062-80. Размерения надводных кораблей и судов главные. Термины, определения и буквенные обозначения.

12. ГОСТ 2.419 - 68. Правила выполнения документации при плазовом методе производства.

ПРИЛОЖЕНИЕ

ВЫБОР КОЭФФИЦИЕНТОВ ПОЛНОТЫ И АБСИССЫ ЦЕНТРА ВЕЛИЧИНЫ КОРПУСА СУДНА

Существует множество рекомендаций по выбору основных коэффициентов полноты корпуса δ , α и β и абсциссы центра величины X_c для различных типов надводных судов. Во избежание грубых ошибок в их определении при обязательном соблюдении соответствия используемой формулы назначению (типу) судна и диапазону аргумента необходимо знать общие пределы возможного изменения этих характеристик.

На рис. П.1 представлены пределы изменения коэффициента общей полноты δ в зависимости от числа Фруда $Fr = \frac{U}{V_0 L}$ для судов с вертикальными бортами (без развала) и без килевагости днища. Выбранное значение коэффициента общей полноты δ должно находиться в заштрихованной зоне.

Штриховые линии на рисунке показывают на экстремальные отклонения δ , встречающиеся на практике, но значения коэффициента общей полноты, находящиеся между заштрихованной зоной и штриховыми линиями, не должны выбираться без специального обоснования, которое может быть вызвано особенностями формы корпуса проектируемого судна или специальными требованиями, предъявляемыми к судну.

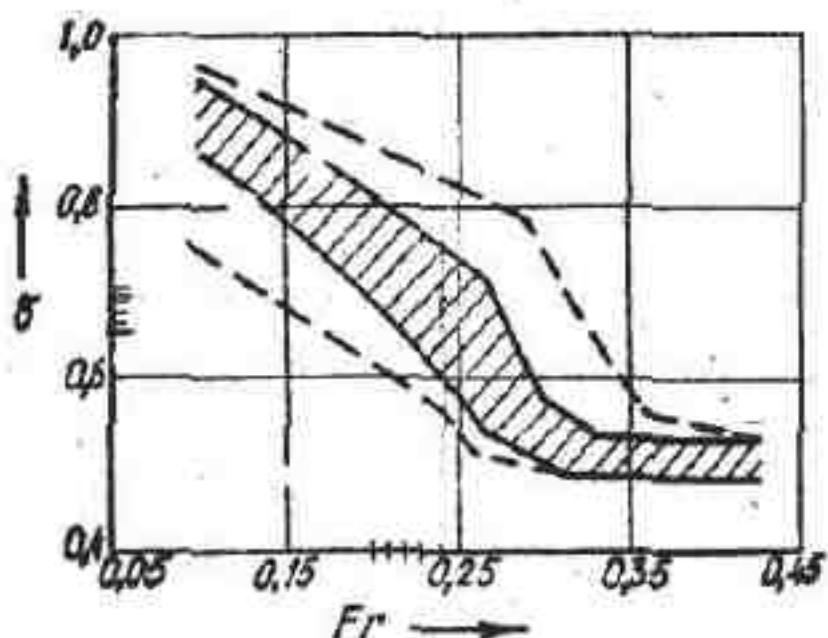


Рис. П.1. Пределы изменения коэффициента общей полноты δ

выбор коэффициента полноты мидель-шпангоута в этом случае должен быть основан с позиций глобального критерия оптимизации, так как снижение β может привести к изменению конфигурации тримов в нижней части и, как следствие этого, значительному недействованию кубатуры грузовых помещений ниже ГВЛ.

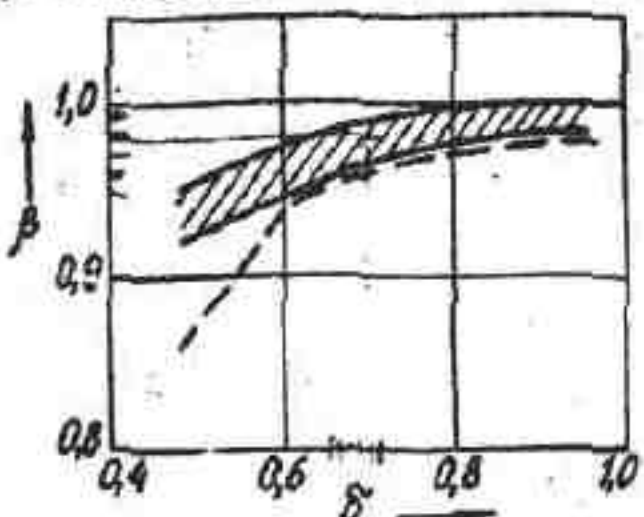


Рис. П.2. Пределы изменения коэффициента полноты мидель-шпангоута β

Как известно, коэффициент полноты грузовой ватерлинии (α) наиболее точно определяется в функции от коэффициента продольной полноты $U = \delta / \beta$ (рис. П.3). Заштрихованная зона соответствует коэффициентам полноты ГВЛ для обычных зон с обеих сторон ватерлиний (см. рис. I.2, в). При этом значения α , соответствующие U - образным носовым шпангоутам, должны находиться в нижней половине заштрихованной зоны, а значения α , соответствующие V - образным шпангоутам или цилиндрическим носовым обводам с закругленной носовой ветвью ГВЛ ($U > 0.76$). - в верхней половине этой

На рис. П.2 заштрихованной зоной представлены пределы изменения коэффициента полноты мидель-шпангоута (β) в зависимости от δ . (для судов без развода бортов и килеватости днища).

Нижняя граница экстремальных значений β показана штриховой линией. При $\delta = 0.48 - 0.60$ она соответствует оптимальным по ходкости значениям β , однако

известно, что коэффициент полноты грузовой ватерлинии (α) наиболее точно определяется в функции от коэффициента продольной полноты $U = \delta / \beta$ (рис. П.3). Заштрихованная зона соответствует коэффициентам полноты ГВЛ для обычных зон с обеих сторон ватерлиний (см. рис. I.2, в). При этом значения α , соответствующие U - образным носовым шпангоутам, должны находиться в нижней половине заштрихованной зоны, а значения α , соответствующие V - образным шпангоутам или цилиндрическим носовым обводам с закругленной носовой ветвью ГВЛ ($U > 0.76$). - в верхней половине этой

Как известно, коэффициент полноты грузовой ватерлинии (α) наиболее точно определяется в функции от коэффициента продольной полноты $U = \delta / \beta$ (рис. П.3). Заштрихованная зона соответствует коэффициентам полноты ГВЛ для обычных зон с обеих сторон ватерлиний (см. рис. I.2, в). При этом значения α , соответствующие U - образным носовым шпангоутам, должны находиться в нижней половине заштрихованной зоны, а значения α , соответствующие V - образным шпангоутам или цилиндрическим носовым обводам с закругленной носовой ветвью ГВЛ ($U > 0.76$). - в верхней половине этой

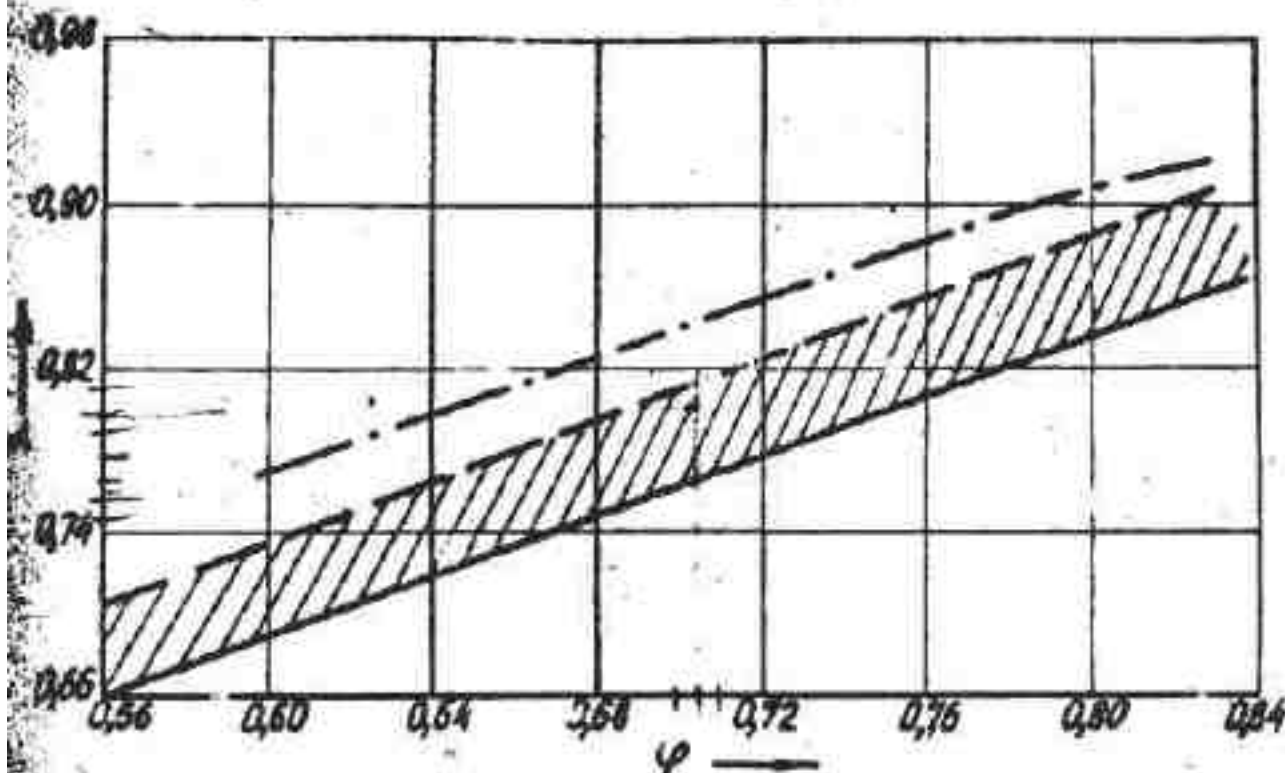


Рис. П.3. Пределы изменения коэффициента полноты грузовой ватерлинии α : — заостренная с обеих сторон ГВЛ с U -образными носовыми шпангоутами; - - - заостренная с обеих сторон ГВЛ с V -образными носовыми шпангоутами или при цилиндрических носовых обводах; - - - клинообразная ГВЛ

Использование кормы транцевого типа ведет к значительному увеличению коэффициента полноты (α), который зависит от относительной ширины ГВЛ на уровне кормового перпендикуляра V_{kpr}/V (см. рис. 3.4), или ширины транца V_{trp}/V . В качестве примера на рис. П.3 штрих-пунктирной линией показана зависимость $\alpha = f(\Psi)$ при $V_{trp} = V$. При $V_{trp} < V$ значения α будут занимать промежуточное положение между этой линией и заштрихованной зоной.

Коэффициенты полноты ГВЛ корпусов с транцевой кормой или цилиндрическими носовыми обводами можно непосредственно получить путем перестроения градиционной, заостренной с обеих сторон ватерлинии, коэффициент α для которой определяется обычным порядком по формулам или графикам. Для пересстроения ГВЛ с транцевой кормой необходимо знать значения V_{trp} или V_{kpr} , которые определяются конструктивными особенностями корпуса судна в районе кормовой части ГВЛ (например, наличием устройств или вооружений); или значение ширины ГВЛ на уровне диска гребного винта, которое определяется соотношением диаметра гребного винта к седжу (см. рис. 3.22). Кроме того, значения V_{trp} и

Все могут быть получены непроизвольно при построении кормовой ветви ГВЛ (см. рис. П.21).

Для перестройки ГВЛ корпусов с цилиндрическими носовыми обводами необходимо знать относительную длину носового заострения L_{nz}^{B4} , минимальное значение которой при круговых обводах (см. табл. 1.1) (L_{nz}^{B4})_{min} = 0,5 B (рис. П.4).

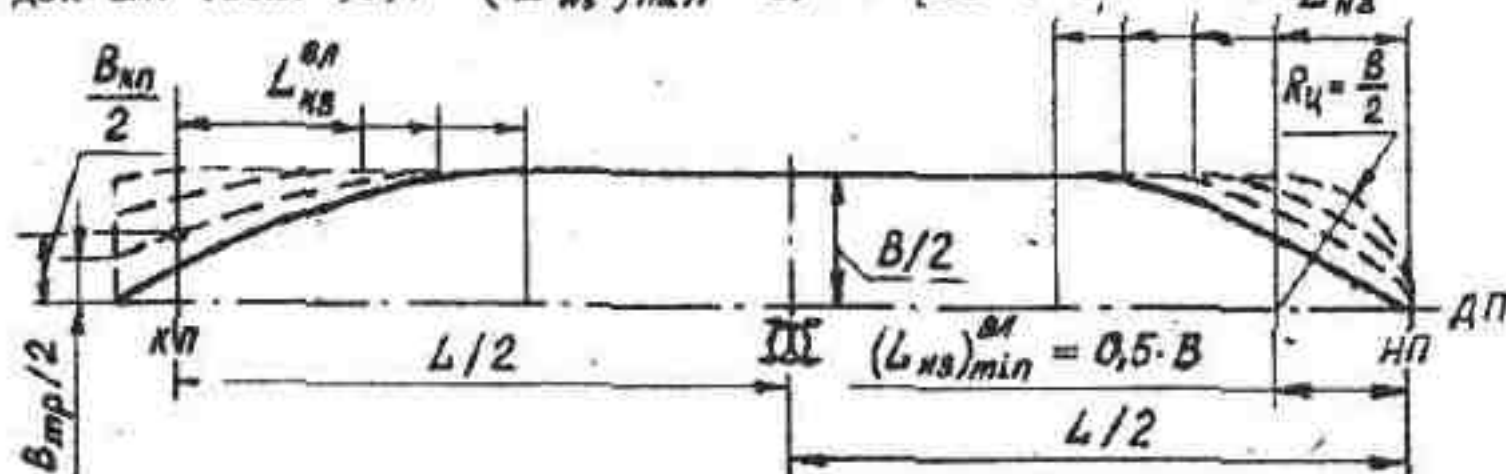


Рис. П.4. Перестройка обычной заостренной грузовой ватерлинии

При цилиндрических обводах L_{nz}^{B4} будет совпадать с длиной носового заострения (L_{nz}) корпуса, значение которой определяется в зависимости от числа Fr или коэффициента общей полноты (см. рис. 3.1). Для построения круговых цилиндрических обводов при известном значении $L_{nz} = L_{nz}^{B4}$ в первом приближении можно пользоваться упрощенным приемом, основанным

на пропорциональном изменении радиуса цилиндрического скругления (R_4) от L_{nz}/L . Как это показано на рис. П.5 и П.6. Максимальное значение $(L_{nz}/L)_{max} = 0,265$

было получено по графику Линдблада (см. рис. 3.1) для минимального значения коэффициента общей полноты $\delta_{min} = 0,75$, при превышении которого уже целесообразно применение цилиндрических носовых обводов (при $L/B < 6.0$).

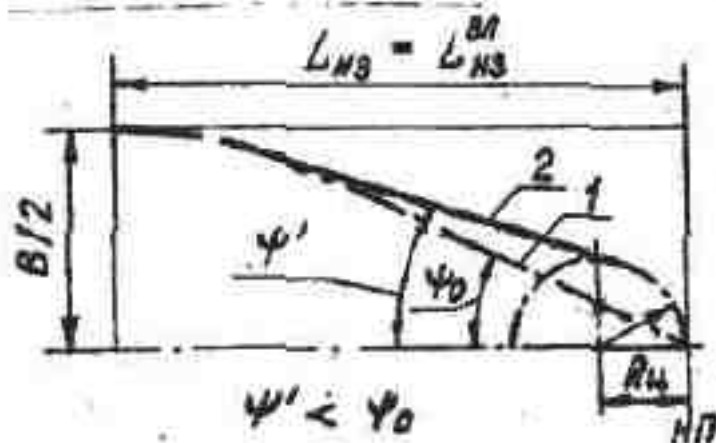


Рис. П.5. Схема построения ГВЛ с носовыми цилиндрическими обводами круговой формы: 1 - заостренная ватерлиния; 2 - касательная к окружности с радиусом R_4 и заостренной ватерлинией

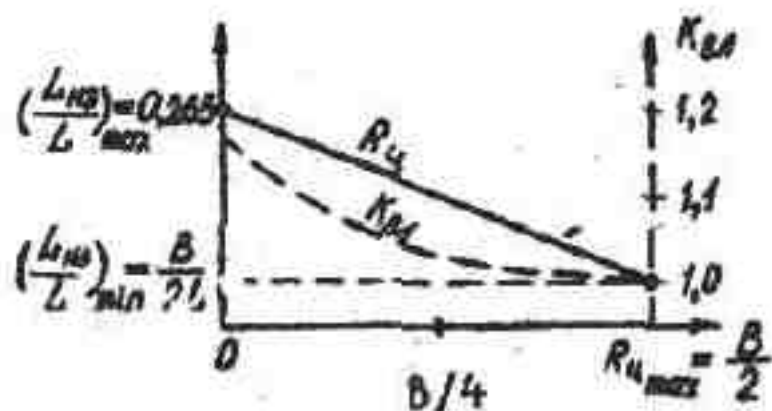


Рис. П.6. График для определения радиуса окружности (R_u) и коэффициента K_u :

$$R_u = f(L_{u3}/L; B)$$

$$K_u = f(R_u)$$

На рис. П.7 представлены пределы изменения относительной ассиссы центра величины (x_c / L) в зависимости от коэффициента общей полноты (δ) для судов без развода бортов и килеватости днища. Заштрихованная зона, ограниченная сплошными линиями, соответствует обычным заострениям в оконечностях обводам корпуса, с правой верхней стороны этой зоны при $\delta > 0,75$ построена штрих-пунктирная линия для корпусов с цилиндрическими носовыми обводами при заостренной корме, имеющих наибольшие положительные значения \bar{x}_c при $L_{u3}^{\text{sa}}/B = 0,5$.

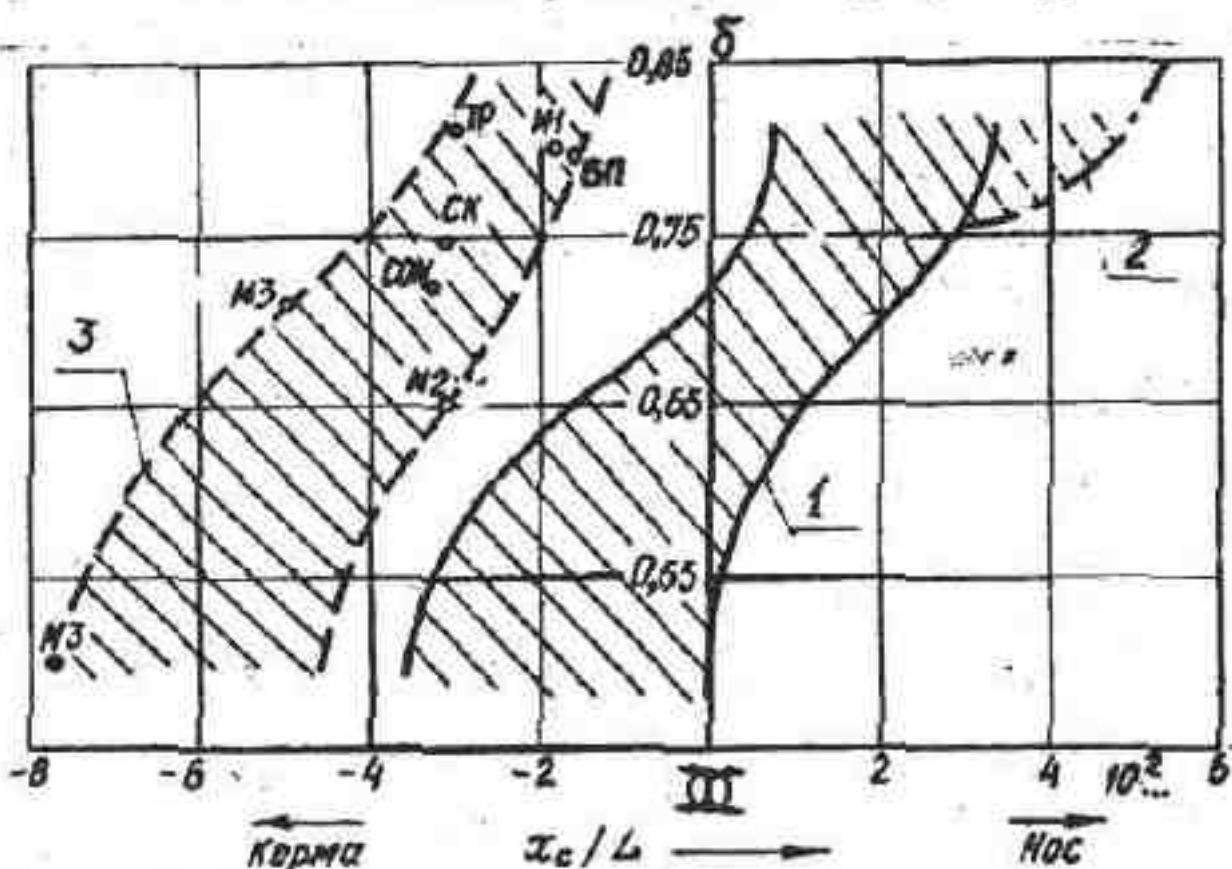


Рис. П.7. Пределы изменения относительной ассиссы центра величины x_c / L : 1 - для заостренных носовых и кормовых обводов; 2 - для цилиндрических носовых и заостренных кормовых обводов (при $\delta > 0,75$); 3 - для заостренных носовых и санеобразных кормовых обводов при $B_{u3} = B$

Заштрихованная зона, ограниченная тремя линиями.

соответствует заостренным носовым и сандеробразным кормовым обводам корпуса при относительной ширине транца $B_{tr}/B = 1$ (или близкой к единице). Такие обводы, особенно при V-образных носовых шпангоутах, приводят к значительному смещению центра величины в коршу.

В случае использования на судах развода бортов или килеватости днища (см. рис. 3.23), что приводит к непосредственному уменьшению коэффициента полноты мидель-шпангоута (β), определение коэффициентов формы корпуса необходимо начинать с коэффициента продольной полноты (Ψ), который, как известно, наиболее точно отражает зависимость волнового сопротивления от полноты корпуса судна. При $\beta=1,0$, определение коэффициентов формы принято начинать с коэффициента общей полноты, что методически считается более удобным, так как позволяет при $\beta \approx 1$ достаточно точно определять буксировочное сопротивление судна.

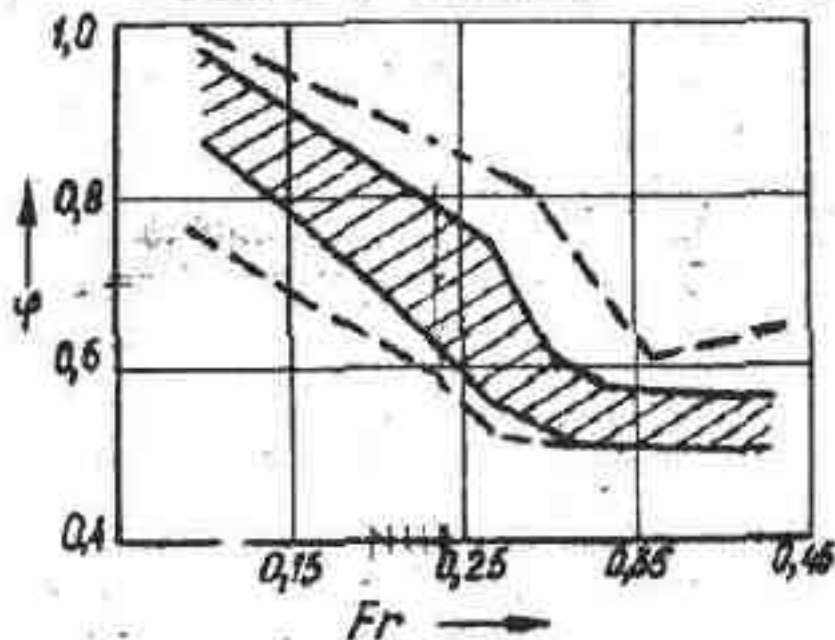


Рис. П.8. Пределы изменения коэффициента продольной полноты Ψ

формы поперечного сечения корпуса определяется заданными углами наклона борта и килеватости, или конфигурацией поперечного сечения корпуса. При этом радиус окуль можно принимать таким же, как для поперечного сечения без развода бортов и килеватости днища, определение β для которого, в свою очередь, необходимо производить по зависимости вида $\beta = f(\Psi) / 7$.

На рис. П.8 показаны пределы изменения коэффициента продольной полноты (Ψ) в зависимости от Fr , аналогичные показанные на рис. П.1. Положение центра величины по длине судна в зависимости от Ψ можно определять по графику (рис. П.9).

Коэффициент полноты мидель-шпангоута (β) при изменении

$\beta =$

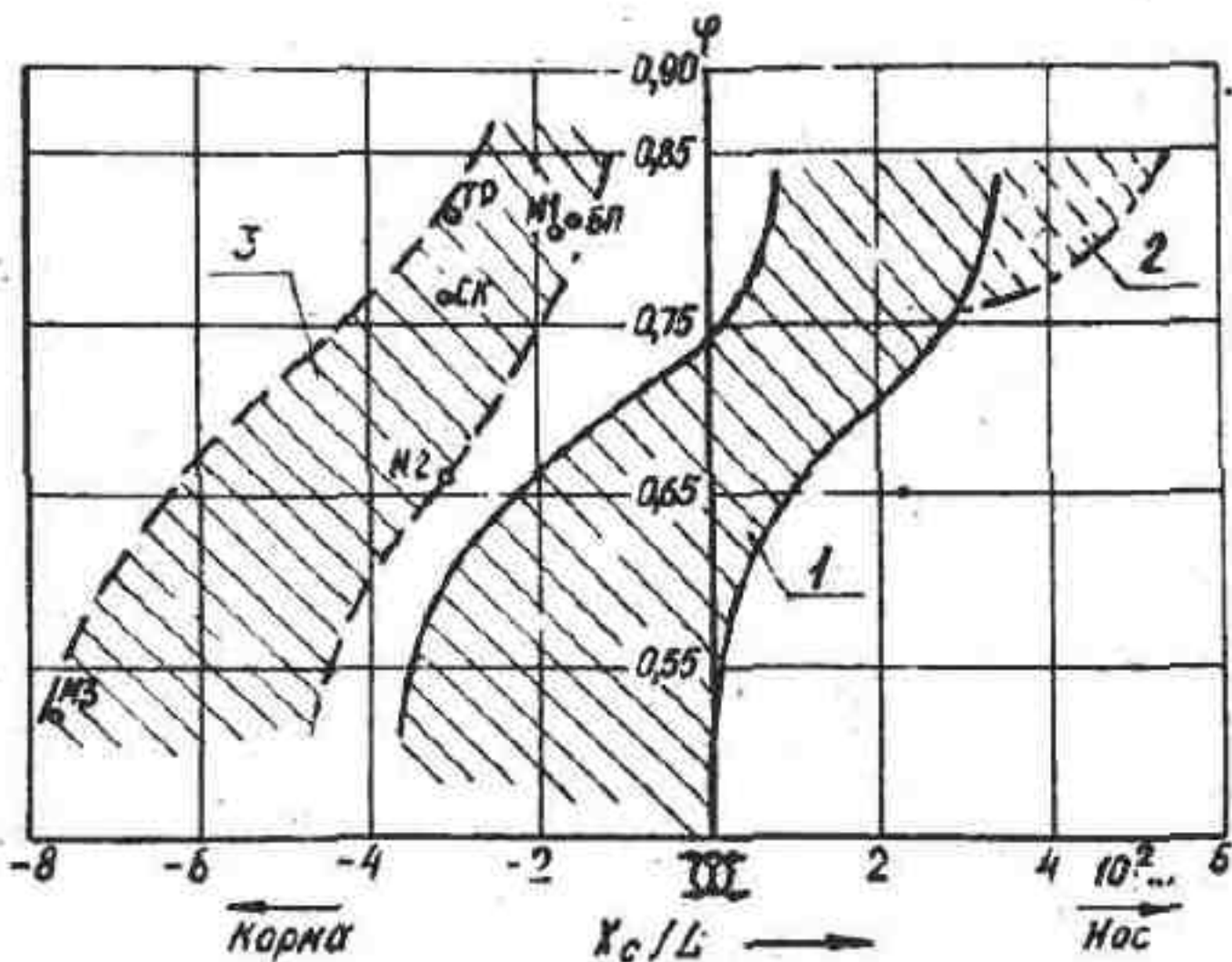


Рис. П.9. Пределы изменения относительной абсциссы центра величины X_c/L в зависимости от Ψ : 1 - для заостренных носовых и кормовых обводов; 2 - для цилиндрических носовых и заостренных кормовых обводов (при $\Psi > 0,75$); 3 - для заостренных носовых и санеобразных кормовых обводов при $B_{max} = B$

Приведенные зависимости пределов изменения коэффициентов формы корпуса и его относительно "абсциссы центра величины удобно использовать в оптимизационных расчетах для определения приемлемых диапазонов изменения данных параметров.

СОДЕРЖАНИЕ

<u>ВВЕДЕНИЕ</u>	3
1. ГИИНЦИАЛЬНЫЕ ФОРМЫ ОБВОДОВ КОРПУСА СУДНА	5
2. ВЫБОР ФОРМЫ ОКОНЕЧНОСТЕЙ И ШТЕВНЕЙ	12
3. ПОДГОТОВИТЕЛЬНЫЕ РАБОТЫ ДЛЯ ПОСТРОЕНИЯ ТЕОРЕТИЧЕСКОГО ЧЕРТЕЖА	29
3.1. Разработка строевой по шпангоутам	30
3.2. Разработка грузовой ватерлинии	52
3.2.1. Заостренная с обеих сторон ГВЛ с цилиндрическим носом	58
3.2.2. Усеченная с кормы ГВЛ	60
3.2.3. Клинообразная ГВЛ при $B_{ka} = B$	62
3.3. Построение обвода мидель-шпангоута	63
3.3.1. Мидель-шпангоут без раз渲ала борта и килеватости днища	64
3.3.2. Мидель-шпангоут без раз渲ала борта и с кильватостью днища A_k	64
3.3.3. Мидель-шпангоут без кильватости днища и с раз渲алом борта	65
3.4. Построение сетки теоретического чертежа .	67
3.5. Разработка диаметрального батокса	69
4. ПОСТРОЕНИЕ ТЕОРЕТИЧЕСКОГО ЧЕРТЕЖА МЕТОДОМ ХУДОЖЕСТВЕННОГО РИСОВАНИЯ	70
<u>БИБЛИОГРАФИЧЕСКИЙ СПИСОК ЛИТЕРАТУРЫ</u>	78
<u>ПРИЛОЖЕНИЕ. Выбор коэффициентов полноты и абсциссы центра величины корпуса судна</u>	79

Николай Александрович Кильник

ПРОЕКТИРОВАНИЕ ТЕОРЕТИЧЕСКОГО ЧЕРТЕЖА
КОРПУСА СУДНА

Учебное пособие

Научный редактор С В Кошкин, канд. техн. наук, доц.

Редактор Г.Н Горьковая

Подписано в печать 28.12.92

Формат 60x84 Бумага писчая. Печать офсетная.

Усл. печ.л 5,11. Уч.-изд.л. 4,5 Тираж 200. Заказ 8957.

Цена 26 р

Комсомольский-на-Амуре политехнический институт
681013, Комсомольск-на-Амуре, пр. Ленина, 27

Полиграфическая лаборатория
Комсомольского-на-Амуре политехнического института.
681013, Комсомольск-на-Амуре, пр. Ленина, 27.